N° d'ordre : 1369



THESE

présentée à

L'UNIVERSITE DES SCIENCES ET TECHNIQUES DE LILLE FLANDRES ARTOIS

pour obtenir

Le grade de Docteur de 3ème cycle

en MECANIQUE

par

GUISSO Atchèlé

SUR LES OSCILLATIONS PERIODIQUES DES PLAQUES EXCITEES PAR DES EXCITATIONS CONTINUES ET PERCUSSIONS. ETUDE DE DEUX CAS DISTINCTS.

Membres du Jury : Messieurs les Professeurs F. PARSY, Président,

P.A. BOIS, Examinateur,

factes agrès avis du jury

R. FAURE, Rapporteur.

Soutenue le 11 Décembre 1986

Je tiens à témoigner toute ma gratitude à Monsieur le Professeur PARSY qui me fait l'honneur d'accepter la présidence du jury de cette thèse.

Je tiens à exprimer à Monsieur le Professeur FAURE ma profonde reconnaissance pour avoir été l'instigateur de ce travail, et m'avoir permis de le mener à bien par ses précieux conseils et nombreuses suggestions.

Je remercie très vivement Monsieur le Professeur BOIS qui s'est intéressé à mon travail en y apportant des critiques constructives.

Que soit également remerciée Madame Françoise PÉTIAUX qui avec gentillesse, compétence et efficacité a assuré dans les délais rapides la réalisation matérielle de ce mémoire.

Que Mademoiselle Becket IMBOUA, Monsieur N'DRIN IMBOUA, Monsieur et Madame OPELY trouvent ici ma reconnaissance; leurs nombreux encouragements ont été d'une aide inappréciable.

Je remercie les originaires et habitants du village de TIPADIPA, les nombreux amis et connaissances qui m'ont apporté un soutien constant.

Je tiens enfin à remercier mes parents qui par leur patience, leur compréhension, ont eu une part non négligeable dans l'élaboration de cette thèse.



A mes parents.

A mon fils, Armel-Franck GUISSO.

" Si une forêt surgit pour yous empêcher d'avancer, écartez les arbres. Les ronces vous suivront".

Eugène IONESCO.

TABLE DES MATIERES

INTRODUCTION	VI
NOTATIONS	XIII
FLEXION DES PLAQUES RECTANGULAIRES - EQUATIONS DE VON KARMAN (CHAPITRE 1)	1
I - FLEXION DES PLAQUES SOUS L'ACTION D'UNE CHARGE REPARTIE LATERALEMENT	2
I.1 Flexion simple	2
I.2 Flexion forte	5
II - FLEXION D'UNE PLAQUE SOUS L'ACTION DE CHARGE DANS SON PLAN	15
EQUATIONS TEMPORELLES DU MOUVEMENT TRANSVERSAL (CHAPITRE 2)	17
I - FORMULATION DU PROBLEME	18
I.1 Géométrie du modèle	18
I.2 Equations de base	20
1.3 Conditions aux limites	20
II - METHODE DE RESOLUTION	21
II.1 Expression de F et W	21
II.2 Choix des fonctions d'approximation	22
11.3 Equation temporelle du mouvement	26
EXISTENCE DE SOLUTION DES EQUATIONS TEMPORELLES DU MOUVEMENT	
(CHAPITRE 3)	38
I - POSITION DU PROBLEME	39
II - EXISTENCE D'UNE SOLUTION	40

II.1 Préliminaires	40	
II.1.1 Structure et propriétés de l'espace $B(T)$	40	
II.1.2 Mesure de Dirac - Distributions	44	
II.1.3 Equations de synchronisation	44	
II.2 Théorème	47	
II.2.1 Suite récurrentes $(\mathcal{U}_1, n) \in \mathcal{B}_1(T)$	4 8	
et $(\mathcal{U}_{2,n}) \in \mathcal{B}_{2}(7)$	48	
11.2.2 Majoration de $ \mathcal{U}_{s,n} $ et $ \mathcal{M}_{z,n} $	51	
11.2.3 Convergence des suites (\mathcal{U}_1, n) et (\mathcal{U}_2, n)		
dans $B_{\gamma}(T)$ et $B_{\zeta}(T)$ respectivement	62	
TUDE DE LA STABILITE DYNAMIQUE (CHAPITRE 4)	76	
I - INTRODUCTION	77	
II - ETUDE DE LA STABILITE	77	
II.1 Etude de l'équation: $ x'' + \lambda c x' + \left[w^2 + \lambda (\mathcal{P}(t) + \varepsilon w^2 - 2a_2 y_2 - \cdots - ra_r y_r^{r-1}) \right] x $	=0	.7
II.1.1 Théorie de Floquet	78	
II.1.2 Applications	84	
II.2 Etude de l'équation complète :		
$\alpha'' + \rho(t)\alpha' + q(t)\alpha = \lambda \alpha e(t)$ avec		
$p(t) = \lambda c$		
$q(t) = \omega^2 + \lambda \left(\varepsilon \omega^2 - 2\alpha_2 \gamma_e - \cdots - r\alpha_r \gamma_e^{r-1} + \varphi(t) \right)$	87	
LIAISONS SPATIALES INSTANTANEES AVEC SYNCHRONISATION ENTRE DEUX		
OSCILLATEURS (CHAPITRE 5)	109	
T _ EADWINATION ON PROBLEME	110	

II - EXISTENCE DES SOLUTIONS PERIODIQUES DU SYSTEME (5-1), (5-2)	
(5-3)	112
II.1 Préliminaires	112
II.2 Equations de synchronisation	113
II.3 Preuve du Théorème I	120
III - APPLICATIONS - ETUDE DE LA STABILITE	130-144
ANNEXE	
A) - ORTHOGONALITE DES FAMILLES (X_m) , (Y_n) , $(lackbreak_q)$, (Y_q)	152
B) - EXPRESSIONS DES K_{ζ} ET L_{ζ}	156
RIRITACOADUTE	150

INTRODUCTION

Ce travail s'inscrit dans le cadre des études consacrées à la Mécanique non linéaire dont les applications sont répandues dans les domaines physiques et techniques : problèmes des structures sous l'action des forces périodiques [8, 9, 10] ou non périodiques [5, 6, 7]; vibration des structures mécaniques : problème de stabilité associé [1, 6, 8, 9, 10], etc...

Il concerne plus précisément la résolution de quelques équations différentielles régissant le mouvement des plaques rectangulaires et des oscillateurs voisins. Les plaques sont simplement posées et excitées longitudinalement par des percussions périodiques :

$$f(t) = e(t) + f(t)$$

$$e(t) = T \underset{n=-\infty}{\overset{+\infty}{=}} S(t-nT)$$

$$f(t) = \underset{n=-\infty}{\overset{+\infty}{=}} x_p \cos(p\omega t + t)$$

 $\omega T = 2\pi$, ω est la pulsation excitatrice;

Ces percussions sont uniformément réparties le long des quatre arêtes.

Le système d'équations différentielles régissant les mouvements de deux oscillateurs voisins est de la forme :

$$\chi_1'' + \omega^2 \chi_1 = \lambda \left[\mathcal{E}_1 \chi_1 + P_1(\chi_1, \chi_1', t) + Ke(t) \right]$$

$$\chi_2'' + \omega^2 \chi_2 = \lambda \left[\mathcal{E}_2 \chi_2 + P_2(\chi_2, \chi_2', t) - Ke(t) \right]$$

avec une condition de coïncidence instantanée :

$$\chi_1(e) = \chi_2(e)$$

et où K est une inconnue;

$$Q(t) = \sum_{i,n} X_i S(t - t_i - nT) \text{ avec}$$

Les \mathcal{H}_1 on \mathcal{H}_2 of \mathcal{H}_3 of \mathcal{H}_4 of \mathcal{H}_4 on \mathcal{H}_4 of \mathcal{H}_4 on \mathcal{H}_4 of \mathcal{H}_4 of

Ce mémoire est d'une part, une extension des problèmes étudiés par OSTIGUY [8, 9] et E. M'HAMEDE [10] et d'autre part, une extension d'un problème étudié par R. FAURE [20]. En effet OSTIGUY et E. M'HAMEDE ont étudié respectivement la stabilité dynamique des plaques excitées paramétriquement par des forces de la forme :

$$M(t) = Ny_0 + Ny_t (\cos \theta(t)); \text{ la fréquence excitatrice étant}$$

$$T = \frac{d\theta'(t)}{dt}, [8, 9]; \text{ et}$$

$$N(t) = Ny_0 + Ny_t \theta(t)$$
où
$$\theta(t) = T \stackrel{+\infty}{=} \delta(t - nT)$$

(1) T = 277 ; (1) est la

pulsation excitatrice [10]; ces forces étant distribuées uniformément le long de <u>deux arêtes opposées</u> dans les deux cas.

R. FAURE a étudié dans le cadre des théories des percussions, le système d'équation différentielles régissant les mouvements de deux oscillateurs en liaison par chocs [20]. Le système est de la forme :

$$\chi_1'' + cv^2 \chi_1 = \lambda \left[\mathcal{E}_1 \chi_1 + \mathcal{F}_1(\chi_1, \chi_1) + \chi_2'' + \mathcal{E}(t-m) \right]$$

$$\chi_2'' + \omega^2 \chi_2 = \lambda \left[\mathcal{E}_2 \chi_2 + \mathcal{F}_2(\chi_2, \chi_2') - \chi_2'' + \mathcal{E}(t-m) \right]$$

avec la condition de coïncidence

et

$$P_{i}(o,o) = \frac{\partial P_{i}}{\partial x_{i}}(o,o) = \frac{\partial P_{i}}{\partial x_{i}'}(o,o) = 0 \quad \lambda = 1,2.$$

On peut séparer l'étude de la mécanique non linéaire en gros en deux branches :

<u>Méthodes analytiques</u> : recherche de l'existence des solutions particulières. Etude de la stabilité.

Méthodes qualitatives et quantitatives des solutions :

- (i) Méthodes topologiques : la réduction du problème à l'étude des points fixes d'un opérateur dans un espace de fonctions périodiques.
 - (ii) Résolution à l'aide des méthodes numériques.

Cet exposé n'a pas pour but d'énoncer une méthode de résolution universelle mais plutôt d'utiliser et contribuer au développement des applications
de celles déjà existantes. Il est scindé en cinq chapitres. Le développement
de certains chapitres est précédé d'une introduction qui les situe dans l'ensemble de l'exposé et en précise la portée.

Le Chapitre 1 est consacré à la théorie approchée des plaques. Le lecteur y trouvera un résumé des chapitres concernant la flexion forte des plaques traitées par : G. DUVAUT et J.L. LIONS [1]; LANDAU L. et LIFSCHITZ E. [4]; TIMOSHENKO S. et GERE J. [6] et les rappels des équations de Von Karman.

Le Chapitre 2 illustre une application de la méthode de Galerkin [8, 9, 10] pour établir l'équation différentielle vérifiée par le déplacement transversal de la plaque soumise à des percussions longitudinales.

Le Chapitre 3 traite d'un point de vue mathématique le problème d'existence de la solution périodique de l'équation différentielle généralisée :

$$y'' + \lambda c y' + co^2 (1 + \lambda \varepsilon) y = \lambda [y f(t) + \varphi(y)]$$

 $\mathcal{G}(y) = \mathcal{A}_2 y^2 + \cdots + \mathcal{C}_r y^r, \quad \text{entier naturel quelconque};$ $\mathcal{J}(t) = T = S(t - n_{\overline{t}}) + \sum_{n=-\infty}^{+\infty} \mathcal{X}_p(e_n(p\omega t + T))$

avec

οù

La solution de cette équation différentielle a été cherchée dans l'espace :

$$B(T) = \left\{ \chi(t) = \frac{+\infty}{m = -\infty} \chi_n e^{in\omega t}, \ \overline{\chi}_n = \chi_n e^{t} \right\}$$

$$\|\chi(t)\| = \frac{+\infty}{m = -\infty} |\chi_n| < \infty$$

des séries périodiques absolument convergentes. La méthode exposée est inspirée d'un travail de R. FAURE [19].

Nous étudions dans le chapitre 4 la stabilité d'une solution particulière régie par la flèche de la plaque. Pour cette étude nous utilisons la THEORIE DE FLOQUET.

Dans le Chapitre 5, nous étudions le système d'équations différentielles régissant les vibrations de deux oscillateurs voisins en liaison par chocs :

$$\chi_{1}'' + \omega^{2}\chi_{1} = \lambda \left[\mathcal{E}_{1}\chi_{1} + \mathcal{P}_{1}(\chi_{1}, \chi_{1}', t) + Ke(t) \right]$$

$$\chi_{1}'' + \omega^{2}\chi_{2} = \lambda \left[\mathcal{E}_{2}\chi_{2} + \mathcal{P}_{2}(\chi_{2}, \chi_{2}', t) - Ke(t) \right]$$

avec la condition de coîncidence instantanée $\mathcal{X}_1(0) - \mathcal{X}_2(0)$ et où K amplitude des percussions, est une inconnue

les \mathcal{F} sont des fonctions de période \mathcal{T} :

οù

• P est un polynome.

 $\mathcal{G}(t)$ est une fonction de \mathcal{L} , de période \mathcal{T} .

Nous déterminons K en deux étapes : $K - K_0 + K'$ en nous inspirant d'un travail de FAURE [20]:

- la première étape consiste à trouver K, valeur principale de K à l'aide des équations de synchronisation du système considéré.
- la deuxième étape concernant K' utilise une méthode d'approximation à partir de la solution du système et de K_o .

L'existence de la solution périodique a été démontré en utilisant des résultats obtenus par R. FAURE dans le cadre de l'étude des équations différentielles [15, 16, 17, 18, 19, 20].

Dans la dernière partie de ce chapitre, le problème de la synchronisation est étudié en détail dans le cas des équations de la forme :

$$\dot{W}_{1} + cv^{2}W_{1} = \lambda \left[Ke(t) - 2c\dot{W}_{1} - \delta_{1}\dot{W}_{1}^{3} - \varepsilon_{1}cc^{2}\dot{W}_{1}\right]$$

$$\dot{W}_{2} + cv^{2}\dot{W}_{2} = \lambda \left[-Ke(t) - 2c\dot{W}_{2} - \delta_{2}\dot{W}_{1}^{3} - \varepsilon_{2}cc^{2}\dot{W}_{2}\right]$$

$$\dot{W}_{1}(0) = \dot{W}_{2}(0)$$

ainsi que le problème de la stabilité au voisinage d'un point de synchronisation.

Dans l'ANNEXE, nous démontrons l'orthogonalité des fonctions propres intervenant dans la représentation du déplacement vertical $\mathcal{W}(\mathcal{H},\,y\,,\,\mathcal{E})$ de la plaque et de la fonction d'Airy $\mathcal{F}(\mathcal{H},\,y\,,\,\mathcal{E})$ dans le Chapitre 2.

DEFINITIONS

NOTATIONS

1): rigidité de la plaque à la flexion.

E: module de Young.

F: fonction d'Airy (fonction de contrainte).

h : épaisseur de la plaque.

 \mathcal{N}_{y} , \mathcal{N}_{y} ; moments fléchissants et de torsion par unité de distance.

 $\mathcal{N}_{\mathcal{X}}$, $\mathcal{N}_{\mathcal{Y}}^{''}$: tensions du plan moyen de la plaque suivant \mathcal{X} , \mathcal{Y} .

 \mathcal{X} , \mathcal{X} : efforts tranchants par unité de longueur suivant \mathcal{X} , \mathcal{Y} . \mathcal{X} : déplacements de la plaque suivant \mathcal{X} , \mathcal{Y} .

W: déplacement normal.

x, 4, 3 : coordonnées cartésiennes.

 \mathcal{E}_{x} , \mathcal{E}_{y} : allongements unitaires suivant χ , y.

 \mathcal{U} : coefficient de Poisson.

🦰 : densité volumique de la plaque.

 $\mathcal{O}_{\mathcal{F}}$, $\mathcal{O}_{\mathcal{G}}$: contraintes selon les directions \mathcal{X} , \mathcal{G} .

7, 73 : cisaillements selon \mathcal{X}_{3} , \mathcal{Y}_{3} . coefficient de viscosité (ou coefficient d'amortissement).

 $\mathcal{C}_{m{arrho}m{q}}$: coefficient de viscosité associé à un mode particulier ($m{
ho}$, $m{q}$) de vibration.

 $N_{\chi}(t)$, $N_{4}(t)$: charges dans le plan de la plaque par unité de distance :

$$N_{x}(t) = N_{x_{0}} + N_{x_{t}} \cdot f(t)$$

Ne, Nye : charges statiques par unité de distance dans le plan de la

: amplitudes des percussions (ou des charges harmoniques) par unité de distance.

T: période d'excitation.

A: demi-largeur (ou largeur) de la plaque.

 $oldsymbol{b}$: demi-longueur (ou longueur) de la plaque.

 $\mathcal{G}(h)$: rapport de forme de la plaque.

CHAPITRE I

FLEXION DES PLAQUES RECTANGULAIRES EQUATIONS DE VON KARMAN

I.- FLEXION DES PLAQUES SOUS L'ACTION D'UNE CHARGE REPARTIE LATERALEMENT

Considérons le cas de la flexion d'une plaque par une charge répartie, agissant perpendiculairement à son plan médian; on suppose ce plan horizontal et contenant les axes des $\mathcal X$ et des $\mathcal Y$, l'axe de $\mathcal X$ étant perpendiculaire à ce plan et dirigé de haut en bas. Soit $\mathcal Y$ l'intensité de la charge que l'on considère comme une fonction de $\mathcal X$ et de $\mathcal Y$.

Dans l'étude de la flexion de cette plaque, il faut distinguer deux cas :

I.1) Flexion simple

Les tensions sont faibles par rapport aux tensions critiques et l'on peut négliger l'effet qu'elles produisent sur la flexion de la plaque et admettre que les tensions totale s'obtiennent avec une approximation suffisante en superposant les tensions dues à la déformation du plan moyen, et celles produites par la charge.

En découpant un élément de la plaque par deux paires de plans parallèles aux $\mathcal{H}_{\mathcal{J}}$ et $\mathcal{H}_{\mathcal{J}}$ (Fig. 1), on déduit qu'en raison de l'action de la charge $\mathcal{H}_{\mathcal{J}}$ il se produira sur les faces latérales de cet élément, des moments de flexion et de torsion et des efforts tranchants verticaux représentés sur la figure 1 et dont les valeurs par unité de longueur seront définies par les formules (1.1a) et (1.1b) suivantes :

Désignons par \mathcal{N}_{χ} et \mathcal{N}_{y} les moments fléchissants et par \mathcal{N}_{xy} et $\mathcal{N}_{y\chi}$ les moments de torsion; on a :

$$M_{x} = \int_{-R_{2}}^{R_{2}} \int_{$$

Soient $\mathcal{G}_{\mathbf{x}}$ et $\mathcal{G}_{\mathbf{y}}$ les efforts tranchants verticaux, on a :

$$\mathcal{Q}_{\chi} = \int_{\chi_{\delta}}^{h_{2}} \mathcal{T}_{\chi_{\delta}} e d \beta \qquad ; \mathcal{Q}_{y} = \int_{\chi_{\delta}}^{h_{2}} \mathcal{T}_{y_{\delta}} e d \beta \qquad (1-15)$$

On peut négliger la variation de Tx3 et Ty3 le long des petites distances dy et dx et supposer que les efforts tranchants résultant qu'ely et qy. Ax passent par les centres de gravité des faces de l'élément.

NOTATIONS

h : épaisseur de la plaque

 \mathcal{G}_{\varkappa} , \mathcal{G}_{y} : contraintes selon les directions \varkappa , y .

 \mathcal{T}_{x_3} , \mathcal{T}_{y_3} : cisaillements selon x_3 , y_3 .

Les efforts tranchants (1.1b), les moments fléchissants et les moments de torsions (1.1a) sont tous fonctions de coordonnées $\mathcal X$ et $\mathcal Y$. Par suite, en employant les notations $\mathcal Q_{\mathcal R}$, $\mathcal I_{\mathcal R}$ et $\mathcal I_{\mathcal R}$ pour la f**or**ce gauche de l'élément de la figure $\mathcal I$ les quantités correspondantes pour la face droite distante de la face gauche de la quantité $\mathcal I_{\mathcal R}$, seront :

$$G_{x} + \frac{\partial G_{x}}{\partial x} dx$$
, $H_{x} + \frac{\partial H_{x}}{\partial x} dx$, $H_{xy} + \frac{\partial H_{xy}}{\partial x} dx$

comme le montre la figure. On fait de même pour les autres faces (faces parallèles au plan \varkappa 3).

Si l'on considère les conditions d'équilibre de l'élément de la figure (1), on remarque qu'il est soumis à des forces qui sont parallèles à l'axe des 3 et que les couples sont représentés par des vecteurs perpendiculaires à l'axe de 3.

En tenant donc compte des directions des forces, leurs projections sur l'axe des 3 nous donnent :

$$\frac{\partial q_x}{\partial x}$$
 the chy + $\frac{\partial q_y}{\partial y}$ thy the + q the chy = 0

ou, après simplification,

$$\frac{\partial G_2}{\partial x} + \frac{\partial G_3}{\partial y} + 9 = 0 \tag{1-2}$$

Le poids de la plaque elle-même peut être considéré comme compris dans la valeur de ${\cal G}$.

En prenant les moments de toutes les forces agissant sur l'élément par rapport à l'axe des $\mathcal X$ et, en observant des directions indiquées sur la figure, on obtient l'équation :

$$\frac{\partial M_{xy}}{\partial x}$$
 oh $dy - \frac{\partial M_y}{\partial y}$ $dy dx + Gy dx ely = 0$

Le moment de la charge \mathcal{G} et le moment dû à la variation de la charge \mathcal{G} peuvent être négligés dans cette équation, comme infiniment petits d'ordre supérieur à celui des quantités conservées dans l'équation. Après simplification, cette équation devient :

$$\frac{\partial \mathcal{H}_{xy}}{\partial x} - \frac{\partial \mathcal{H}_{y}}{\partial y} + \mathcal{G}_{y} = 0 \tag{1-3}$$

De même, en prenant les moments par rapport à l'axe des , on trouve :

$$\frac{\partial \mathcal{H}_{yx}}{\partial y} + \frac{\partial \mathcal{M}_{x}}{\partial x} - \mathcal{Q}_{x} = 0 \tag{1-4}$$

Si l'on tire les valeurs de $\mathcal{G}_{\mathbf{z}}$ et de $\mathcal{G}_{\mathbf{y}}$ des équations (1-4) et (1-3) et qu'on les porte dans l'équation (1-2), on obtient l'équation suivante :

$$\frac{\partial^2 M_x}{\partial x^2} + \frac{\partial^2 M_y x}{\partial x \partial y} + \frac{\partial^2 M_y}{\partial y^2} - \frac{\partial^2 M_{xy}}{\partial x \partial y} = -9$$

Si l'on remarque que $M_{yx} = -M_{xy}$, parce que $T_{xy} = T_{yx}$ on arrive finalement à l'équation de l'équilibre :

$$\frac{\partial^2 M_x}{\partial x^2} - 2 \frac{\partial^2 M_{xy}}{\partial x \partial y} + \frac{\partial^2 M_y}{\partial y^2} = -9$$
 (1-5)

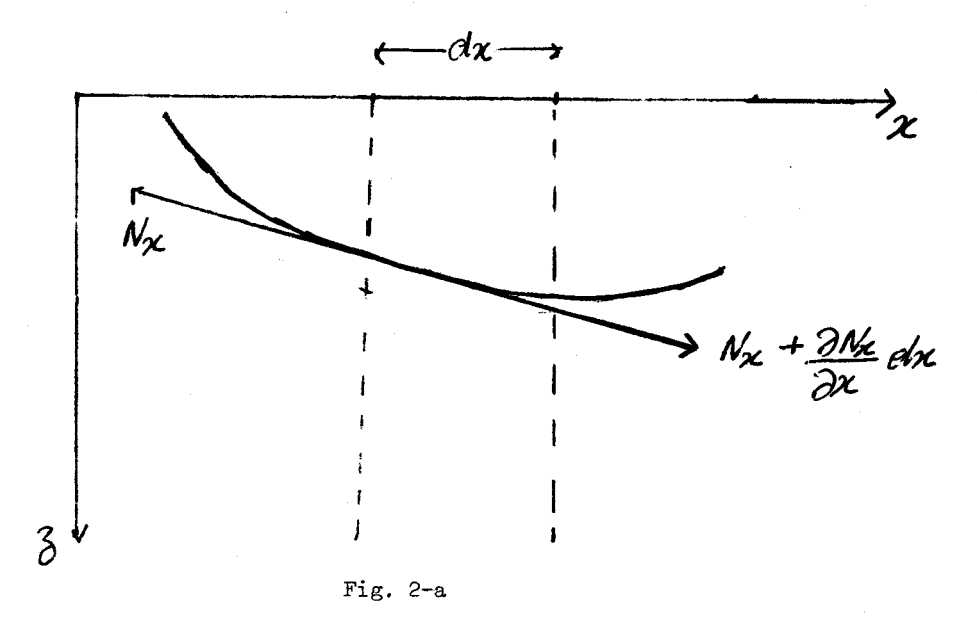
1.2) Flexion forte

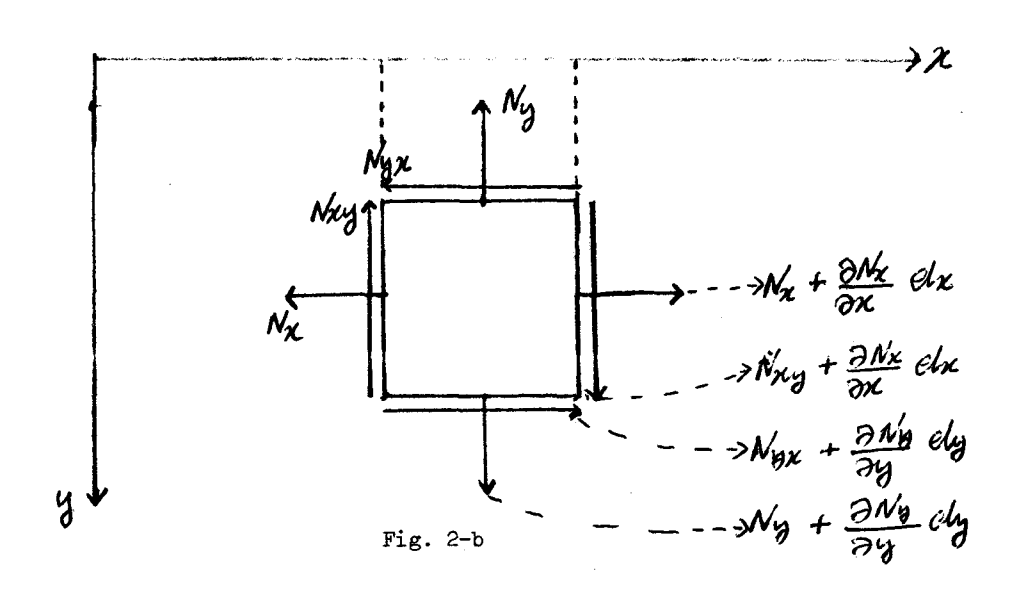
Les tensions qui prennent naissance dans le plan moyen ne sont pas négligeables et leur effet sur la flexion de la plaque intervient dans le calcul. Pour établir les équations différentielles de la surface élastique dans ce cas, on considère, de nouveau, l'équilibre d'un petit élément découpé dans la plaque par deux paires de plans parallèles aux \mathcal{X} et \mathcal{Y} . Aux forces déjà considérées précédemment (Fig. 1), il faut ajouter celles qui agissent sur le plan moyen de la plaque et dont les notations par unité de longueur sont indiquées sur la Figure 2. En projetant ces forces sur les axes des et et en supposant qu'il n'y a pas de forces de volume s'exerçant dans ces directions, on obtient les équations suivantes, pour les conditions d'équilibre,

$$\frac{\partial N_{x}}{\partial x} + \frac{\partial N_{yx}}{\partial y} = 0$$

$$\frac{\partial N_{y}}{\partial y} + \frac{\partial N_{xy}}{\partial x} = 0$$
(1-6)

On constate que ces équations sont entièrement indépendantes de trois équations de l'équilibre considérées au paragraphe précédent.





Pour étudier la projection des forces, indiquées sur la figure 2 sur l'axe des 3, il faut tenir compte de la flexion de la plaque. En raison de la courbure de la plaque dans le plan \mathcal{H}_3 (Fig. 2-a), la projection des forces normales $\mathcal{H}_{\mathcal{H}}$ sur l'axe des 3 donne :

$$-N_{\chi} \operatorname{cly} \frac{\partial^{2} W}{\partial x^{2}} + (N_{\chi} + \frac{\partial N_{\chi}}{\partial x} \operatorname{clx}) \left(\frac{\partial W}{\partial x} + \frac{\partial^{2} W}{\partial x^{2}} \operatorname{clx} \right) \operatorname{ely}.$$

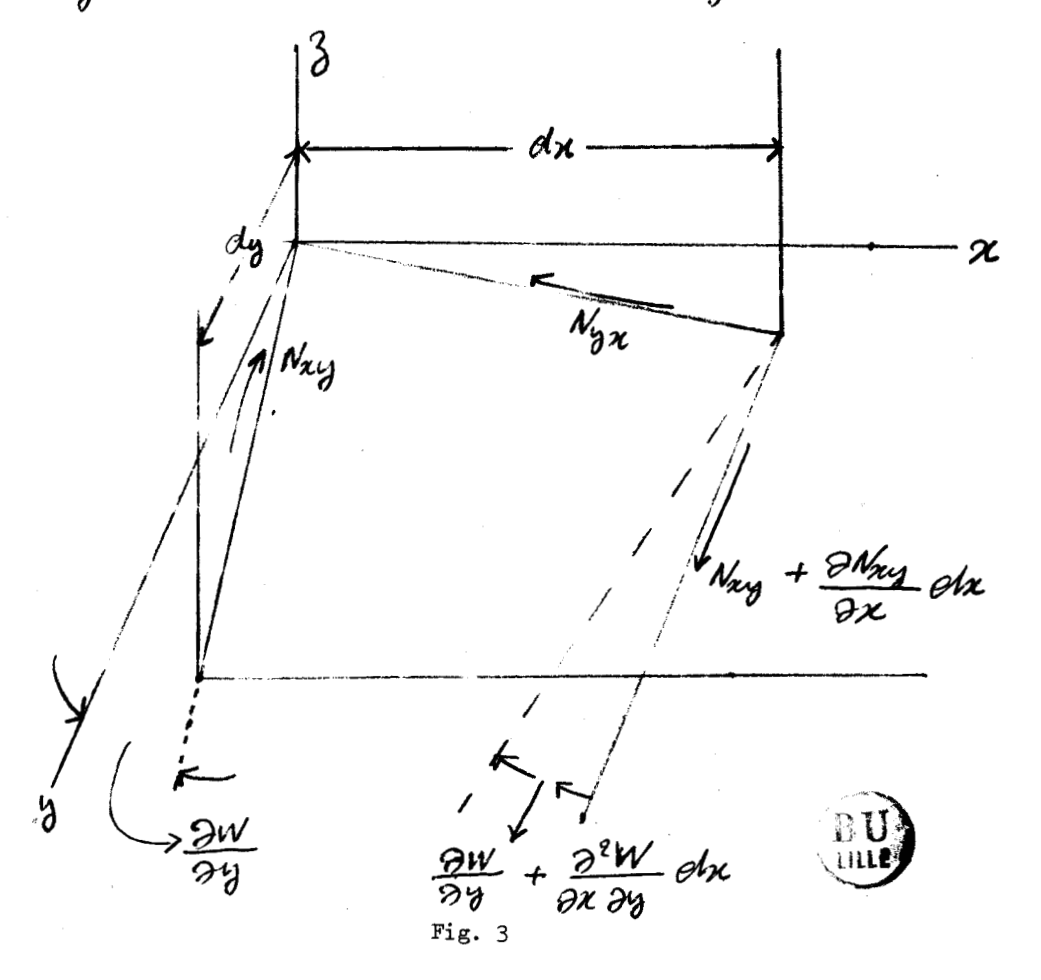
Après simplification et en négligeant les infiniments petits d'ordre supérieur, cette projection devient :

$$N_{x} \frac{\partial^{2} W}{\partial x^{2}} elx ely + \frac{\partial N_{x}}{\partial x} \frac{\partial W}{\partial x} elx ely$$
 (1-7a)

De même, la projection des forces normales Ny sur l'axe des 3 donne

$$N_y \frac{\partial^2 W}{\partial y^2} clx ely + \frac{\partial N_y}{\partial y} \frac{\partial W}{\partial y} elx ely$$
 (1-76)

Pour déterminer la projection sur l'axe des g des efforts tranchants Wxy, considérons la flexion d'un élément dx ely du plan moyen (Fig. 3).



En raison des angles :

$$\frac{\partial W}{\partial v_j} \quad \text{et} \quad \frac{\partial W}{\partial y} + \frac{\partial^2 W}{\partial x \partial v_j} elx$$
indiqués sur la figure, les efforts tranchants N_{ny} ont pour projection sur

l'axe des 3

$$N_{xy} \frac{\partial^2 W}{\partial x \partial y} eln ely + \frac{\partial N_{xy}}{\partial x} \frac{\partial W}{\partial y} eln ely$$

Les projections sur l'axe des g des efforts tranchants $g_{x} = g_{y}$ sont données par une expression analogue et finalement la projection de tous les efforts tranchants est :

9 May
$$\frac{\partial^2 W}{\partial x \partial y}$$
 the dy + $\frac{\partial N_{xy}}{\partial x}$ $\frac{\partial W}{\partial y}$ the dy + $\frac{\partial N_{xy}}{\partial y}$ $\frac{\partial W}{\partial x}$ dx ely (1-70)

En ajoutant à la charge **ACK** Chy agissant sur l'élément les expressions (1-7a), (1-7b), (1-7c) et en utilisant les équations (1-6), on aura l'équation suivante, pour les conditions d'équilibre,

$$\frac{\partial^{2}Hx}{\partial x^{2}} - 2\frac{\partial^{2}Hxy}{\partial x \partial y} + \frac{\partial^{2}Hy}{\partial y^{2}} = -\left(9 + N_{x}\frac{\partial^{2}W}{\partial x^{2}} + N_{y}\frac{\partial^{2}W}{\partial y^{2}} + 2N_{xy}\frac{\partial^{2}W}{\partial x \partial y}\right)$$

En remplaçant M_{x} , M_{y} et M_{xy} par leurs expressions; soient :

$$M_{\chi} = -D\left(\frac{\partial^2 W}{\partial \chi^2} + \frac{\mathcal{V}}{\partial \chi^2}\right)$$

$$M_y = -D\left(\frac{\partial^2 W}{\partial y^2} + U\frac{\partial^2 W}{\partial y^2}\right)$$

$$M_{xy} = -M_{yx} = D(1-U)\frac{\partial^2 W}{\partial x \partial y}$$

On a :

$$\frac{\partial^{4}W}{\partial x^{4}} + 2 \frac{\partial^{4}W}{\partial x^{2} \partial y^{2}} + \frac{\partial^{4}W}{\partial y^{4}} = \frac{1}{D} \left(9 + N_{x} \frac{\partial^{2}W}{\partial x^{2}} + N_{y} \frac{\partial^{2}W}{\partial y^{2}} + 2 N_{xy} \frac{\partial^{2}W}{\partial x \partial y} \right)$$
(1-8)

où

 $oldsymbol{D}$: désigne la rigidité de plaque à la flexion.

 ${\mathcal U}$: coefficient de Poisson.

 ${\mathcal W}$: déplacement normal.

Dans le cas général, de grandes déformations d'une plaque sont accompagnées d'une extension du plan moyen. Pour étudier les flèches importantes des plaques, on peut continuer à utiliser l'équation (1-8) mais les forces $N_{\mathcal{X}}$, $N_{\mathcal{Y}}$, $N_{\mathcal{Y}}$, dépendent ici non seulement des forces extérieures appliquées au plan $N_{\mathcal{Y}}$, mais aussi de l'étirement de la surface moyenne par suite de la flexion. Les équations d'équilibre dans le plan $N_{\mathcal{Y}}$ sont toujours :

$$\frac{\partial Nx}{\partial x} + \frac{\partial Nxy}{\partial y} = c$$

$$\frac{\partial Ny}{\partial y} + \frac{\partial Nxy}{\partial x} = 0$$

On obtiendra la troisième équation pour déterminer N_X , N_Y et $N_{X,Y}$ par la condition de déformation du plan moyen de la plaque pendant la flexion.

Composantes du tenseur de déformation

Nous déduirons au préalable l'expression du tenseur de déformation déterminant la traction de la plaque (considérée comme surface) soumise simultanément à une flexion et à une traction dans son plan.

Soit $\mathcal M$ le vecteur déplacement à deux dimensions (de composantes $\mathcal U_{\chi}$, $\mathcal U_{\chi}$) en traction pure; $\mathcal W$ désigne comme avant le déplacement transversal de flexion. Alors, l'élément de longueur $\mathcal M = \mathcal M^2 + \mathcal M^2$ de la plaque non déformée devient après déformation $\mathcal M$, de carré [4]:

or

$$du_{x} = \frac{\partial u_{x}}{\partial x} dx + \frac{\partial u_{x}}{\partial y} dy$$

$$du_{y} = \frac{\partial u_{y}}{\partial x} dx + \frac{\partial u_{y}}{\partial y} dy$$

$$dw = \frac{\partial w}{\partial x} dx + \frac{\partial w}{\partial y} dy$$

$$(dx + du_{x})^{2} = dx^{2} + 2\frac{\partial u_{x}}{\partial x} dx^{2} + 2\frac{\partial u_{x}}{\partial y} dx dy$$

$$+ (\frac{\partial u_{x}}{\partial x} dx)^{2} + (\frac{\partial u_{x}}{\partial y} dy)^{2}$$

$$+ 2\frac{\partial u_{x}}{\partial x} \frac{\partial u_{x}}{\partial y} dx dy$$

$$(dy + elly)^{2} = ely^{2} + 2 \frac{\partial lly}{\partial x} dy elx + 2 \frac{\partial lly}{\partial y} ely^{2} + \left(\frac{\partial lly}{\partial x} elx\right)^{2} + \left(\frac{\partial lly}{\partial x} elx\right)^{2} + \left(\frac{\partial lly}{\partial y} ely\right)^{2} + 2 \frac{\partial lly}{\partial x} \frac{\partial lly}{\partial y} elx ely$$

on ne garde que les termes linéaires des dérivées $\frac{\partial \mathcal{U}_x}{\partial x}$, $\frac{\partial \mathcal{U}_x}{\partial y}$ et $\frac{\partial \mathcal{U}_y}{\partial x}$, $\frac{\partial \mathcal{U}_y}{\partial y}$, quand à $\frac{\partial \mathcal{U}_z}{\partial y}$, on le garde sans simplification car il ne présente pas de termes linéaires :

$$dw^2 = \left(\frac{\partial w}{\partial x}\right)^2 eh^2 + \left(\frac{\partial w}{\partial y}\right)^2 ehy + 2\frac{\partial w}{\partial x}\frac{\partial w}{\partial y}ehx ehy$$

Donc :

οù

$$\mathcal{E}_{\alpha\beta} = \frac{1}{2} \left(\frac{\partial \mathcal{U}_{\alpha}}{\partial x_{\beta}} + \frac{\partial \mathcal{U}_{\beta}}{\partial x_{\alpha}} \right) + \frac{1}{2} \frac{\partial W}{\partial x_{\alpha}} \frac{\partial W}{\partial x_{\beta}}$$

soit:

$$\mathcal{E}_{xx} = \mathcal{E}_{11} = \frac{\partial \mathcal{U}_{x}}{\partial x} + \frac{1}{2} \left(\frac{\partial W}{\partial x} \right)^{2}$$

$$\mathcal{E}_{yy} = \mathcal{E}_{22} = \frac{\partial \mathcal{U}_{y}}{\partial y} + \frac{1}{2} \left(\frac{\partial W}{\partial y} \right)^{2}$$

$$\mathcal{E}_{xy} = \mathcal{E}_{12} = \frac{1}{2} \left(\frac{\partial \mathcal{U}_{x}}{\partial y} + \frac{\partial \mathcal{U}_{y}}{\partial x} \right) + \frac{1}{2} \left(\frac{\partial W}{\partial x} \right) \left(\frac{\partial W}{\partial y} \right)$$

$$\mathcal{E}_{xy} = \mathcal{E}_{12} = \frac{1}{2} \left(\frac{\partial \mathcal{U}_{x}}{\partial y} + \frac{\partial \mathcal{U}_{y}}{\partial x} \right) + \frac{1}{2} \left(\frac{\partial W}{\partial x} \right) \left(\frac{\partial W}{\partial y} \right)$$

En manipulant les dérivées des déformations afin d'éliminer \mathcal{U}_{χ} , \mathcal{U}_{y} entre les expressions de $\mathcal{E}_{\chi\chi}$, $\mathcal{E}_{\chi y}$, $\mathcal{E}_{\chi y}$ on a :

$$\mathcal{E}_{xx,yy} - \mathcal{E}_{xy,xy} + \mathcal{E}_{yy,xx} = \left[\left(\frac{\partial^2 w}{\partial x \partial y} \right)^2 - \frac{\partial^2 w}{\partial x^2} \frac{\partial^2 w}{\partial y^2} \right] \quad (1-10)$$

En introduisant la fonction d'Airy \digamma , (fonction de contrainte) définie par :

$$\frac{\partial^2 F}{\partial x^2} = O_{yy} , \frac{\partial^2 F}{\partial y^2} = O_{xx} , -\frac{\partial^2 F}{\partial x \partial y} = O_{xy}$$
 (1-11)

et d'après les relations de contraîntes-déformations (loi de Hooke).

$$\mathcal{E}_{xx} = \frac{1}{E} \left(\mathcal{O}_{xx} - \mathcal{V} \mathcal{I}_{yy} \right)$$

$$\mathcal{E}_{yy} = \frac{1}{E} \left(\mathcal{O}_{yy} - \mathcal{V} \mathcal{O}_{xx} \right)$$

$$\mathcal{E}_{xy} = \frac{1+\mathcal{V}}{E} \mathcal{O}_{xy}$$
(1-12)

(1-11) et (1-12) donnent :

$$\mathcal{E}_{xx} = \frac{1}{E} \left[\frac{\partial^2 F}{\partial y^2} - \mathcal{V} \frac{\partial^2 F}{\partial x^2} \right]$$

$$\mathcal{E}_{yy} = \frac{1}{E} \left[\frac{\partial^2 F}{\partial x^2} - \mathcal{V} \frac{\partial^2 F}{\partial y^2} \right]$$

$$\mathcal{E}_{xy} = -\frac{1+\mathcal{V}}{E} \frac{\partial^2 F}{\partial x \partial y}$$
(1-13)

(1-10) et (1-13) donnent :

$$\Delta^{2}F = E[W_{,ny}^{2} - W_{,nx} W_{,yy}]$$
 (1-14)

οù

$$\Delta = \frac{\partial^2}{\partial x^2} + \frac{\partial^2}{\partial y^2}$$

$$W_{,\pi y} = \frac{\partial^2 W}{\partial x \partial y}$$

En posant :

$$\frac{Nx}{h} = 0x = F, yy , \frac{Ny}{h} = 0y = F, xx$$

$$\frac{Nxy}{h} = Txy = -F, xy$$

et en utilisant ces équations et l'équation (1-8) on obtient :

$$\Delta^{2}W = \frac{h}{D}\left(\frac{9}{h} + F_{yy}W_{xx} + F_{xx}W_{yy} - 2F_{xy}W_{xy}\right)$$
 (1-15)

Les équations (1-14) et (1-15) associées aux conditions au contour, déterminent les deux fonctions W et \digamma .

Pour tenir compte des effets dynamiques, on doit, dans les équations d'équilibre, ajouter aux forces et moments extérieurs des forces et moments d'inertie. L'équation (1-15) devient donc, en ajoutant au deuxième membre le terme $\frac{\mathbf{A}}{D}\left(-\rho\frac{\partial^2 W}{\partial L^2}\right)$:

$$\Delta^{2}W = \frac{\Omega}{D} \left(\frac{9}{6} + F_{yy}W_{,xx} + F_{xx}W_{,yy} - 2F_{xy}W_{,xy} \right)$$

$$- \left(\frac{9^{2}W}{3t^{2}} \right)$$

II.- FLEXION D'UNE PLAQUE SOUS L'ACTION DE CHARGE DANS SON PLAN

Considérons une plaque rectangulaire d'épaisseur uniforme , excitée dans son plan par des forces uniformément distribuées le long de deux arêtes opposées (Fig. 4).

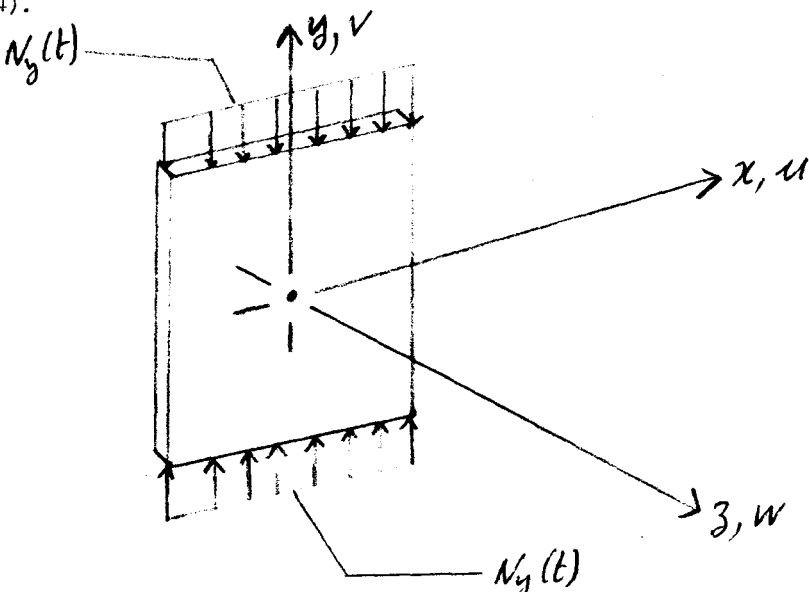


Fig. 4.- Plaque excitée longitudinalement (dans son plan) par la charge Ny(t).

Les forces ayant la même intensité $N_{y}(t)$ mais exposées, la somme des forces extérieures agissant sur la plaque est nulle. L'équation différentielle (1-16) vérifiée par la flèche devient donc :

$$\Delta^{2} W = \frac{h}{D} \left(F_{,yy} W_{,xx} + F_{,xx} W_{,yy} - 2F_{,xy} W_{,xy} - 2F_{,xy} W_{,xy} \right)$$

$$- (W_{,tt}) \qquad (1-17)$$

CHAPITRE II

 $\frac{\text{DU}}{\text{MOUVEMENT}}$ TRANSVERSAL

I .- FORMULATION DU PROBLEME

I.1) Géométrie du modèle

Le modèle conceptuel considéré dans cette étude consiste en une plaque rectangulaire mince initialement plate, d'épaisseur uniforme \mathcal{H} , homogène, élastique, simplement supportée sur son pourtour et excitée dans son plan par deux forces périodiques • $\mathcal{H}_{\chi}(t)$ et $\mathcal{N}_{\chi}(t)$, uniformément distribuées le long des quatre arêtes (Fig. 5). Les forces $\mathcal{N}_{\chi}(t)$ et $\mathcal{N}_{\chi}(t)$ ayant pour expressions :

$$N_{\chi}(t) = N_{\chi_0} + N_{\chi_t} \times f(t)$$

 $N_{y}(t) = N_{y_0} + N_{y_t} \times f(t)$

où $\mathcal{N}_{\mathcal{X}_t}$ et $\mathcal{N}_{\mathcal{Y}_t}$ sont les amplitudes de la force périodique :

$$g(t) = q(t) + \epsilon(t)$$

$$\epsilon(t) = T \stackrel{t \propto}{\underset{n=-\infty}{=}} S(t-nT), \quad T = \text{période}$$

$$q(t) = \frac{t \propto}{p=-\infty} \alpha_p \cos(pwt + T), \quad \omega T = 2\pi$$

$$\frac{t \propto}{p=-\infty} |\alpha_p| < K \qquad K = \text{constante.}$$

L'origine du système est choisie au centre de la plaque non déformée (voir fig. 5).

Le cas d'une plaque rectangulaire mince initialement plate, d'épaisseur uniforme homogène, élastique, simplement supportée sur son pourtour et excitée dans son plan par une force périodique uniformément distribuée le long de deux arêtes opposées a été étudié dans [8], [9] et [10].

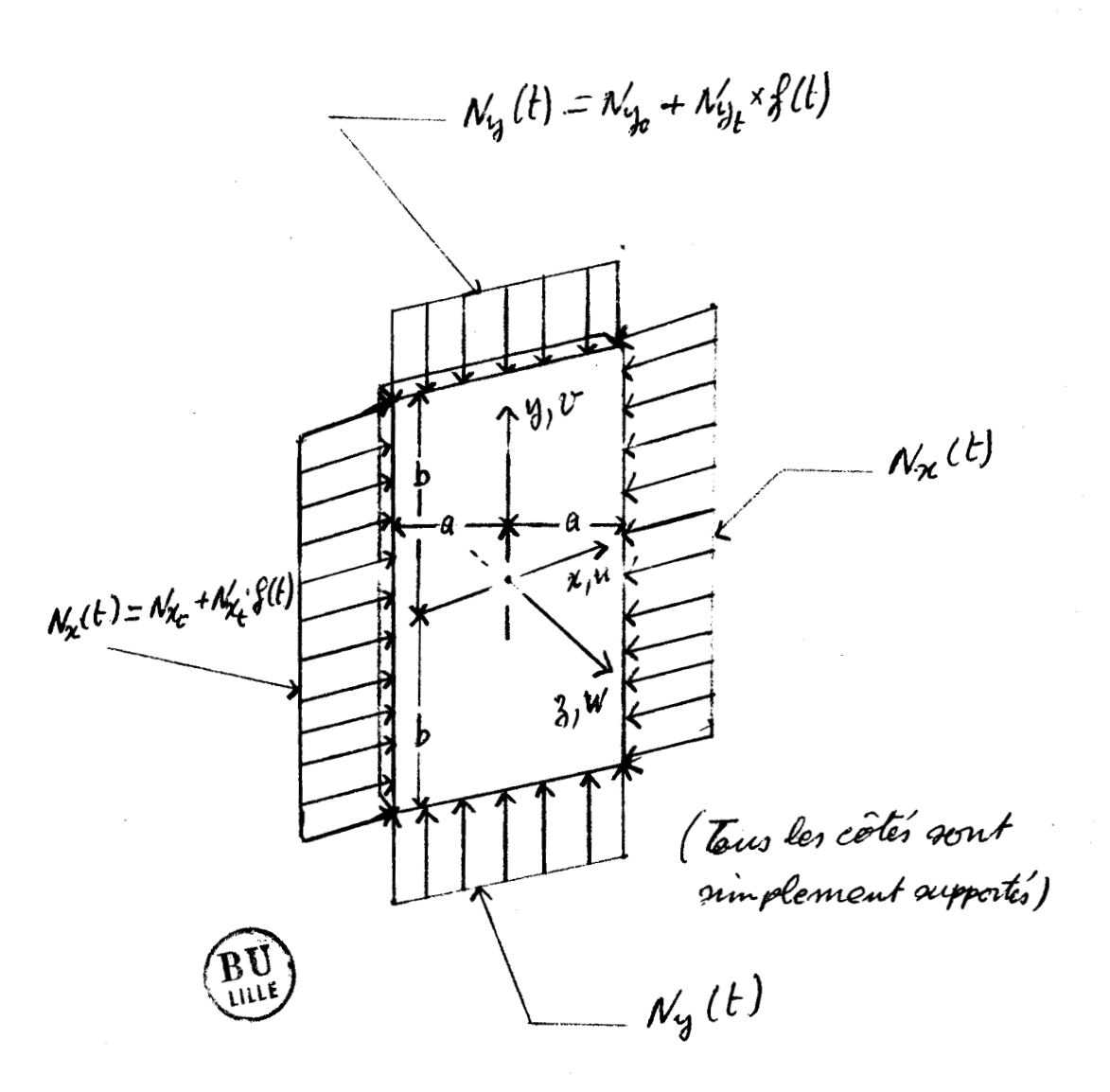


Fig. 5.- Plaque rectangulaire soumise à une excitation paramétrique et continue.

Dans [8] et [9], f(t) a pour expression f(t) = Con B(t).

Dans [10], f(t) est une percussion S et a pour expression.

$$f(t) = T \stackrel{+\infty}{=} S(t-nT)$$

1.2) Equations de base

L'analyse est basée sur les équations (1-14) et (1-17) non linéaires correspondant à la version dynamique des équations de Von Karman pour le cas de grandes déformations; tient compte de l'étirement de la surface moyenne mais où l'on néglige le moment d'inertie (car la plaque est mince). Ces équations, exprimées en fonction de la fonction d'Airy \digamma et du déplacement latéral $\mathcal W$, sont :

$$\nabla^4 F = E[W, ny - W_{xx} W_{yy}]$$

 $\nabla^4 W = \frac{G}{D} \left[F_{,yy} W_{,xx} + F_{,xx} W_{,yy} - 2F_{,xy} W_{,xy} \right]^{(2-1)}$ $- PW_{,++} T$

où les indices inférieurs placés après la virgule représentent des dérivées partielles par rapport à ces indices et où D, E et C désignent respectivement la rigidité en flexion, le module d'élasticité et la densité de la plaque.

1.3) Conditions aux limites

Les conditions aux limites sont reliées à la fois à la fonction d'Airy \not et au déplacement latéral W. La plaque étant comprimée dans son plan moyen par des forces uniformément réparties le long des arêtes $\mathcal{X}=-\mathcal{G}$, $\mathcal{X}=+\mathcal{G}$, $\mathcal{Y}=-\mathcal{G}$, $\mathcal{Y}=+\mathcal{G}$ nous avons :

$$F_{yy} = -\frac{N_x(t)}{A}$$
, $F_{xy} = e$ $a' x = \pm e$ (2-2)

$$F_{,xx} = -\frac{N_y(t)}{4}, F_{,xy} = 0 \text{ as } y = \pm 5$$

Les plaques considérées dans cette étude étant simplement supportées sur leur pourtour, les déflexions latérales et les moments fléchissants le long des arêtes sont nuls et par conséquent :

$$W = W_{,xx} + VW_{,yy} = 0 \quad \text{a'} \quad x = \pm a$$

$$W = W_{,yy} + VW_{,xx} = 0 \quad \text{a'} \quad y = \pm b$$
(2-3)

Le problème consiste à déterminer les fonctions F et W qui vont satisfaire à la fois les équations du mouvement dans le domaine et les conditions aux limites.

11.- METHODE DE RESOLUTION

II.1) Expression de F et W.

Dans cette étude, le déplacement latéral de la plaque est représenté par une double série des fonctions propres du système linéaire associé :

$$W(x, y, t) = \underset{p}{=} \underset{q}{=} W_{pq}(t) \mathcal{I}_{p}(x) \mathcal{U}_{q}(y)$$
 (2-4)

où \mathcal{W}_{pq} (t) sont les coordonnées généralisées du système. Les indices et correspondent au nombre de demi-ondes dans la direction des axes $\mathcal{O}_{\mathcal{X}}$ et $\mathcal{O}_{\mathcal{Y}}$, respectivement.

La solution pour la fonction d'Airy est supposée sous la forme d'une double série de fonctions propres de poutre qui satisfont les conditions de contraintes aux rives :

$$F(x,y,t) = \sum_{m} \int_{m} (t) \chi_{m}(x) \chi_{n}(y) - \chi^{2} \frac{N_{y}(t)}{2q} y^{2} \frac{N_{x}(t)}{2q} (2-5)$$

où finale sont les coefficients généralisés de contrainte.

Les familles de fonctions $(\chi_m)_1 \le m \le +\infty$; $(\chi_n)_1 \le n \le +\infty$; $(\mathcal{I}_p)_{1 \leq p \leq +\infty}$ et $(\mathcal{Y}_q)_{1 \leq q \leq +\infty}$ doivent être des familles complètes dans leurs domaines de définition, soit pour $\chi \in [-a, +a]$ et y ∈ [-b, +6].

II.2) Choix des fonctions d'approximation

Les expressions analytiques des fonctions propres utilisées dans cette étude sont les mêmes que celles utilisées par OSTIGUY [8, 9]; soit :

$$X_{m} = \frac{\cosh x_{m} x}{\cosh \beta_{m} \alpha} - \frac{\cosh x_{m} x}{\cosh \beta_{m} \alpha}, \quad m = 1, 2, 3, \dots$$

$$Y_{n} = \frac{\cosh \beta_{m} y}{\cosh \beta_{m} b} - \frac{\cosh \beta_{m} y}{\cosh \beta_{m} b}, \quad n = 1, 2, 3, \dots$$

$$E_{p} = \cosh \frac{p \pi x}{2\alpha} \qquad , \quad p = 1, 2, \dots$$

$$Y_{q} = \cosh \frac{q \pi y}{2b} \qquad , \quad q = 1, 2, \dots$$

$$Q_{q} = \sin \frac{q \pi y}{2b} \qquad , \quad q = 1, 2, \dots$$

$$Q_{q} = \sin \frac{q \pi y}{2b} \qquad , \quad q = 1, 2, \dots$$

$$Q_{q} = \sin \frac{q \pi y}{2b} \qquad , \quad q = 1, 2, \dots$$

, 9=1,2 ---

Avec un choix particulier de \mathcal{A}_m et \mathcal{B}_n ; F et W vérifiant les conditions aux limites, en effet :

$$F_{yy} = \sum_{m,n} S_{man} X_m Y_n'' - \frac{N_2(t)}{t_1}$$

$$F_{,xx} = \sum_{m,n} \int_{mn} \chi_m' \gamma_n - \frac{N_y(t)}{g}$$

et

et on a bien :

$$F_{yy}(x=\pm a) = -\frac{N_x(t)}{b}$$
 car $X_m(\pm a) = 0$

$$F_{xx}(y=\pm b) = -\frac{N_g(t)}{t} \quad car \; \chi_n(\pm b) = 0$$

et pour avoir :

et

soit en posant
$$\lambda_n = \beta_n b$$
 , $\lambda_m = \alpha_m \alpha$,

L'équation (2-8) est appelée <u>équation transcendante</u>. Cette équation admet en général autant de solutions que les fonctions (- tanx) et tank x se rencontrent (fig. 6).

Choix des solutions des équations (2-8)

Soient \mathcal{X}_{σ} , \mathcal{X}_{1} , \mathcal{X}_{2} ,, les abscisses des points d'intersection des courbes de(-tanx) et tanhx. Les dimensions \mathcal{U} et \mathcal{B} de la plaque étant connues, on peut choisir :

ou
$$\beta_m = \frac{\chi_0}{b}$$
 et $\chi_m = \frac{\chi_0}{a}$ et $\chi_m = \frac{\chi_0}{a}$

ou
$$\beta_n = \frac{\chi_0}{b}$$
 et $\chi_m = \frac{\chi_1}{b}$, ...

ou bien \mathcal{X}_m et \mathcal{B}_n étant fixés on peut choisir les dimensions convenables de la plaque pour que le mouvement soit stable.

Pour la fonction W ; avec le choix de f(x) et f(y) on a bien :

$$W(x=\pm a)=c$$
 , $W(y=\pm b)=e$

et

$$W_{,\chi\chi} + \mathcal{V}W_{,gg} = -\frac{\rho^{2}\pi^{2}W}{(2a)^{2}}W - \mathcal{V}\frac{g^{2}\pi^{2}}{(2b)^{2}}W$$
$$= \left[-\frac{\rho^{2}\pi^{2}}{(2a)^{2}} - \mathcal{V}\frac{g^{2}\pi^{2}}{(2b)^{2}}\right]W$$

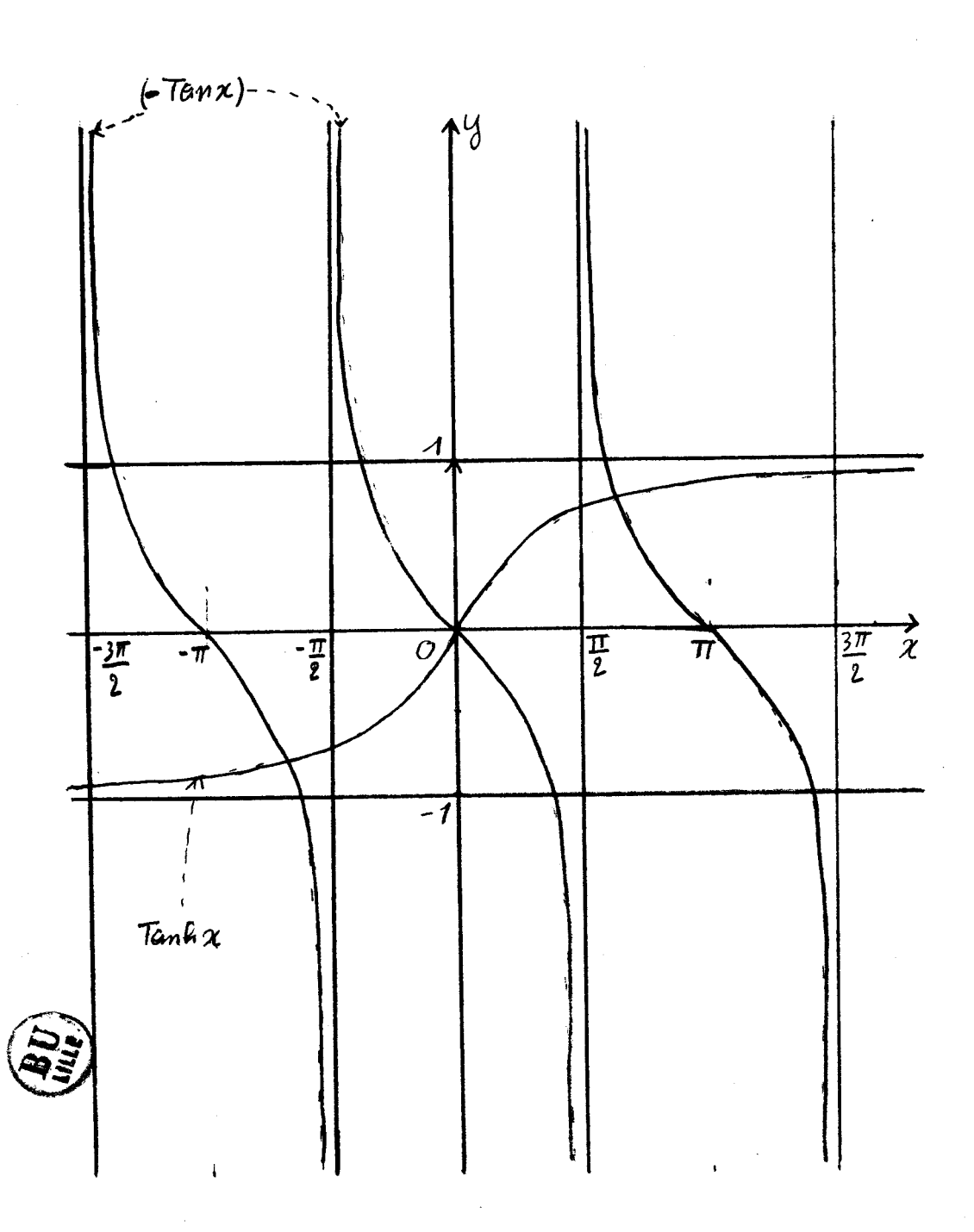


Fig. 6

donc

De même pour

$$W_{,yy} + \mathcal{V} W_{,xx} = \left[-\frac{q^2 \pi^2}{(23)^2} - \mathcal{V} \frac{\rho^2 \pi^2}{(2a)^2} \right] W$$

et

$$W_{i}yy + UW_{i}nx$$
 pour $y = \pm 3$.

On montre (voir ANNEXE, § A) que les familles (X_m) , (X_n) , (Z_p) et (Y_a) sont orthogonales.

11.3) Equation temporelle du mouvement

Dans ce paragraphe nous déterminons l'équation différentielle vérifiée par les coordonnées généralisées $\mathcal{W}_{\mathcal{A}}(t)$ du système. \mathcal{S}_{t}^{m} et \mathcal{S}_{j}^{m} désignent les symboles de Kronecker.

Portons les développements (2-4) et (2-5) supposés pour W et \nearrow dans les équations de base (2-1); on obtient [8, 9, 10] :

$$\begin{split}
&= \frac{G}{D} \left[\sum_{m} \sum_{n} \sum_{p} \int_{q} \int_{mn} W_{pq} \left(\sum_{m} \sum_{p} \sum_{q} V_{p}'' + \sum_{p} V_{q}'' \right) \right] \\
&= \frac{G}{D} \left[\sum_{m} \sum_{n} \sum_{p} \int_{q} \int_{mn} W_{pq} \left(\sum_{m} \sum_{p} V_{m}'' + \sum_{m} V_{p}'' + \sum_{m} V_{m}'' + \sum_{$$

Exprimons comme dans [40], les fonctions X_i'' ; $\overline{L}_p \overline{L}_p Y_i'$; $\overline{L}_p \overline{L}_p Y_i'$ dans la base $(X_m)_1 \le m \le +\infty$ de même pour les fonctions Y_i'' ; $Y_i'Y_i'$ dans la base $(Y_m)_1 \le m \le +\infty$. Soit :

$$(i) X_i'' = \frac{\lambda_i^2}{a^2} \sum_{m} K_i^{mi} X_m , \chi_i'' = \frac{\lambda_i^2}{b^2} \sum_{n} L_i^{nj} \chi_n$$

$$(v) \left(\mathcal{I}_{p} \mathcal{I}_{r} \right) \left(\mathcal{I}_{q} \mathcal{I}_{s}^{\prime \prime \prime} \right) = \frac{p^{2} s^{2}}{16a^{2}b^{2}} = K_{3}^{mpr} \mathcal{L}_{3}^{nqs} \mathcal{X}_{m} \mathcal{X}_{n}$$

Désignons par Le symbole de Kronecker; en remplaçant les expressions (i), (ii), (iii), (iv) et (v) ci-dessus dans l'équation (2-9), le premier membre de celle-ci devient :

$$\frac{1}{2} \int_{M}^{\infty} \int_{M}$$

en adoptant les règles habituelles de sommation; c'est-à-dire la répétition d'un indice dénote une sommation par rapport à cet indice et en posant :

$$= \int_{i}^{mn} S_{i}^{m} \left[c^{2} \lambda_{m}^{\mu} + \lambda_{m}^{\mu} / c^{2} \right] + 3 \lambda_{m}^{2} \lambda_{m}^{\mu} K_{i}^{m} K_{i}^{m}$$

C = b/G est le rapport de forme de la plaque. Le second/de (2-9) devient :

$$E = \sum_{q} \sum_{r} \sum_{s} W_{pq} W_{rs} \left(E_{p} E_{r}' Y_{q}' Y_{s}' - E_{p}' E_{r} Y_{q}' Y_{s}'' \right)$$

$$= \sum_{i} \sum_{s} \left\{ \sum_{q} \sum_{r} \sum_{s} E_{pq} W_{rs} \left(\frac{p_{rq} s_{17}}{16 a^{2} b^{2}} X_{s}'' Y_{s}'' \right) - \frac{p^{2} s_{1}^{2} \pi^{4}}{16 a^{2} b^{2}} K_{2}^{ip_{r}} L_{2}^{iq_{s}} \right\}$$

$$= \sum_{i} \sum_{s} \left\{ \sum_{q} \sum_{r} \sum_{s} E_{pq} W_{rs} \left(\frac{p_{rq} s_{17}}{16 a^{2} b^{2}} X_{s}' Y_{s}'' \right) + \frac{p^{2} s_{17}^{2} \pi^{4}}{16 a^{2} b^{2}} K_{3}^{ip_{r}} L_{3}^{iq_{s}} \right\} \right\} X_{i} Y_{i}^{i}$$

avec

D'où

$$\int_{ij}^{mn} f(t) = \int_{ij}^{pars} W_{pa} W_{rs}$$
(2-11)

Pour les équations (2-10) nous posons

$$(vii) X'''_{m} \vec{\xi}_{r} = \frac{\lambda_{n}^{2}}{G^{2}} \stackrel{\text{Z}}{=} K^{umr}_{5} \vec{\xi}_{u} ; Y'''_{n} = \frac{\lambda_{n}^{2}}{b^{2}} \stackrel{\text{Z}}{=} L^{vns}_{5} \vec{\xi}_{v}$$

En remplaçant dans l'équation (2-10), nous obtenons :

$$=e$$

soit

$$\frac{1}{2} \sum_{i} \frac{1}{16a^{4}c^{2}} W_{uv}^{(t)} \left[e^{2}u^{4} + 2u^{2}v^{2} + v^{4}/e^{2} \right] \\
- \frac{1}{16a^{4}c^{2}} \left[e^{2}u^{2}N_{x}(t) + v^{2}N_{y}(t) \right] W_{uv}^{(t)} + \frac{6}{9} e^{i}W_{uv}^{(t)} \int_{uv}^{uv} V_{uv}^{(t)} V_$$

D'où

$$\frac{\pi^{4}0}{16860^{4}c^{2}} \left[c^{2}n^{4} + 2n^{2}v^{2} + v^{4}/c^{2} \right] W_{nv}(t)
- \frac{\pi^{2}0}{400^{2}c^{2}66} \left[c^{2}n^{2}N_{x}(t) + v^{2}N_{y}(t) \right] W_{nv}(t) + \dot{W}_{nv}(t)
+ \int_{nv}^{mns} f_{mn}(t) W_{rs}(t) = 0$$

Finalement on obtient :

où les pulsations propres sont données par

$$\omega_{uv}^{2} = \frac{\pi^{4} D}{4666646^{4} e^{2}} \left[c^{2} u^{4} + 2u^{2} v^{2} + v^{4}/c^{2} \right]$$

C=b/a est le rapport de forme de la plaque et où la répétition d'un indice dénote une sommation par rapport à cet indice.

L'équation différentielle (2-12) représente l'équation temporelle d'excitation paramétrique d'une plaque rectangulaire simplement posée; cette plaque étant soumise dans son plan à des percussions dans les directions $\mathcal{X}\mathcal{C}\mathcal{X}$ et $\mathcal{Y}\mathcal{C}\mathcal{Y}$.

Les expressions des K. et L. qui dépendent des fonctions propres utilisées sont données dans l'ANNEXE § A.

Les équations (2-11) établissent les relations existant entre les coefficients de contrainte $\binom{l}{l}$ et les coordonnées généralisées $\binom{l}{l}$ La résolution du système d'équations (2-11) en fonction des $\binom{l}{l}$ nous donne :

οù

En portant les relations (2-13) dans les équations (2-12), en posent

et sachant que

$$N_{x}(t) = N_{x_{e}} + N_{x_{t}} f(t)$$

$$N_{y}(t) = N_{y_{e}} + N_{y_{t}} f(t)$$

avec

$$f(t) = \epsilon(t) + \epsilon(t)$$

$$e(t) = T = \sum_{m=-\infty}^{+\infty} \delta(t-n\tau) , T = perientle$$

$$e(t) = \sum_{p=-\infty}^{+\infty} x_p \cos(p \cot t + \tau)$$

$$= |x_p| < \infty$$

on peut écrire les équations temporelles du mouvement sous la forme :

où

des coefficients non linéaires d'élasticité. Transformons quelque peu cette équation; nous obtenons :

$$\tilde{W}_{uv} + \omega_{uv}^{2} \left[1 - \frac{(c^{2}u^{2}N_{z_{0}} + V^{2}N_{y_{0}})}{N_{uv}} \right] \left[1 - \frac{(c^{2}u^{2}N_{z_{0}} + V^{2}N_{y$$

$$\frac{\left(c^{2}u^{2}N_{x_{t}}+V^{2}N_{y_{t}}\right)\delta(t)}{N_{uv}\left(1-\frac{\left(c^{2}u^{2}N_{x_{0}}+V^{2}N_{y_{0}}\right)}{N_{uv}}\right)}W_{uv}+W_{kl}^{klpqvs}}{W_{kl}W_{qq}W_{rs}}=0$$

Posons de même

$$Q_{\mu\nu} = \omega_{\mu\nu} \left[1 - \frac{e^2 \mu^2 N_{x,} + \sigma^2 N_{y_0}}{N_{\mu\nu}} \right]^{\frac{1}{2}}$$

qui est la

pulsation naturelle de la vibration de la plaque chargée par N_{∞} et N_{3_o} .

$$\int_{uv} = \frac{c^2 N^2 N_{zt} + \sigma^2 N_{yt}}{2 \left(N_{uv} - c^2 N^2 N_{zo} + \sigma^2 N_{y_0}\right)} : excitation$$

en charge paramétrique.

Avec ces notations nous avons l'équation non linéaire vérifiée par Wur:

En ajoutant, pour plus de généralité, l'effet de l'amortissement linéaire dans l'équation du mouvement, nous obtenons :

$$W_{uv} + 2C_{uv}W_{uv} + \Omega_{uv}^{2}\left(\Lambda - 2J_{uv}\delta(t)\right)W_{uv}$$

$$+ M_{kl}^{kl}\rho_{q}v^{\lambda}$$

$$+ W_{kl}^{l}W_{lq}W_{rs} = 0 \qquad (2-15)$$

Pour éviter la présence de nombreux termes non linéaires basiques (d'ordre trois) qui crée un couplage modal important, nous prendrons u=p=k=k et $U=q=\ell=\Delta$ soit $W_{k\ell}=W_{pq}=W_{rA}$. L'équation (2-15) devient alors :

soit en omettant les indices

(2-16)

Dans la suite nous nous placerons dans le cas des deux hypothèses suivantes :

a) La viscosité ${\mathfrak C}$, l'excitation paramétrique ${\mathfrak J}'$ et le coefficient de non linéarité ${\mathsf M}$ sont petits, nous posons pour la commodité de l'écriture :

$$c = \lambda c$$
 $f = \lambda f$ $\mathcal{V} = M = \lambda \mathcal{V}$
 $\lambda \in \mathcal{V} = \mathcal{V} = \mathcal{V} = \mathcal{V}$

b) Dans le cas d'excitation paramétrique nous devons envisager le cas de la résonance (pour avoir des vibrations non nulles); soit :

É étant une constante non nulle.

L'équation (2-16) devient :

$$\ddot{W} + \omega^2 W = \lambda \left[2 \gamma W f(t) - 2 C \dot{W} - E W \omega^2 - \gamma W^3 \right] (2-17)$$

Cette équation représente un oscillateur linéaire $(\mathring{\mathbf{W}} + \omega^{2}\mathbf{W})$ perturbé par $(27\mathbf{W})(4) - 7\mathbf{W}^{2} - 26\mathbf{w} - 6\omega^{2}\mathbf{W})$

Nous retiendrons la forme finale suivante de l'équation (2-17) :

$$\ddot{W} + \omega^{2} \left(\lambda + \lambda \varepsilon \right) W + 2 c \dot{W} = \lambda \left[2 \gamma W f(t) - \gamma W^{3} \right]$$
 (2-18)

οù

Nous étudions dans les chapitres III et IV l'existence de solutions périodiques de l'équation (2-18) et la stabilité.

CHAPITRE III

EXISTENCE DE SOLUTION
DES EQUATIONS TEMPORELLES
DU MOUYEMENT.

1.- POSITION DU PROBLEME

R. FAURE a étudié la question des solutions périodiques de l'équation différentielle [15, 16]:

$$y'' + \lambda c y' + w^2 (\Lambda + \lambda E) y = \lambda [Q(Y) + Q(Y)]$$
où $Q(Y) = \sum_{n=-\infty}^{+\infty} \delta(Y) + Q(Y)$ est un polynôme à coefficients constants vérifiant $Q(Y) = 0$ et $Q'(Y) = 0$, λ un paramètre.

Que se passe-t-il dans le cas de l'équation différentielle :

$$y'' + \lambda c y' + \omega^2 (\lambda + \lambda \varepsilon) y = \lambda \left[Q(y) + y f(t) \right]$$
(3-1)

pour laquelle l'ensemble des fonctions e(t), Y(t) et des constantes λ , e, e satisfait les conditions e(t) suivantes :

1°) $\varrho(t)$, $\psi(t)$ sont toutes des fonctions périodiques de t , de même période T ; T et l'ensemble des fonctions sont indépendants de λ .

2°) f(t) = Y(t) + e(t) est la combinaison d'une percussion e(t) = T = S(t - mT) et d'une force périodique $Y(t) = \sum_{p=-\infty}^{+\infty} d_p \cos(p\omega t + z)$ avec $\sum_{k=-\infty}^{+\infty} |d_p| = K / \infty$.

3°) Q(y) est un polynôme à coefficients constants :

$$Q(y) = a_2 y^2 + \cdots + a_r y^r$$
; donc $Q(0) = Q'(0) = 0$

- 4°) C et & sont des constantes non nulles.
- 5°) $|\chi|$ est supposée petite et $\lambda \neq o$?

Des hypothèses supplémentaires (6°, 7°, 8°) portant sur la convergence des suites définissant la solution du problème seront précisées plus loin.

Existe-t-il une solution périodique non nulle?

Dans les paragraphes ci-dessus, après avoir rappelé la structure et quelques propriétés de l'ensemble $\mathcal{B}(\mathsf{T})$ des séries absolument convergentes de période T , nous montrons l'existence de solution de l'équation différentielle (3-1) dans cet ensemble.

11.- EXISTENCE D'UNE SOLUTION

II.1) Préliminaires [10, 23]

Nous donnons dans ce paragraphe un certain nombre de propriétés et de définitions dont nous aurons besoin pour montrer l'existence d'une solution de l'équation (3-1).

$$B(T) = \begin{cases} \varkappa(t) = \sum_{n=-\infty}^{+\infty} \varkappa_n e^{-n} \end{cases} \Rightarrow \left[\varkappa_n | \varkappa_{+\infty} | \varkappa$$

et $\mathbb{Z}_n = \mathbb{Z}_n$ désigne l'espace des séries absolument convergentes de période T .

On définit dans cet espace la norme par : $\underbrace{\text{si}}_{\mathbf{z}} \; \; \; \; \; \; \; \; \underbrace{\text{sl}}_{\mathbf{z}} \; \; \; \; \; \; \; \underbrace{\text{slors}}_{\mathbf{z}} \; : \; \; \; \underbrace{\text{ll}}_{\mathbf{z}} \; \; \underbrace{\text{ll}}_{\mathbf{z}} \; \underbrace$

II-1-1.- Structure et propriétés de l'espace
$$B(T)$$

a) $B(T)$ est isomorphe à $l^{\Lambda}(Z) = \{(R_m)_{m \in Z}, \geq |R_m| < +\infty\}$

Soit l'application:

 $T: l^{\Lambda}(Z) \longrightarrow B(T)$

telle que

 $T[(x_m)_{m \in Z}] = \underbrace{l^{1/2}}_{m = 1/2} R_m e$

T est linéaire et bijective.

Puisque $\mathcal{A}(\mathcal{Z})$ est un espace de Banach alors on peut en déduire que $\mathcal{B}(\mathcal{T})$ est aussi un espace de Banach.

b) L'application $\mathcal{B}(\tau)\longrightarrow \mathcal{C}'(\mathbb{R},\tau)$ muni de la norme "sup" est injective et de norme 1. $\mathcal{B}(\tau)$ est donc un espace fermé de $\mathcal{C}'(\mathbb{R},\tau)$ et la convergence dans $\mathcal{B}(\tau)$ implique la convergence

uniforme car :

$$\sup_{t \in \mathbb{R}} |\mathcal{R}(t)| \leq ||\mathcal{R}(t)||_{\mathcal{B}(T)}$$

on a l'égalité pour $\mathcal{R}(\mathfrak{t}) = \mathcal{Q}(\mathfrak{m} \mathfrak{s} \mathfrak{t})$.

c)
$$\ell^{1}(\mathbb{Z}) = \mathbb{E}_{\Lambda} \oplus \mathbb{E}_{\mathcal{L}}$$
 avec
$$\mathbb{E}_{\Lambda} = \left\{ (\mathcal{R}_{m})_{m \in \mathbb{Z}} \middle| \mathcal{R}_{m} = 0 \text{ si } |m| \neq \Lambda \right\}$$

$$\mathbb{E}_{\mathcal{L}} = \left\{ (\mathcal{R}_{m})_{m \in \mathbb{Z}} \middle| \mathcal{R}_{\Lambda} = \mathcal{R}_{\Lambda} = 0 \right\}$$

Grâce à l'isomorphisme T nous avons :

$$B(T) = B_{\lambda}(T) \oplus B_{\lambda}(T)$$

où
$$B_{1}(T) = \left\{ x_{-1} e^{-i\omega t} + x_{1} e^{i\omega t} / |x_{1}| + |x_{2}| < +\infty \right\}$$

$$B_{2}(T) = \left\{ \frac{\sum_{|P| \neq A} x_{1} e^{ip\omega t} / \frac{\sum_{|P| \neq A} |x_{P}| < +\infty}{|P| \neq A} \right\}$$

d) B(T) a une structure d'algèbre de Banach. Puisque la multiplication est associative dans $\ell'(\mathbb{Z})$ et distributive par rapport à l'addition, elle l'est aussi dans B(T).

Propriété - si $z(t) \in B(t)$, $y(t) \in B(t)$ alors : $||z(t) \cdot y(t)|| \le ||z(t)|| \cdot ||y(t)||$

Preuve

Il suffit de montrer cette propriété dans $\ell'(\mathbb{Z})$

Posons $\mathbf{Z} = (\mathbf{Z}_p)$; $\mathbf{Y} = (\mathbf{Y}_p)$; $\mathbf{\hat{J}} = (\mathbf{\hat{J}}_p)$, \mathbf{Z} , \mathbf{Y} , $\mathbf{\hat{J}}$ sont des éléments de $\mathbf{\hat{J}}^{\prime}(\mathbf{Z})$. On définit la convolution des suites de la manière suivante.

$$3 = 12 + y$$
 \Rightarrow $\forall n \in \mathbb{Z}$, $3_n = \sum_{p=-\infty}^{+\infty} 2^p y_{p-n}$

donc :

$$||3|| = \frac{100}{N = 100} |3_{n}| = \frac{100}{N = 100} \frac{100}{N = 100} |2p |3_{p-n}|$$

$$\leq \frac{100}{N = 100} |2p| |y_{p-n}| = \frac{100}{N = 100} |2p| |3_{p-n}|$$

or

Soit alors
$$x \in \ell^1(\mathbb{Z})$$
, $y \in \ell^1(\mathbb{Z})$
 $\|x * y\| \leq \|x\| \cdot \|y\|$

et puisque

$$T(x*y) = T(x) \times T(y)$$

On a alors pour $x(t) \in B(T)$ et $y(t) \in B(T)$ $||x(t) \cdot y(t)|| \leq ||x(t)|| \cdot ||y(t)||$

et si
$$n \in \mathbb{Z}$$
 , on a: $||(x(t))^n|| \leq ||x(t)||^m$

II.1.2. - Mesure de Dirac - Distribution.

a) Nous définissons la percussion par une mesure de Dirac $S(t\cdot nT)$ agissant pour tous les instants t=nT, m prenant toutes les valeurs entières négatives et positives ou nulles.

La force extérieure est représentée par

$$f(t) = T \stackrel{+\infty}{\leq} S(t, mT) + \stackrel{+\infty}{\leq} \chi_{p \cos(pwf+z)}$$

On montre (cf. L. SCHWARTZ [23]) que la série e converge dans $\mathcal{D}'(\mathbb{R})$ vers la distribution périodique $\mathcal{L}(f.\sqrt{1})$ comportant une masse en chaque point (instant) d'abscisse multiple entier de

Soit: $\frac{+\infty}{m} = \frac{e^{ikwx}}{m = -\infty} S(x-mT)$

b) Soit $\mathcal U$ une fonction périodique et S étant la distribution de Dirac, alors :

$$< u \delta, g > = < \delta, ug > = u(0)g(0)$$

done M = M(0.)

Nous définissons le produit $\mathcal{U}(\mathcal{L}, \mathsf{mT})$ par :

car M est périodique de période T.

II.1.3.- Equations de synchronisation

Nous allons chercher une solution de l'équation (3-1) sous la forme

vérifiant la condition de synchronisation :

$$y_{o}f(t)-cy_{o}'-\varepsilon w^{2}y_{o}+Q(y_{o}) \in B_{2}(T)$$
 (3-2)

et où $hbar A^{*}$ désigne le conjugué du nombre complexe $hbar A^{*}$ Nous posons par la suite :

$$B = A^*$$

Pour satisfaire la condition de synchronisation (3-2), il suffit d'annuler les coefficients de et et dans le développement en série de Fourier de (Y_0, Y_0, t) . En effet, nous remplaçons la distribution périodique e(t) = T = e(t) au sens des distributions et la force périodique e(t) = T = e(t) au sens des distributions et la force périodique e(t) = T = e(t) au sens des distributions et la force périodique e(t) = T = e(t) au sens des distributions et la force périodique e(t) = T = e(t) au sens des distributions et la force périodique e(t) = T = e(t) au sens des distributions et la force périodique e(t) = T = e(t) au sens des distributions et la force périodique e(t) = T = e(t) au sens des distributions et la force périodique e(t) = T = e(t) au sens des distributions et la force périodique e(t) = T = e(t) au sens des distributions et la force périodique e(t) = T = e(t) au sens des distributions et la force périodique e(t) = T = e(t) au sens des distributions et la force périodique e(t) = T = e(t) au sens des distributions et la force périodique e(t) = T = e(t) au sens des distributions et la force périodique e(t) = T = e(t) au sens des distributions et la force périodique e(t) = T = e(t) au sens des distributions et la force périodique e(t) = T = e(t) au sens des distributions et la force périodique e(t) = T = e(t) au sens des distributions et la force périodique e(t) = T = e(t) au sens des distributions et la force périodique e(t) = T = e(t) au sens des distributions et la force périodique e(t) = e(t) au sens des distributions et la force périodique e(t) = e(t) au sens des distributions et la force périodique e(t) = e(t) au sens des distributions et la force périodique e(t) = e(t) au sens des distributions et la force périodique e(t) = e(t) au sens des distributions et la force périodique e(t) = e(t) au sens des distributions et la force periodique e(t) = e(t) au sens des distributions et la force periodique e(t) = e(t) au sens des distributions et la fo

$$Y(y_{0}, y_{0}, t) = Y_{0}e(t) + y_{0}Y(t) - Cy_{0}^{2} - Ew^{2}y_{0} + Q(y_{0})$$

$$= (A+B) \stackrel{tw}{\underset{l=-\infty}{=}} e^{ipwt} + cost \stackrel{tw}{\underset{p=-\infty}{=}} x_{p}(Ae^{-iwt} + be^{iwt})$$

$$-C(-iwAe^{-iwt} + iwBe^{iwt}) - Ew^{2}(Ae^{-iwt} + be^{iwt})$$

$$+ \sum_{i=2}^{\infty} a_{i}(Ae^{-iwt} + Be^{iwt})^{i}$$

car
$$Y_0 S(t-nT) = Y_0(nT) S(t-nT) = Y_0(0) S(t-nT)$$

$$y_e(t) = y_e(e)T = S(t-pT) = y_e(e) = eipwt$$

$$\Psi(y_0, y_0', t) = (A+B)e^{-i\omega t} + (A+B)e^{i\omega t} + \chi_0 \operatorname{cont}(Ae^{-i\omega t} + Be^{i\omega t})$$

$$+ \alpha_{o} \cot (Ae + Be)$$

$$+ \alpha_{e} \cot A e^{i\omega t} + \alpha_{e} \cot B e^{i\omega t}$$

$$+ (A + B) = (A \cot A) \alpha_{e} e^{i(p-1)\omega t}$$

$$+ (A + B) = (A \cot A) \alpha_{e} e^{i(p-1)\omega t}$$

+
$$=\frac{1}{p \pm e_1 - 2}$$
 (Basz) $x_p \in i(p+1)evt$
+ $=\frac{1}{p \pm e_1 - 2}$ (Basz) $x_p \in i(p+1)evt$
 $=\frac{1}{p \pm e_1 - 2}$ $=\frac{1}{2}evt$

$$+ic\omega A e^{-i\omega t} -ic\omega B e^{i\omega t} - \varepsilon \omega^{2} A e^{i\omega t}$$

$$+ic\omega A e^{-i\omega t} -ic\omega B e^{i\omega t} - \varepsilon \omega^{2} A e^{i\omega t}$$

$$-\varepsilon \omega^{2} B e^{i\omega t} + \sum_{J=2}^{r} G_{J} \left[\sum_{p=c}^{s} e^{p} (A e^{i\omega t})^{p} / (B e^{i\omega t})^{p} \right]$$

$$C_{J}^{r} = \frac{j!}{(J-p)! p!} .$$

$$d = 2, \dots, r$$
, l'expression

Ces équations (3-3) s'appellent équations de synchronisation.

On suppose résolu le système numérique (3-3) et soit :

$$R = \overline{R}$$
; $\theta = \overline{\theta}$

le système de solutions non identiquement nulles.

 $\mathcal{Y}_{o} = \overline{R} \cos \left(\omega^{\dagger} + \overline{\Psi} \right)$ est appelée solution de synchronisation \mathcal{X}_{o} , \mathcal{X}_{2} , \mathcal{X}_{2} sont les coefficients intervenant dans l'expression de la force périodique :

$$\Psi(t) = \bigoplus_{p=-\infty}^{+\infty} d_p \omega_s \left(p \omega t + 7 \right)$$

II.2) Théorème

Si la solution de <u>synchronisation</u> <u>Yo</u> existe et est non nulle,

l'équation différentielle (3-1) satisfaisant les hypothèses (1°, 2°, 3°, 4°,

5°, 6°, 7°, 8°) admet en général une solution périodique appartenant à l'espace
des séries périodiques absolument convergentes :

$$B(T) = \left\{ x(t) = \sum_{n=-\infty}^{+\infty} x_n \in \left\{ \sum_{n=-\infty}^{+\infty} |x_n| \leq t \leq t \leq x_n = x_n \right\} \right\}$$

pourvu que \(\lambda \) soit petite.

PREUVE DU THEOREME

II.2.1.- Suites récurrentes
$$(M_{1,n}) \in B_{1}(\tau)$$
 et $(M_{2,n}) \in B_{2}(\tau)$

Pour démontrer le théorème, nous allons définir deux suites récurrentes $(U_{1,n})$ et $(U_{2,n})$ et montrer que toute solution \mathcal{L} de (3-1) est la somme de \mathcal{L}_{0} et des limites, si elles existent, de ces suites; c'est-à-dire :

Posons pour cela : $y=y_c+u$ où y_v est la solution de synchronisation déterminée et $u\in B(\tau)$. L'équation :

$$y'' + \lambda c y' + \omega^2 (\lambda + \lambda \varepsilon) y = \lambda \left[y J(t) + Q(y) \right]$$

$$J(t) = T \stackrel{+\infty}{\underset{n=-\infty}{=}} S(t-nT) + \stackrel{+\infty}{\underset{p=-\infty}{=}} d_p cos(p\omega t+r)$$

et

devient alors :

$$u'' + \lambda c u' + \alpha c^{2} (1 + \lambda \varepsilon) u$$

$$= \lambda \left[\alpha f(t) + \varphi(y_{0} + u) - \varphi(y_{0}) \right]$$

ou d'après le développement de Taylor du polynôme &(4) au voisinage de 4 on a :

$$\mathcal{M}'' + \lambda \mathcal{C} \mathcal{M}' + \mathcal{W}^{2}(1 + \lambda \mathcal{E}) \mathcal{M}$$

$$= \lambda \left[\mathcal{M}(t) + \varphi'(y_{0}) \mathcal{M} + \frac{1}{2} \varphi''(y_{0}) \mathcal{M}^{2} + \frac{1}{3!} \varphi''(y_{0}) \mathcal{M}^{3} + \dots + \frac{1}{r!} \varphi''(y_{0}) \mathcal{M}^{r} \right]$$

$$= Puisque \mathcal{M} \in \mathcal{B}(T) = \mathcal{B}_{1}(T) \bigoplus \mathcal{B}_{2}(T) \qquad posons:$$

$$\mathcal{M} = \mathcal{M}_{1} + \mathcal{M}_{2} \qquad \text{avec } \mathcal{M}_{1} \in \mathcal{B}_{1}(T)$$

$$\mathcal{M}_{2} \in \mathcal{B}_{2}(T)$$

En remplaçant dans l'équation différentielle ci-dessus on obtient :

$$U''_{1} + \lambda C u'_{1} + \omega^{2}(1+\lambda E)u_{1} + u''_{1} + \lambda C u'_{2} + \omega^{2}(1+\lambda E)u_{2}$$

$$= \lambda \left[(u'_{1}+u_{1})f(t) + \varphi'(y_{0})(u_{1}+u_{2}) + \frac{1}{2} \varphi'(y_{0})(u'_{1}+u'_{2})^{2} + \frac{1}{3!} \varphi'''(y_{0})(u'_{1}+u'_{2})^{3} + \cdots + \frac{1}{r!} \varphi^{(r)}(y_{0})(u'_{1}+u'_{2})^{r} \right]^{(3-r)}$$

Projetons les deux membres de (3-7) suivant $\mathcal{R}_1(\mathcal{T})$ et $\mathcal{R}_2(\mathcal{T})$. On obtient alors :

+ 2 9"(2)(4,102)2 + ... + 2 9"(2)(4,102)](3-8)

= > Pe [(4, +42)4(2) + \$(42)(44, +46) 112 + ACHA + 62 (1+AE) Na

+ 2 9 (42) (4,+142) 2 + -- + 2 9 (4) (44+1/2) 8 7 (3-9)

Nous définissons les suites récurrentes $(\mathcal{U}_{l,n})$ et $(\mathcal{U}_{l,n})$ de la

manière suivante:

- 2 4/20/(4, 1, 1/2, 1, 1/2, 1, 1) 2 + - + 2 (1, 1/2) (24) (24) (24) (24) (24) (24) > P. [q'(4) 14,n] = > P.[112,n.18(1) + Q'(4)/18,n.1 Min + Actin + (1) (1+ AE) -(1,1) - A P. [Un, 8(t)]

et

$$\begin{aligned} &\mathcal{U}_{2,n}^{"}+\lambda c\,\mathcal{U}_{2,n}^{'}+\alpha c^{2}(1+\lambda c)\,\mathcal{U}_{2,n}\\ &=\lambda\,P_{2}\left[(\mathcal{U}_{1,n-1}^{'}+\mathcal{U}_{2,n-1}^{'})f(t)+\phi'(\mathcal{Y}_{2})(\mathcal{U}_{1,n-1}^{'}+\mathcal{U}_{2,n-1}^{'})\right.\\ &+\frac{1}{2}\,\phi''(\mathcal{Y}_{2})(\mathcal{U}_{1,n-1}^{'}+\mathcal{U}_{2,n-1}^{'})^{\frac{2}{4}}\cdots+\frac{1}{r!}\,\phi''(\mathcal{Y}_{2})(\mathcal{U}_{1,n-1}^{'}+\mathcal{U}_{2,n-1}^{'})^{r} \end{aligned}$$

et

(11-1)

Les équations (3-10) et (3-11) définissent une transformation ${\cal S}$ telle que :

$$(M_{gn}, M_{2,n}) = S'(M_{gn-1}, M_{2,n-1})$$
où $M_{gn}, M_{2,n}, M_{g,n-1}, M_{2,n-2} \in B(T)$

II-2-2.- Majoration de $||\mathcal{M}, n||$ et $||\mathcal{M}_{l}, n||$ Puisque $\mathcal{M}_{l,n} \in \mathcal{B}_{l}(7)$, il existe $\mathcal{A}_{l,n}$ et $\mathcal{X}_{l,n}$ tels que :

$$M_{1,n} = X_{1,n} e^{-i\omega t} + X_{1,n} e^{i\omega t}$$

Posons :

$$P_{1}\left[u_{2,n-1} f(t)\right] = P_{1,n-1} e^{i\omega t} + P_{1,n-1} e^{i\omega t} = P_{n-1}$$

et

$$P_{1}\left[\varphi'(y_{0})u_{2,n-1}+\frac{1}{2}\varphi''(y_{0})(U_{1,n-1}+U_{2,n-1})^{2}\right]$$

$$+ - - + \frac{1}{r!} \varphi^{(r)}(y_0) (U_{1,n-1} + U_{2,n-1})^r$$

D'après la propriété U.S = U(0)S , on a :

$$P_1\left[U_{1,n}e(t)\right] = (x_{1,n} + x_{1,n})\left(e^{-i\omega t} + e^{i\omega t}\right)$$

et puisque :

$$Q(t) = \sum_{p=-\infty}^{+\infty} X_p \operatorname{Cos}(p\omega t + \tau) ; \operatorname{en} a :$$

$$U_{1,n} P(t) = \left(X_{1,n} e^{-i\omega t} + X_{1,n} e^{-i\omega t} \right) \sum_{p=-\infty}^{+\infty} X_p e^{-i(p\omega t + \tau)} - i(p\omega t + \tau) + e^{-i(p\omega t + \tau)} e^{-i(p\omega t + \tau)}$$

$$Q(t) = \left[\frac{1}{2} X_2 X_{1,n} e^{-i\tau} + X_0 X_{1,n} \operatorname{Cos} \tau + \frac{1}{2} X_2 X_{1,n} e^{-i\tau} \right] e^{-i\omega t}$$

$$+ \left[\frac{1}{2} X_2 X_{1,n} e^{-i\tau} + X_0 X_{1,n} \operatorname{Cos} \tau + \frac{1}{2} X_2 X_{1,n} e^{-i\tau} \right] e^{-i\omega t}$$
si
$$Q'(y_0) = \sum_{p=-\infty}^{+\infty} X_p e^{-ip\omega t} e^{-i\tau} e^{-i\tau$$

donc

$$\mathbb{P}\left[\mathcal{U}_{1,n}\varphi'(y_{0})\right] = \left(\mathcal{X}_{2}\mathcal{X}_{1,n} + \mathcal{X}_{2}\mathcal{X}_{1,n}\right)\mathcal{C}^{i\omega t} + \left(\mathcal{X}_{2}\mathcal{X}_{1,n} + \mathcal{X}_{2}\mathcal{X}_{1,n}\right)\mathcal{C}^{i\omega t}$$

Un, n \(\text{0'(y0)} = \frac{+\infty}{2} \gamma_p \(\text{ciput}\left(\alpha_{1,n} \end{e}^{i\text{int}} + \alpha_{1,n} e^{i\text{int}}\right)

En remplaçant dans (3-10) on obtient :

$$\begin{bmatrix} (\lambda \varepsilon \omega^2 - \lambda - i\lambda \varepsilon \omega - \lambda N_0 \cos z) X_{1,n} \\
- (\lambda + \frac{1}{2} X_2 \lambda e^{iz} + \frac{1}{2} \lambda X_2 e^{iz}) X_{1,n} \\
- \lambda (\lambda_0 X_{1,n} + \lambda_2 X_{1,n}) \end{bmatrix} e^{-i\omega t} \\
+ \left[- (\lambda + \frac{1}{2} \lambda X_2 e^{iz} + \frac{1}{2} \lambda X_2 e^{iz}) X_{1,n} \\
+ (\lambda \varepsilon \omega^2 - \lambda + i\lambda \varepsilon \omega - X_0 \lambda \cos z) X_{1,n} \\
- \lambda (\lambda_0 X_{1,n} + \lambda_2 X_{1,n}) \end{bmatrix} e^{-i\omega t} \\
= (\lambda_{1,n-1}^2 + \lambda_{1,n-1}^2) e^{-i\omega t} + (\lambda_{1,n-1}^2 + \lambda_{1,n-1}^2) e^{-i\omega t} \\
= (\lambda_{1,n-1}^2 + \lambda_{1,n-1}^2) e^{-i\omega t} + (\lambda_{1,n-1}^2 + \lambda_{1,n-1}^2) e^{-i\omega t} \\
= (\lambda_{1,n-1}^2 + \lambda_{1,n-1}^2) e^{-iz} + (\lambda_{1,n-1}^2 + \lambda_{1,n-1}^2) e^{-iz} \\
= (\lambda_{1,n-1}^2 + \lambda_{1,n-1}^2) e^{-iz} + (\lambda_{1,n-1}^2 + \lambda_{1,n-1}^2) e^{-iz} \\
= (\lambda_{1,n-1}^2 + \lambda_{1,n-1}^2) e^{-iz} + (\lambda_{1,n-1}^2 + \lambda_{1,n-1}^2) e^{-iz} \\
= (\lambda_{1,n-1}^2 + \lambda_{1,n-1}^2) e^{-iz} + (\lambda_{1,n-1}^2 + \lambda_{1,n-1}^2) e^{-iz} \\
= (\lambda_{1,n-1}^2 + \lambda_{1,n-1}^2) e^{-iz} + (\lambda_{1,n-1}^2 + \lambda_{1,n-1}^2) e^{-iz} \\
= (\lambda_{1,n-1}^2 + \lambda_{1,n-1}^2) e^{-iz} + (\lambda_{1,n-1}^2 + \lambda_{1,n-1}^2) e^{-iz} \\
= (\lambda_{1,n-1}^2 + \lambda_{1,n-1}^2) e^{-iz} + (\lambda_{1,n-1}^2 + \lambda_{1,n-1}^2) e^{-iz} \\
= (\lambda_{1,n-1}^2 + \lambda_{1,n-1}^2) e^{-iz} + (\lambda_{1,n-1}^2 + \lambda_{1,n-1}^2) e^{-iz} \\
= (\lambda_{1,n-1}^2 + \lambda_{1,n-1}^2) e^{-iz} + (\lambda_{1,n-1}^2 + \lambda_{1,n-1}^2) e^{-iz} \\
= (\lambda_{1,n-1}^2 + \lambda_{1,n-1}^2) e^{-iz} + (\lambda_{1,n-1}^2 + \lambda_{1,n-1}^2) e^{-iz} \\
= (\lambda_{1,n-1}^2 + \lambda_{1,n-1}^2) e^{-iz} + (\lambda_{1,n-1}^2 + \lambda_{1,n-1}^2) e^{-iz} \\
= (\lambda_{1,n-1}^2 + \lambda_{1,n-1}^2) e^{-iz} + (\lambda_{1,n-1}^2 + \lambda_{1,n-1}^2) e^{-iz} \\
= (\lambda_{1,n-1}^2 + \lambda_{1,n-1}^2) e^{-iz} + (\lambda_{1,n-1}^2 + \lambda_{1,n-1}^2) e^{-iz} \\
= (\lambda_{1,n-1}^2 + \lambda_{1,n-1}^2) e^{-iz} + (\lambda_{1,n-1}^2 + \lambda_{1,n-1}^2) e^{-iz} \\
= (\lambda_{1,n-1}^2 + \lambda_{1,n-1}^2) e^{-iz} + (\lambda_{1,n-1}^2 + \lambda_{1,n-1}^2) e^{-iz} \\
= (\lambda_{1,n-1}^2 + \lambda_{1,n-1}^2) e^{-iz} + (\lambda_{1,n-1}^2 + \lambda_{1,n-1}^2) e^{-iz} \\
= (\lambda_{1,n-1}^2 + \lambda_{1,n-1}^2 + \lambda_{1,n-1}^2) e^{-iz} + (\lambda_{1,n-1}^2 + \lambda_{1,n-1}^2) e^{-iz} \\
= (\lambda_{1,n-1}^2 + \lambda_{1,n-1}^2 + \lambda_{1,n-1}^2) e^{-iz} + (\lambda_{1,n-1}^2 + \lambda_{1,n-1}^2) e^{-iz} \\
= (\lambda_{1,n-1}^2 + \lambda_{1,n-1}^2 + \lambda_{1,n-1}^2) e^{-iz} + (\lambda_{1,n-1}^2 + \lambda_{1,n-1}^2) e^{-iz} \\
= (\lambda_{1,n-1}^2 + \lambda_{1,n-1}^2 + \lambda_{1,n-1}$$

Posons:

Le système (3-12) devient alors :

$$3_{1}X_{1,n} - 3_{2}X_{1,n} = Q_{-1,n-1} + Y_{1,n-1}$$

$$-3_{3}X_{1,n} + 3_{1}X_{1,n} = Q_{1,n-1} + Y_{1,n-1}$$
(3-12a)

où 3, désigne le nombre complexe conjugué de 3, ...
Ce système est de Cramer si son déterminant :

$$K'=13/7-323_3$$
 est différent de zéro.

Dans ces conditions on a :

$$\mathcal{A}_{1,n} = \frac{1}{K!} \left[\overline{3}_{1} \mathcal{L}_{1,n-1} + 3_{2} \mathcal{L}_{1,n-1} + 3_{3} \mathcal{L}_{1,n-1} + 3_{2} \mathcal{L}_{1,n-1} \right]$$

$$\mathcal{A}_{1,n} = \frac{1}{k!} \left[3_{2} \mathcal{L}_{1,n-1} + 3_{1} \mathcal{L}_{1,n-1} + 3_{3} \mathcal{L}_{1,n-1} + 3_{3} \mathcal{L}_{1,n-1} + 3_{3} \mathcal{L}_{1,n-1} \right]$$

donc:

$$||U_{1,n}|| = |X_{1,n}| + |X_{1,n}| \le \frac{1}{|K'|} \left[|3_{1}| | \mathcal{L}_{1,n-1}| + |3_{2}| | \mathcal{L}_{1,n-1}| + |3_{3}| | \mathcal{L}_{1,n-1}|$$

soit :

$$||U_{1,n}|| \le \frac{1}{|K'|} \left[(|3_1| + |3_3|) | \mathcal{L}_{1,n-1}| + (|3_1| + |3_2|) | \mathcal{L}_{1,n-1}| + (|3_1| + |3_2|) | \mathcal{L}_{1,n-1}| + (|3_1| + |3_2|) | \mathcal{L}_{1,n-1}| \right]$$

et finalement on a :

$$\| \mathcal{U}_{1,n} \| \le \frac{(13,1+13,1+13,1)}{1 \, K' \, l} \left(\| \mathcal{Y}_{n-1} \| + \| \mathcal{Y}_{n-1} \| \right)$$

Posons:

$$K_1 = \frac{1311 + 1321 + 1331}{1 K'1}$$

ce qui entraîne :

$$\|U_{n,n}\| \leq K_{n} \left[\|\mathcal{L}_{n-1}\| + \|\mathcal{L}_{n-1}\| \right]$$
 (3-13)

$$\begin{aligned} \| \mathcal{Q}_{n-1} \| &= \| P_1 \left[\mathcal{U}_{2,n-1} \left(\mathcal{C}(t) + \mathcal{Q}(t) \right) \right] \\ &\leq | \mathcal{U}_{2,n-1} (\circ) | \| P_1 \left[\mathcal{C}(t) \right] \| + \| P_1 \left[\mathcal{U}_{2,n-1} \mathcal{Q}(t) \right] \| \\ &\leq 2 \| \mathcal{U}_{2,n-1} \| + K \| \mathcal{U}_{2,n-1} \| \\ &\leq 2 \| \mathcal{U}_{2,n-1} \| + K \| \mathcal{U}_{2,n-1} \| \\ &\leq 2 \| \mathcal{U}_{2,n-1} \| + K \| \mathcal{U}_{2,n-1} \| \\ &\leq 2 \| \mathcal{U}_{2,n-1} \| + K \| \mathcal{U}_{2,n-1} \| \\ &\leq 2 \| \mathcal{U}_{2,n-1} \| + K \| \mathcal{U}_{2,n-1} \| \\ &\leq 2 \| \mathcal{U}_{2,n-1} \| + K \| \mathcal{U}_{2,n-1} \| \\ &\leq 2 \| \mathcal{U}_{2,n-1} \| + K \| \mathcal{U}_{2,n-1} \| \\ &\leq 2 \| \mathcal{U}_{2,n-1} \| + K \| \mathcal{U}_{2,n-1} \| \\ &\leq 2 \| \mathcal{U}_{2,n-1} \| + K \| \mathcal{U}_{2,n-1} \| \\ &\leq 2 \| \mathcal{U}_{2,n-1} \| + K \| \mathcal{U}_{2,n-1} \| \\ &\leq 2 \| \mathcal{U}_{2,n-1} \| + K \| \mathcal{U}_{2,n-1} \| \\ &\leq 2 \| \mathcal{U}_{2,n-1} \| + K \| \mathcal{U}_{2,n-1} \| \\ &\leq 2 \| \mathcal{U}_{2,n-1} \| + K \| \mathcal{U}_{2,n-1} \| \\ &\leq 2 \| \mathcal{U}_{2,n-1} \| + K \| \mathcal{U}_{2,n-1} \| \\ &\leq 2 \| \mathcal{U}_{2,n-1} \| + K \| \mathcal{U}_{2,n-1} \| \\ &\leq 2 \| \mathcal{U}_{2,n-1} \| + K \| \mathcal{U}_{2,n-1} \| \\ &\leq 2 \| \mathcal{U}_{2,n-1} \| + K \| \mathcal{U}_{2,n-1} \| \\ &\leq 2 \| \mathcal{U}_{2,n-1} \| + K \| \mathcal{U}_{2,n-1} \| \\ &\leq 2 \| \mathcal{U}_{2,n-1} \| + K \| \mathcal{U}_{2,n-1} \| \\ &\leq 2 \| \mathcal{U}_{2,n-1} \| + K \| \mathcal{U}_{2,n-1} \| \\ &\leq 2 \| \mathcal{U}_{2,n-1} \| + K \| \mathcal{U}_{2,n-1} \| \\ &\leq 2 \| \mathcal{U}_{2,n-1} \| + K \| \mathcal{U}_{2,n-1} \| \\ &\leq 2 \| \mathcal{U}_{2,n-1} \| + K \| \mathcal{U}_{2,n-1} \| \\ &\leq 2 \| \mathcal{U}_{2,n-1} \| + K \| \mathcal{U}_{2,n-1} \| \\ &\leq 2 \| \mathcal{U}_{2,n-1} \| + K \| \mathcal{U}_{2,n-1} \| \\ &\leq 2 \| \mathcal{U}_{2,n-1} \| + K \| \mathcal{U}_{2,n-1} \| \\ &\leq 2 \| \mathcal{U}_{2,n-1} \| + K \| \mathcal{U}_{2,n-1} \| \\ &\leq 2 \| \mathcal{U}_{2,n-1} \| + K \| \mathcal{U}_{2,n-1} \| \\ &\leq 2 \| \mathcal{U}_{2,n-1} \| + K \| \mathcal{U}_{2,n-1} \| \\ &\leq 2 \| \mathcal{U}_{2,n-1} \| + K \| \mathcal{U}_{2,n-1} \| \\ &\leq 2 \| \mathcal{U}_{2,n-1} \| + K \| \mathcal{U}_{2,n-1} \| \\ &\leq 2 \| \mathcal{U}_{2,n-1} \| + K \| \mathcal{U}_{2,n-1} \| \\ &\leq 2 \| \mathcal{U}_{2,n-1} \| + K \| \mathcal{U}_{2,n-1} \| \\ &\leq 2 \| \mathcal{U}_{2,n-1} \| + K \| \mathcal{U}_{2,n-1} \| \\ &\leq 2 \| \mathcal{U}_{2,n-1} \| + K \| \mathcal{U}_{2,n-1} \| \\ &\leq 2 \| \mathcal{U}_{2,n-1} \| + K \| \mathcal{U}_{2,n-1} \| \\ &\leq 2 \| \mathcal{U}_{2,n-1} \| + K \| \mathcal{U}_{2,n-1} \| \\ &\leq 2 \| \mathcal{U}_{2,n-1} \| + K \| \mathcal{U}_{2,n-1} \| \\ &\leq 2 \| \mathcal{U}_{2,n-1} \| + K \| \mathcal{U}_{2,n-1} \| \\ &\leq 2 \| \mathcal{U}_{2,n-1} \| + K \| \mathcal{U}_{2,n-1} \| \\ &\leq 2 \| \mathcal{U}_{2,n-1} \| + K \| \mathcal{U}_{2,n-1} \| \\ &\leq 2 \| \mathcal{U}_{2,n-1} \| + K \| \mathcal{U}_{2,n-1} \|$$

donc

$$\| \mathcal{L}_{n-1} \| \leq (2+K) \| \mathcal{M}_{2, n-1} \|$$

et

$$\begin{split} \| \mathcal{Y}_{n-1} \| &= \| P_1 \left[\varphi'(y_0) \mathcal{U}_{2,n-1} + \frac{1}{2} \varphi''(y_0) (\mathcal{U}_{1,n-1} \mathcal{U}_{2,n-1})^2 \right. \\ &+ \cdots + \frac{1}{r!} \varphi''(y_0) (\mathcal{U}_{1,n-1} + \mathcal{U}_{2,n-1})^r \right] \| \\ &\leq \left. \left. \left. \left. \left. \left. \left. \left. \left(1 \mathcal{Y}_{0} \right) \right) \right\| \mathcal{U}_{2,n-1} \right\| + \frac{1}{2} \left. \left. \left. \left. \left. \left. \left(1 \mathcal{Y}_{0} \right) \right) \right\| \mathcal{U}_{1,n-1} + \mathcal{U}_{2,n-1} \right\|^2 \right. \right. \\ &+ \cdots + \frac{1}{r!} \left. \left. \left. \left. \left. \left. \left. \left(1 \mathcal{Y}_{0} \right) \right| \right\| \mathcal{U}_{1,n-1} + \mathcal{U}_{2,n-1} \right\|^2 \right. \right. \end{split}$$

où $Q_{\lambda}(v_{\lambda})$ désigne le polynôme à coefficients positifs constants :

3-13) devient alors:

$$||\mathcal{U}_{1,n}|| \leq K_{1} \left[(2+K+Q'(19e1)) ||\mathcal{U}_{2,n-1}|| + \frac{1}{2} Q''(19e1) ||\mathcal{U}_{1,n-1} + \mathcal{U}_{2,n-1}||^{2} + \cdots + \frac{1}{r!} Q_{1}^{(r)}(19e1) ||\mathcal{U}_{1,n-1} + \mathcal{U}_{2,n-1}||^{r} \right]$$

$$(3-14)$$

Donc si $\|\mathcal{M}_{l,\, m_{-l}}\|$ \in et $\|\mathcal{M}_{l,\, m_{-l}}\|$ \in et $\|\mathcal{M}_{l,\, m_{-l}}\|$ \in et \mathcal{M} étant deux nombres positifs, alors :

$$||U_{1,n}|| \leq K_{n} \left[(2 + K + Q'(150)) m + \frac{1}{2} Q''(150) (\ell + m)^{2} + \cdots + \frac{1}{r_{1}} |Q^{(r)}(150)| (\ell + m)^{r_{1}} \right]$$
(3-15)

Nous poserons dans la suite :

$$F(\ell,m) = K_1 \left[(2 + K + \ell_1'(1y_01))m + \frac{1}{2} \ell_1''(1y_01)(\ell+m)^2 + \cdots + \frac{1}{r!} \ell_1''(1y_01)(\ell+m)^r \right]$$

b) Majoration de $||\mathcal{U}_{2,n}||$ Puisque $\mathcal{U}_{2,n} \in \mathcal{B}_{2}(\mathcal{T})$, il existe \mathcal{X}_{2np} tel que :

$$\begin{aligned} \mathcal{M}_{2,n} &= \frac{+\infty}{|P|^{\frac{1}{2}}} \, \mathcal{X}_{2np} \, \mathcal{C}^{ipwt} \\ & (\mathcal{M}_{1,n-1} + \mathcal{M}_{2,n-1}) \mathcal{C}(t) = (\mathcal{M}_{1,n-1} + \mathcal{M}_{2,n-1}) \underbrace{|P|^{\frac{1}{2}}}_{|P|^{\frac{1}{2}}} \mathcal{C}^{ipwt} \\ &= P_{n-1} \underbrace{|P|^{\frac{1}{2}}}_{|P|^{\frac{1}{2}}} \mathcal{C}^{iwpt} \end{aligned}$$

avec

$$P_{n-1} = U_{1,n-1}(0) + U_{2,n-1}(0)$$

un nombre complexe

Posons :

$$P_{2}\left[(\mathcal{U}_{n,n-1} + \mathcal{U}_{2,n-1})\mathcal{Q}(t) + \mathcal{Q}'(\mathcal{Y}_{0})(\mathcal{U}_{n,n-1} + \mathcal{U}_{2,n-1})\right] \\ + \frac{1}{2}\mathcal{Q}''(\mathcal{Y}_{0})(\mathcal{U}_{n,n-1} + \mathcal{U}_{2,n-1})^{2} + \cdots + \frac{1}{r_{1}}\mathcal{Q}'(\mathcal{Y}_{0})(\mathcal{U}_{n,n-1} + \mathcal{U}_{2,n-1})^{2} \\ = \mathcal{Q}_{n-1} = \overline{\mathcal{Q}_{n-1}}\mathcal{Q}_{n-1,p} \mathcal{Q}^{(p)}(\mathcal{U}_{n-1} + \mathcal{U}_{2,n-1})^{2}$$

En remplaçant dans (3-11) nous obtenons les coefficients $\mathcal{A}_{2n\rho}$ de $\mathcal{M}_{2,n}$ sous la forme

$$\mathcal{A}_{2np} = \lambda \mathcal{Z}_p \left[\mathcal{P}_{n-1} + \mathcal{Q}_{n-1,p} \right]$$
 (3-16)

οù

$$T_p = \left[-2^2 - p^2 \omega^2 + p \lambda c i \omega \right]^{-1}, |p| \neq 1$$

$$\Omega^2 = \omega^2 (1 + \lambda \epsilon)$$

donc

Mais pour |A| suffisemment petite nous avons $\forall A_0 > O$, $|B_p|$ équivalente à $A/(P^2I)\omega^2$ pour |A| A_0 . Donc îl existe S_1 tel que

$$S = \frac{1}{|P|+1} |P_p| \le S_1$$
 pour $|A| \le A_0$. Majorons $|P_p|$; on a: $|P_p| \le \frac{1}{|P|+1} |P_p| \le S_1$ pour $|A| \le S_1$ p

Donc de (3-16) on a :

$$||\mathcal{U}_{2,n}|| \leq \left[S_{1} |P_{n-1}| + D ||\mathcal{Q}_{n-1}|| \right] ||A||$$
 (3-37)

Or nous avons :

$$|P_{n-1}| = |U_{1,n-1}(e)| + |U_{2,n-1}(e)|$$

 $\leq ||U_{1,n-1}|| + ||-U_{2,n-1}||$

$$\begin{split} \| \mathcal{Q}_{n-1} \| &= \| P_2 \Big[(\mathcal{U}_{n,n-1} + \mathcal{U}_{2,n-1}) \mathcal{Q}(t) + \mathcal{Q}(\mathcal{Y}_{0}) (\mathcal{U}_{n,n-1} + \mathcal{U}_{2,n-1}) \\ &+ \frac{1}{2} \mathcal{Q}'(\mathcal{Y}_{0}) (\mathcal{U}_{n,n-1} + \mathcal{U}_{2,n-1})^{\frac{2}{4}} + \frac{1}{r!} \mathcal{Q}'(\mathcal{Y}_{0}) (\mathcal{U}_{n,n-1} + \mathcal{U}_{2,n-1}) \Big] \| \\ &\leq (K + \mathcal{Q}'(\mathcal{Y}_{0})) \Big(\| \mathcal{U}_{n,n-1} + \mathcal{U}_{2,n-1} \| \Big) \\ &+ \frac{1}{2} \mathcal{Q}''(\mathcal{Y}_{0}) \| \mathcal{U}_{n,n-1} + \mathcal{U}_{2,n-1} \|^{\frac{2}{4}} + \frac{1}{r!} \mathcal{Q}'(\mathcal{Y}_{0}) \| \mathcal{U}_{n,n-1} + \mathcal{U}_{2,n-1} \|^{r} \end{split}$$

Car
$$P(t) = \sum_{p} X_{p} \operatorname{con}(p\omega t + \tau)$$
 avec $\sum_{p} |X_{p}| = K < \infty$
(3-17) devient alors:

$$+ \eta \left[\frac{1}{2} q''(1961) || \mathcal{U}_{1,n-1} + \mathcal{U}_{2,n-1} ||^{2} + \cdots + \frac{1}{r!} q''(1961) || \mathcal{U}_{1,n-1} + \mathcal{U}_{2,n-1} ||^{2} \right]$$

$$||M_{2,n}|| < |A|[(S_1 + O(K + Q'(1921))(\ell + m)$$

$$+ O(\frac{1}{2} Q''(1921)(\ell + m)^2$$

$$+ - - + \frac{1}{r!} Q''(1921)(\ell + m)^r)]$$

$$= G(\ell, m)$$

(3-19)

11-2-3.- Convergence des suites (\mathcal{U}_1, n) et (\mathcal{U}_2, n) dans $\mathcal{B}_1(T)$ et $\mathcal{B}_2(T)$ respectivement

En considérant les inégalités (3-25) et (3-19) nous voulons trouver les conditions sous lesquelles on a :

 $\|\mathcal{U}_{n,n}\|$ (ℓ et $\|\mathcal{V}_{n,n}\|$ ℓ et m étant deux réels positifs non nuls.

Pour $/\lambda/$ suffisamment petite il est possible de rendre .

$$F(\ell, m) < \ell$$
et
$$G(\ell, m) < m$$

si λ_1 est une constante positive, $|\lambda| < \lambda_1$, nous prendrons $|\lambda| \le \lambda_m$; $\lambda_m = \min(\lambda_0, \lambda_1)$.

En effet pour rendre $F(\ell, m) < \ell$, il suffit de choisir ℓ et ℓ

tels:

$$K_{\Lambda} \left(2 + k + Q'_{\Lambda}(1901)\right) m \angle \frac{\ell}{r}$$
 $M_{Z} K_{\Lambda} Q''_{\Lambda}(1901) (\ell+m)^{2} \angle \frac{\ell}{r}$
 $\frac{\Lambda}{72} K_{\Lambda} Q''_{\Lambda}(1901) (\ell+m)^{2} \angle \frac{\ell}{r}$

Si nous choisissons ℓ tel que :

$$\left(\frac{2\ell}{K_{A} \eta Q_{A}^{"}(|y_{0}|)}\right)^{1/2} \qquad b \qquad 0 \qquad \text{soit} \qquad \ell \geq \beta_{1}^{2}$$

$$\left(\frac{3! \ell}{K_{A} \eta Q_{A}^{(\eta)}(|y_{0}|)}\right)^{1/3} - \ell > 0 \qquad \text{soit} \qquad \ell \leq \beta_{2}^{2}$$

$$\left(\frac{3! \ell}{K_{A} \eta Q_{A}^{(\eta)}(|y_{0}|)}\right)^{1/2} - \ell > 0 \qquad \text{soit} \qquad \ell \leq \beta_{2}^{2}$$

avec

$$\beta_{\lambda} = \frac{2}{K_{\lambda} N Q_{\lambda}^{N}(|y_{0}|)} , \beta_{2} = \frac{3!}{K_{\lambda} N Q_{\lambda}^{(S)}(|y_{0}|)} , \beta_{\mu} = \frac{2!}{K_{\lambda} N Q_{\lambda}^{(N)}(|y_{0}|)}$$

on obtient :

$$m < \frac{\ell}{K_{1} \times (2 + K + G_{1}'(14.1))}$$
 $m < \frac{2\ell}{K_{1} \times Q_{1}''(14.1)}^{1/2} - \ell$

$$m < \left(\frac{r!\ell}{K_{\lambda} R Q^{(h)}(1901)}\right)^{1/2} - \ell$$

soit finalement :

$$l < min \left[\beta_1^2, \beta_2^{3/2}, \ldots, \beta_{-1}^{\frac{3}{2^{k-1}}} \right]$$

et

$$m < min \left[\frac{\ell}{\kappa_{\Lambda} r(2+\kappa+R_{\Lambda}'(14d))}, \left(\frac{2\ell}{\kappa_{\Lambda} L R_{\Lambda}''(14d)} \right)^{1/2} - \ell, \ldots \right]$$

$$\left(\frac{R!\ell}{(N^2Q_N^{(1)}(|S_0|))}\right)^{1/2}-\ell$$

Pour rendre G(l,m)/M , il suffit de choisir $|\lambda|$ / $|\lambda|$ avec :

$$\lambda_{1} = \frac{m}{\left(S_{1} + \gamma \left(K + Q_{1}^{\prime}(1901)\right)\left(l + m\right) + \gamma \left(\frac{1}{2}Q_{1}^{\prime\prime}(1901)\left(l + m\right) + \cdots + \frac{1}{\Gamma!}Q_{1}^{\prime\prime}(1901)\left(l + m\right)^{2}\right)}$$

Ainsi avec ce choix de
$$\lambda$$
 , ℓ et M on a :

si | 1 1, n., 1 < L

et 11.02, n-1 11 / m

on a alors :

(3-20a)

et || U2 h | | \ m

 $\parallel \mathcal{U}_{2} \parallel \langle \mathcal{M} \rangle$ (3-20b)

Donc les suites $(U_{1,n})$ et $(U_{2,n})$ sont majorées.

3) Majoration de $\|\mathcal{U}_{\lambda_1,n+1} - \mathcal{U}_{\lambda_1,n}\|$ $\|\mathcal{U}_{\lambda_1,n+1} - \mathcal{U}_{\lambda_1,n}\| = \|(\mathcal{A}_{\lambda_1,n+1} - \mathcal{A}_{\lambda_1,n}) - \mathcal{A}_{\lambda_1,n+1} - \mathcal{A}_{\lambda_1,n}\| = \|(\mathcal{A}_{\lambda_1,n+1} - \mathcal{A}_{\lambda_1,n}) - \mathcal{A}_{\lambda_1,n+1}\| = \|(\mathcal{A}_{\lambda_1,n+1} - \mathcal{A}_{\lambda_1,n+1}) - \mathcal{A}_{\lambda_1,n+1}\| = \|(\mathcal{A}_{\lambda_1,n+1} - \mathcal{A}_{\lambda_1,n+$

Or on a:

$$\| Y_n - Y_{n-1} \| = \| P_1 \left[(M_{q,n} - M_{z,n-1}) f(t) \right] \|$$

$$\leq (2 + K) \| M_{z,n} - M_{z,n-1} \|$$

$$\begin{aligned} &||Y_{n}-Y_{n-1}|| = ||P_{1}[(\mathcal{U}_{2,n}-\mathcal{U}_{2,n-1})\mathscr{O}(\mathcal{U}_{0})| \\ &+ \frac{1}{2} \mathscr{O}''(\mathcal{Y}_{0}) \Big((\mathcal{U}_{1,n}+\mathcal{U}_{2,n})^{2} - (\mathcal{U}_{1,n-1}+\mathcal{U}_{2,n-1})^{2} \Big) \\ &+ --+ \frac{1}{r!} \mathscr{O}(\mathcal{Y}_{0}) \Big((\mathcal{U}_{1,n}+\mathcal{U}_{2,n})^{r} - (\mathcal{U}_{1,n-1}+\mathcal{U}_{2,n-1})^{r} \Big) \Big] \Big| \end{aligned}$$

En utilisant la formule

$$X^{k} - Y^{k} = (X - Y)(X^{k-1} + X^{k-2}Y + \dots + XY^{k-2} + Y^{k-1})$$

nous obtenors

$$\begin{aligned}
&||Y_{n} - Y_{n-1}|| = ||P_{1}\left((U_{2}, n - U_{2}, n-1) \cdot \Phi'(Y_{0})\right) \\
&+ \underbrace{d}_{2} \cdot \Phi''(Y_{0})\left((U_{1}, n - U_{1}, n-1) + (U_{2}, n - U_{2}, n-1)\right) \times \\
&+ \underbrace{d}_{3} \cdot \Phi''(Y_{0})\left((U_{1}, n - U_{1}, n-1) + (U_{2}, n - U_{2}, n-1)\right) \times \\
&+ \underbrace{d}_{3} \cdot \Phi''(Y_{0})\left((U_{1}, n - U_{1}, n-1) + (U_{2}, n - U_{2}, n-1)\right) \times \\
&+ \underbrace{d}_{3} \cdot \Phi''(Y_{0})\left((U_{1}, n - U_{1}, n-1) + (U_{2}, n - U_{2}, n-1)\right) \times \\
&+ \underbrace{d}_{3} \cdot \Phi''(Y_{0})\left((U_{1}, n - U_{1}, n-1) + (U_{2}, n - U_{2}, n-1)\right) \times \\
&+ \underbrace{d}_{3} \cdot \Phi''(Y_{0})\left((U_{1}, n - U_{1}, n-1) + (U_{2}, n - U_{2}, n-1)\right) \times \\
&+ \underbrace{d}_{3} \cdot \Phi''(Y_{0})\left((U_{1}, n - U_{1}, n-1) + (U_{2}, n - U_{2}, n-1)\right) \times \\
&+ \underbrace{d}_{3} \cdot \Phi''(Y_{0})\left((U_{1}, n - U_{1}, n-1) + (U_{2}, n - U_{2}, n-1)\right) \times \\
&+ \underbrace{d}_{3} \cdot \Phi''(Y_{0})\left((U_{1}, n - U_{1}, n-1) + (U_{2}, n - U_{2}, n-1)\right) \times \\
&+ \underbrace{d}_{3} \cdot \Phi''(Y_{0})\left((U_{1}, n - U_{1}, n-1) + (U_{2}, n - U_{2}, n-1)\right) \times \\
&+ \underbrace{d}_{3} \cdot \Phi''(Y_{0})\left((U_{1}, n - U_{1}, n-1) + (U_{2}, n - U_{2}, n-1)\right) \times \\
&+ \underbrace{d}_{3} \cdot \Phi''(Y_{0})\left((U_{1}, n - U_{1}, n-1) + (U_{2}, n-1)\right) \times \\
&+ \underbrace{d}_{3} \cdot \Phi''(Y_{0})\left((U_{1}, n - U_{1}, n-1) + (U_{2}, n-1)\right) \times \\
&+ \underbrace{d}_{3} \cdot \Phi''(Y_{0})\left((U_{1}, n - U_{1}, n-1) + (U_{2}, n-1)\right) \times \\
&+ \underbrace{d}_{3} \cdot \Phi''(Y_{0})\left((U_{1}, n - U_{1}, n-1) + (U_{2}, n-1)\right) \times \\
&+ \underbrace{d}_{3} \cdot \Phi''(Y_{0})\left((U_{1}, n - U_{1}, n-1) + (U_{2}, n-1)\right) \times \\
&+ \underbrace{d}_{3} \cdot \Phi''(Y_{0})\left((U_{1}, n - U_{1}, n-1) + (U_{2}, n-1)\right) \times \\
&+ \underbrace{d}_{3} \cdot \Phi''(Y_{0})\left((U_{1}, n - U_{1}, n-1) + (U_{2}, n-1)\right) \times \\
&+ \underbrace{d}_{3} \cdot \Phi''(Y_{0})\left((U_{1}, n - U_{1}, n-1) + (U_{2}, n-1)\right) \times \\
&+ \underbrace{d}_{3} \cdot \Phi''(Y_{0})\left((U_{1}, n - U_{1}, n-1) + (U_{2}, n-1)\right) \times \\
&+ \underbrace{d}_{3} \cdot \Phi''(Y_{0})\left((U_{1}, n - U_{1}, n-1) + (U_{2}, n-1)\right) \times \\
&+ \underbrace{d}_{3} \cdot \Phi''(Y_{0})\left((U_{1}, n - U_{1}, n-1) + (U_{2}, n-1)\right) \times \\
&+ \underbrace{d}_{3} \cdot \Phi''(Y_{0})\left((U_{1}, n - U_{1}, n-1) + (U_{2}, n-1)\right) \times \\
&+ \underbrace{d}_{3} \cdot \Phi''(Y_{0})\left((U_{1}, n - U_{1}, n-1) + (U_{2}, n-1)\right) \times \\
&+ \underbrace{d}_{3} \cdot \Phi''(Y_{0})\left((U_{1}, n - U_{1}, n-1) + (U_{2}, n-1)\right) \times \\
&+ \underbrace{d}_{3} \cdot \Phi''(Y_{0})\left((U_{1}, n - U_{1}, n-1) + (U_{2}$$

Par conséquent on a :

$$\begin{split} & \left\| \mathcal{U}_{h,n+1} - \mathcal{U}_{h,n} \right\| \leq K_{n} \left[(2 + K + \Phi'(1901)) \left\| \mathcal{U}_{2,n} - \mathcal{U}_{2,n-1} \right\| \\ & + \frac{4}{2} \Phi''(1901) \left(\left\| \mathcal{U}_{h,n} - \mathcal{U}_{h,n-1} \right\| + \left\| \mathcal{U}_{2,n} - \mathcal{U}_{2,n-1} \right\| \right) \times \\ & \left(\left(\left\| \mathcal{U}_{h,n} \right\| + \left\| \mathcal{U}_{2,n} \right\| \right) + \left(\left\| \mathcal{U}_{h,n-1} \right\| + \left\| \mathcal{U}_{2,n-1} \right\| \right) \right) \\ & + - - + \frac{4}{r!} \Phi^{(r)}(1901) \left(\left\| \mathcal{U}_{h,n} - \mathcal{U}_{h,n-1} \right\| + \left\| \mathcal{U}_{2,n} - \mathcal{U}_{2,n-1} \right\| \right) \times \\ & \left(\left(\left\| \mathcal{U}_{h,n} \right\| + \left\| \mathcal{U}_{2,n-1} \right\| \right)^{r-1} + - - + \left(\left\| \mathcal{U}_{h,n-1} \right\| + \left\| \mathcal{U}_{2,n-1} \right\| \right)^{r-2} \right) \right] \end{split}$$

soit finalement :

$$\begin{aligned} &||\mathcal{U}_{1,n+1} - \mathcal{U}_{1,n}|| \leqslant K_{1} \left((2 + K + \mathcal{C}'(1901)) + \mathcal{C}''(1901)(l+m) \right) \\ &+ - - + \frac{2(r-1)}{r!} \mathcal{C}''(1901)(l+m)^{r-1} \right] \chi \\ &= \left[||\mathcal{U}_{1,n} - \mathcal{U}_{1,n-1}|| + ||\mathcal{U}_{2,n} - \mathcal{U}_{2,n-1}|| \right] \\ &= \mathcal{U}' \quad ||\mathcal{U}_{1,n}|| \leqslant \mathcal{C} \quad ||\mathcal{U}_{2,n}|| \leqslant m \end{aligned}$$

$$(3-24)$$

Nous poserons dans la suite :

$$H(\ell,m) = (2 + K + \Phi'(141) + \Phi'(141)(\ell+m)$$

 $+ - - + \frac{2(r-1)}{r} \Phi'(141)(\ell+m)^{r-1}$

D'où

$$||\mathcal{U}_{1,n+1} - \mathcal{U}_{1,n}|| \leq K_1 + (\ell,m) (||\mathcal{U}_{1,n} - \mathcal{U}_{1,n-1}|| + ||\mathcal{U}_{2,n} - \mathcal{U}_{2,n-1}||)$$
 (3-24a)

donc :

οù

$$P_n = \mathcal{U}_{n,n}(e) + \mathcal{U}_{n,n}(e)$$
 et $\mathcal{Q}_{n,p}$ est tel

$$P_{2}\left[\left(\mathcal{U}_{1,n-1} + \mathcal{U}_{2,n-1}\right) \mathcal{C}(t) + \mathcal{C}'(\mathcal{Y}_{2}) \left(\mathcal{U}_{1,n-1} + \mathcal{U}_{2,n-1}\right) + \frac{1}{2} \mathcal{C}''(\mathcal{Y}_{2}) \left(\mathcal{U}_{1,n-1} + \mathcal{U}_{2,n-1}\right)^{2} + \cdots + \frac{1}{r!} \mathcal{C}'(\mathcal{Y}_{2}) \left(\mathcal{U}_{1,n-1} + \mathcal{U}_{2,n-1}\right)^{r}\right] \\ = \sum_{l \neq l \neq 1} \mathcal{C}_{n-l,p} \mathcal{C}^{lpwt} = \mathcal{C}_{n-l}$$

Or on a

et

$$\begin{split} & \left\| \mathcal{Q}_{n} - \mathcal{Q}_{n-1} \right\| = \left\| P_{2} \left[\left(U_{1,n} - U_{1,n-1} \right) + \left(U_{2,n} - U_{2,n-1} \right) \right) \mathcal{Q}(t) \right. \\ & + \left. \mathcal{Q}'(\mathcal{Y}_{0}) \left(\left(U_{1,n} - U_{1,n-1} \right) + \left(M_{2,n} - M_{2,n-1} \right) \right) \right. \\ & + \left. \frac{1}{2} \left. \mathcal{Q}''(\mathcal{Y}_{0}) \left(\left(U_{1,n} + U_{2,n} \right)^{2} - \left(U_{1,n-1} + U_{2,n-1} \right)^{2} \right) \right. \end{split}$$

$$+ \cdots + \frac{1}{r!} G^{(r)}(U_{1,n} + W_{2,n})^{r} (W_{1,n-1} + W_{2,n-1})^{r}$$

En utilisant la relation

$$X^{k} - Y^{k} = (X - Y)(X^{k-1} + X^{k-2}Y + \dots + XY^{k-2} + Y^{k-1})$$
on obtient:
$$\|Q_{n} - Q_{n-1}\| = \|P_{2}\left[\left((U_{1,n} - U_{1,n-1}) + (U_{2,n} - U_{2,n-1})\right)Q(t)\right] + Q'(Y_{2})\left((U_{1,n} - U_{1,n-1}) + (U_{2,n} - U_{2,n-1})\right)X + \frac{1}{2}Q'(Y_{2})\left((U_{1,n} - U_{1,n-1}) + (U_{2,n} - U_{2,n-1})\right)X + \frac{1}{2}Q'(Y_{2})\left((U_{1,n} - U_{1,n-1}) + (U_{2,n} - U_{2,n-1})\right)X + \dots + \frac{1}{r!}Q'(Y_{2})\left((U_{1,n} - U_{1,n-1}) + (U_{2,n} - U_{2,n-1})\right)X + \dots + \frac{1}{r!}Q'(Y_{2})\left((U_{1,n} - U_{1,n-1}) + (U_{2,n} - U_{2,n-1})\right)X + \dots + \left((U_{1,n} + U_{2,n})^{r-1} + (U_{1,n} + U_{2,n})^{r-2} + (U_{1,n-1} + U_{2,n-1})^{r-1}\right)$$

$$+ \dots + \left((U_{1,n} + U_{2,n})^{r-1} + (U_{1,n} + U_{2,n-1})^{r-2} + (U_{1,n-1} + U_{2,n-1})^{r-1}\right)$$

Donc :

$$\begin{aligned} & ||\mathcal{U}_{2,n+}, -\mathcal{U}_{2,n}|| \leq |\lambda| \Big[S_{1} |P_{n} - P_{n-1}| + \mathcal{D} ||\mathcal{Q}_{n} - \mathcal{Q}_{n-1}|| \Big] \\ & \leq |\lambda| \Big[S_{1} + \mathcal{D} \Big(K + \mathcal{Q}_{1}'(12c1) + \mathcal{Q}_{1}''(12c1) \Big(\ell + m \Big) + \cdots \\ & \underbrace{e(r-1)}_{r} \mathcal{Q}_{1}^{(r)} ||\mathcal{U}_{1}||^{r-1} \Big] \times \Big[||\mathcal{U}_{1,n} - \mathcal{U}_{1,n-1}|| + ||\mathcal{U}_{2,n} - \mathcal{U}_{1,n-1}|| \Big] \end{aligned}$$

$$(3-25)$$

Nous poserons dans la suite :

$$K(\ell,m) = K + Q'(141) + Q''(141)(\ell+m)$$

+ - + $\frac{2(r-1)}{r}(\ell+m)^{r-1}$

d'où:

$$\|\mathcal{U}_{2,n+1} - \mathcal{U}_{2,n}\| \le \|\lambda\| \left[S_1 + \mathcal{D}K(\ell,m) \right] X$$

$$\left[\|\mathcal{U}_{1,n} - \mathcal{U}_{1,n-1}\| + \|\mathcal{U}_{2,n} - \mathcal{U}_{2,n-1}\| \right]$$
(3-25a)

Posons :

les relations (3-24a) et (3-25a) deviennent alors :

$$W_{n+1} \leq K_1 H(\ell, m) (t_n + W_m)$$

$$t_{n+1} \leq |A|(S_1 + DK(\ell, m))(W_n + t_n)$$
 (3-26)

Soient :

$$\delta_{1} = K_{1} H(\ell, m)$$

$$\delta_{2} = |\lambda| \left(S_{1} + \gamma K(\ell, m) \right)$$

et

alors (3-26) donne:

$$S_{m+1} \stackrel{\checkmark}{=} (Y_n + Y_2) S_m$$

$$\stackrel{\checkmark}{=} Y^m S_0 \qquad \text{avec} \qquad Y = Y_1 + Y_2$$

La somme (S_m) serait convergente si on a :

et

Pour cela il suffit de choisir λ et V_A tels que :

$$|\lambda| < \frac{1 - \delta_1}{\delta_1 + \eta \, \kappa \, (\ell, m)} = \lambda_2$$

et

$$\frac{1}{X_{1}} > 2 + K + Q'_{1}(1901) + Q''_{1}(1901)(1+m) + \cdots + \frac{2(1-1)}{7!}Q'^{(7)}(1901)(1+m)^{2-1}$$

(3-27ъ)

(3-27a)

Or (3-27b) ne peut être satisfaite que si $\mathcal{U}_{\Lambda} \angle \Lambda$ car l'expression de droite de (3-27b) est strictement supérieur à 2.

以 ∠ / équivaut à :

$$|Z_1| + |Z_2| + |Z_3| \angle |K'|$$
 (3-27c)

car:

$$K_{A} = \frac{|Z_{1}| + |Z_{2}| + |Z_{3}|}{|K'|}$$

avec :

$$K' = |Z_{1}|^{2} - Z_{2}Z_{3}$$

$$Z_{1} = \varepsilon \omega^{2} - 1 - \chi_{0} C_{0}Z_{1} - iC\omega - \gamma_{0}$$

$$Z_{2} = 1 + \frac{1}{2} \chi_{1} e^{iZ} + \frac{1}{2} \chi_{2} e^{-iZ} + \gamma_{2}$$

$$Z_{3} = 1 + \frac{1}{2} \chi_{2} e^{-iZ} + \frac{1}{2} \chi_{2} e^{iZ} + \gamma_{2}$$

 $lpha_{_{
m C}}$, $lpha_{_{ ext{-}2}}$ et $lpha_{_{
m 2}}$ étant les coefficients intervenant dans l'expression de $arphi(\mathcal{L})$ et

 \mathcal{T}_0 , \mathcal{T}_2 et \mathcal{T}_2 étant les coefficients intervenant dans le développement en série de Fourier de $\mathcal{V}'(\mathcal{Y}_{\varrho})$.

De (3-26) on tire :

$$W_{n+1} < \mathcal{F}_1 \leq \mathcal{F}^n$$
 (3-28)

tin+1 (Jz Se y"

5) (M, n) et (M, n) sont des suites de Cauchy

Montrons que (4, n) et (12, n) sont des suites de Cauchy.

$$||\mathcal{L}|_{n+p} - \mathcal{L}|_{n,n}|| = ||(\mathcal{L}|_{n,n+p} - \mathcal{L}|_{n,n+p-1}) + (\mathcal{L}|_{n+p-1} - \mathcal{L}|_{n,n+p-2})$$

$$+ - \cdot \cdot + (\mathcal{L}|_{n,n+1} - \mathcal{L}|_{n,n})||$$

$$||\mathcal{L}|_{n+p-1} - \mathcal{L}|_{n,n+p-2} + \mathcal{L}|_{n,n+p-2}$$

$$||\mathcal{L}|_{n+p-2} - \mathcal{L}|_{n,n+p-2} + \mathcal{L}|_{n,n+p-2}$$

$$||\mathcal{L}|_{n,n+p-2} - \mathcal{L}|_{n,n+p-2} + \mathcal{L}|_{n,n+p-2}$$

$$||\mathcal{L}|_{n,n+p-2} - \mathcal{L}|_{n,n+p-2} + \mathcal{L}|_{n,n+p-2} + \mathcal{L}|_{n,n+p-2}$$

$$||\mathcal{L}|_{n,n+p-2} - \mathcal{L}|_{n,n+p-2} + \mathcal{L}|_{n,n+p-2} + \mathcal{L}|_{n,n+p-2}$$

$$||\mathcal{L}|_{n,n+p-2} - \mathcal{L}|_{n,n+p-2} + \mathcal{L}|_{n,n+p-2$$

Ce qui montre que $(\mathcal{U}_{1, \mathcal{D}})$ est une suite de Cauchy; donc convergente dans $\mathcal{B}_{1}(\mathcal{T})$.

On montre de même que :

$$\|\mathcal{U}_{l,n+p} - \mathcal{U}_{l,n}\| \leq \frac{\mathcal{S}_2 \mathcal{S}_c}{1-\mathcal{S}} \mathcal{F}^n \qquad (\mathcal{S}(1))$$

donc $(\mathcal{U}_{2,11})$ est une suite de Cauchy; donc convergente dans $\mathcal{B}_2(T)$

CONCLUSION

Pour $|\lambda|$ suffisamment petite, si les hypothèses supplémentaires suivantes sont satisfaites :

70)
$$\frac{1}{K_{\Lambda}} > 2 + K + Q'_{1}(1401) + Q'_{1}(1401)(l+m)$$

+ $\frac{2(r-1)}{2!} Q'_{1}(1401)(l+m)^{2}$

qui est une condition de convergence des suites : $\mathcal{U}_{i,n}$ et $\mathcal{U}_{2,n}$ avec :

8°)
$$|Z_{\Lambda}| + |Z_{2}| + |Z_{3}| \leq |K'|$$
 (i.e. $K_{\Lambda} \leq \Lambda$)

alors les suites $(U_{\Lambda,n})$ et $(U_{2,n})$ sont respectivement majorées par ℓ et $m \in \mathbb{N}$ de Cauchy, donc $(U_{\Lambda,n})$ est convergente dans $B_{\Lambda} (T)$ et $(U_{2,n})$ dans $B_{2}(T)$. Par conséquent l'équation différentielle :

$$y'' + \lambda c y' + \omega^2 (1 + \lambda \varepsilon) y = \lambda \left[y f(t) + \psi(y) \right]$$

οù

$$Q(y) = a_2 y^2 + \dots + a_r y^r$$

 $J(t) = T = S(t-nT) + \sum_{p=-\infty}^{+\infty} d_p \cos(put + T)$

$$\frac{5}{P} | \mathcal{A}_{P} | \mathcal{A}_{0}$$
 admet une solution périodique non nulle : $\mathcal{Y} = \mathcal{Y}_{0} + \lim_{h \to +\infty} (\mathcal{M}_{1,m} + \mathcal{M}_{2,m})$

où est la solution de synchronisation

CHAPITRE IV

ETUDE DE LA STABILITE
DYNAMIQUE.

1.- INTRODUCTION

Dans le chapitre précédent, nous avons déterminé les équations de synchronisation de l'équation différentielle (3-1). Soit R et & les solutions du système de synchronisation (3-3). Posons :

an Versinage

Nous étudions la stabilité vde cette solution particulière yo avec deux nouvelles hypothèses:

$$\Diamond$$
) λ \rangle δ , λ paramètre.

II.- ETUDE DE LA STABILITE

Posons $4 = x + y_0$ dans l'équation :

$$y'' + \lambda c y' + \omega^{2} (1 + \lambda \epsilon) y = \lambda \left[y f(t) + \alpha(y) \right]$$

$$f(t) = + \sum_{n=-\infty}^{+\infty} \delta(t - n + \tau) + \sum_{n=-\infty}^{+\infty} \alpha_{p} \cos(p \omega t + \epsilon)$$

$$Q(y) = \alpha_{2} y^{2} + - - - + \alpha_{r} y^{r};$$

nous trouvons en tenant compte de (3-2) et en supposant que l'on peut négliger les termes en χ^2 , χ^3 , ..., χ^{r} :

$$\mathcal{R}'' + \lambda C x' + \omega^{2} x = x \left[\mathcal{R} f(t) - \varepsilon \omega^{2} x + 2\alpha_{2} y_{0} x + 3\alpha_{3} x y_{0}^{2} + \dots + r\alpha_{r} x y_{0}^{r-1} \right] (4-1)$$

II-1) <u>Etude de l'équation</u>

$$\mathcal{E}^{\nu} + \lambda c x' + \left[\omega^2 + \lambda \left(\Psi(t) + \varepsilon \omega^2 - 2 a_2 y_0 - \dots - r a_r y_o^{r-1} \right) \right] x = 0$$

avec λ > 0 , C > 0 , λ paramètre

et
$$Y(t) = \sum_{p=-\infty}^{+\infty} d_p Cos(pwt+z)$$

Soit l'équation :

$$\mathcal{R}^{1}$$
 + $\lambda c \chi'$ + $\left[\omega^{2} + \lambda \left(\Psi(t) + \epsilon \omega^{2} - 2a_{2}y_{o} - \cdots - ra_{r}y_{r}^{r} \right] x = 0$
(4-2)

Cette équation est linéaire et à coefficients périodiques de période T. Elle est sous la forme : $x^{i} + p(x)x' + q(t)x = 0$

où
$$p(t) = \lambda c$$

 $q(t) = \omega^2 + \lambda \left(\epsilon \omega^2 - 2a_2 y_0 - 3a_3 y_0^2 - \dots - ra_r y_0^{r-1} + \ell(\epsilon) \right)$

Donc pour l'étudier, nous allons appliquer les résultats de la théorie de Floquet rappelée dans le paragraphe ci-dessous.

II-1-1.- Théorie de FLOQUET [21, 22]

Soit l'équation

$$x' + p(t)x' + q(t)x = 0$$
 (4-3)

avec p(t+T) = p(t) of q(t) = q(t+T);

l'équation (4-3) est linéaire, il existe deux solutions $\chi_{A}(F)$ et $\chi_{2}(F)$ linéairement indépendantes et non identiquement nulles telles que toute autre solution

$$\mathscr{X}(t)$$
 s'exprime sous la forme : $\mathscr{X} = \mathscr{C}_{\Lambda} \mathscr{I}_{\Lambda} + \mathscr{C}_{\lambda} \mathscr{X}_{\lambda}$

$$(4-4)$$

Le Wronkien de \mathcal{L}_{4} et \mathcal{L}_{2} est :

$$\Delta (\mathcal{X}) = \begin{vmatrix} \chi_1 & \chi_2 \\ \chi'_1 & \chi'_2 \end{vmatrix}$$
 (5-4)

et doit être non identiquement nul pour que $(\mathbf{z}_1, \mathbf{x}_{\lambda})$ forme un système fondamental de solutions.

En dérivant $\Delta(\mathfrak{t})$ on trouve :

$$\frac{d\Delta(t)}{dt} = -p(t)\Delta(t)$$

soit :

$$\Delta(t) = \Delta_{o} \exp\left[-\int_{t_{0}}^{t} \rho(z) dz\right]$$
(4-6)

L'idée de Floquet est d'exploiter le fait que $p(\mathcal{X})$ et q(t) sont périodiques. En effet si $\mathcal{X}_{A}(t)$ et $\mathcal{X}_{B}(t)$ forment un système fondamental de solutions, alors $\mathcal{X}_{A}(t+\tau)$ et $\mathcal{X}_{B}(t+\tau)$ aussi, car $p(t+\tau):p(t)$ et $q(t+\tau)=q(t)$ et $q(t+\tau)\neq 0$ (car $\Delta(t)\neq 0$).

Posons :

$$X_{A}(t) = x_{1}(t+T) = a_{AA} x_{A}(t) + a_{A2} x_{2}(t)$$

$$X_{2}(t) = x_{2}(t+T) = a_{2A} x_{A}(t) + a_{22} x_{2}(t)$$
 (4-7)

Le wronkien de
$$(X_{\Lambda}(\Lambda)$$
 , $X_{\mathfrak{L}}(\Lambda)$ est :

$$\Delta \left(+ \tau \right) = \begin{vmatrix} a_{11} & a_{12} \\ a_{21} & a_{22} \end{vmatrix} \Delta (+) \tag{4-8}$$

ce qui prouve que :

$$\begin{vmatrix} a_{11} & a_{12} \\ a_{14} & a_{11} \end{vmatrix} \neq 0 \tag{4-8a}$$

Parmi toutes les solutions, il peut exister celles vérifiant la propriété

$$\varepsilon(t+\tau) = \sigma \varepsilon(t)$$

Toute solution vérifiant (4-9) est appelée solution normale et toute solution normale peut s'exprimer sous la forme :

$$x = \lambda_{\Lambda} x_{\Lambda} + \lambda_{2} x_{2}$$
 (4-10)

 $\boldsymbol{\mathcal{R}}$ vérifie (4-9) quand $\boldsymbol{\mathcal{X}}_{1}$ et $\boldsymbol{\mathcal{X}}_{2}$ vérifient (4-7), donc :

$$\left(\lambda_{\Lambda}\left(a_{\Lambda\Lambda}-\sigma\right)+\lambda_{2}a_{2\Lambda}\right)x_{\Lambda}+\left(\lambda_{\Lambda}a_{\Lambda2}+\lambda_{2}\left(a_{2\lambda}-\sigma\right)\right)x_{2}=c$$

 $oldsymbol{\chi}_{\!\!\!A}$ et $oldsymbol{\chi}_{\!\!\!A}$ sont linéairement indépendantes, donc :

$$\lambda_{\Lambda} \left(a_{\Lambda\Lambda} - \nabla \right) + \lambda_{2} a_{2\Lambda} = 0$$

$$\lambda_{\Lambda} a_{\Lambda 2} + \lambda_{2} \left(a_{22} - \nabla \right) = 0$$

Pour qu'il existe d'autres solutions que la solution nulle, il faut que :

$$\begin{vmatrix} a_{11} - \nabla & a_{21} \\ a_{12} & a_{22} - \nabla \end{vmatrix} = 0$$

T vérifie l'équation :

$$\nabla^{2} - \left(a_{M} + a_{22}\right)\nabla + \begin{vmatrix} a_{M} & a_{A2} \\ a_{M} & a_{22} \end{vmatrix} = 0$$
(4-11)

(4-11) s'appelle équation caractéristique de l'équation de départ (4-3). Elle admet deux racines non nulles σ_1 et σ_2 car le terme constant $a_{\lambda\lambda}$ $a_{\lambda\lambda}$ d'après (4-8a).

Le produit des racines est d'après (4-6) (4-8) et (4-11) est :

$$P = \sqrt{3} = a_{A1} a_{22} - a_{21} a_{12} = \frac{\Delta (t_0 + \tau)}{\Delta (t_0)}$$

$$= \exp \left[- \int_{1}^{t_0 + \tau} \rho(\tau) d\tau \right]$$

(4-11a)

et la somme des racines :

En dérivant les égalités (4-7) et en éliminant α_{n_2} et α_{n_3} on trouve :

$$S = \sigma_{A} + \sigma_{2} = \alpha_{AA} + \alpha_{22}$$

$$= \frac{\chi_{A}(T) \chi'_{2}(0) - \chi'_{1}(T) \chi_{2}(0) + \chi'_{2}(T) \chi_{A}(0) - \chi'_{1}(0) \chi_{2}(T)}{\chi_{A}(0) \chi_{2}(0) - \chi'_{2}(0) \chi'_{A}(0)}$$

(4-11b)

Puisque le produit \mathcal{T}_{1} \mathcal{T}_{2} = \mathcal{T}_{2} est non nul, nous devons envisager deux cas :

1°) L'équation (4-11) admet deux racines distinctes $U_1 \neq V_2$.

Donc il existe deux solutions normales linéairement indépendantes \mathcal{C}_{i} $(i=\Lambda,\lambda)$, nous pouvons écrire :

$$e^{-x_i(t+\tau)}$$
 $x_i(t+\tau) = \nabla_i e^{-\alpha_i \tau} - \alpha_i t$

Nous introduisons deux solutions périodiques $\forall_i (i=1,2)$ telles

que: $V_i(t) = e^{-\alpha_i t} \chi_i(t)$ avec $\sigma_i = e^{\alpha_i T}$

Ce qui nous donne pour solutions normales linéairement indépendantes :

$$\chi_{\lambda}(t) = e^{d_{\lambda}t} Y_{\lambda}(t)$$

$$\chi_{\lambda}(t) = e^{d_{\lambda}t} Y_{\lambda}(t)$$
on Y_{i} $(i=\lambda,\lambda)$ ext. The periodique et $\delta_{i} = e^{d_{i}T}$

2°) L'équation (4-11) admet une racine double
$$G = G_1 = G_2$$

Les équations (4-7) deviennent dans ce cas

$$X_{\lambda}(t) = x_{\lambda}(t+T) = \sigma x_{\lambda}(t)$$
(4-13)

T = constante

$$X_2(t) = x_2(t+T) = ax_1(t) + bx_2(t)$$

on a $\nabla = b$ car l'équation caractéristique (4-11) a une racine double.

(4-14) entraine :

$$\frac{X_{2}(t)}{X_{A}(t)} = \frac{x_{2}(t)}{x_{A}(t)} + \frac{\alpha}{\sigma}$$
(4-14)

Considérons la fonction $\Psi(t) = \frac{\chi_z(t)}{\chi_{\Lambda}(t)} - \frac{a}{\sigma} \frac{t}{T}$.

Compte tenu de (4-15)

$$\Psi(t+T) = \frac{x_2(t+T)}{x_n(t+T)} - \frac{a}{\sigma} \frac{t+T}{T}$$

$$= \frac{x_2(t)}{y_n(t)} + \frac{a}{\sigma} - \frac{a}{\sigma} - \frac{at}{\sigma T} = \Psi(t)$$

On a donc:

$$r_2(t) = r_n(t) \left[\frac{a}{\sigma} + \psi(t) \right]$$

Comme précédemment on introduit une fonction $f_{\lambda}(t)$ périodique telle que : $\chi_{\lambda}(t) = e^{\lambda t} f_{\lambda}(t)$ où $t = e^{\lambda t}$ et le système fondamental

de solutions est :

$$\mathcal{R}_{1}(t) = e^{\lambda t} \mathcal{Y}_{1}(t)$$

$$\mathcal{R}_{2}(t) = e^{\lambda t} \left[\frac{at}{\sigma T} \mathcal{Y}_{1}(t) + \mathcal{Y}_{2}(t) \right]$$
(4-15)

où
$$\psi_{\lambda}(t) = \psi_{\lambda}(t) \cdot \psi_{\lambda}(t)$$
.
 $\psi_{\lambda}(t) = \psi_{\lambda}(t) \cdot \psi_{\lambda}(t)$.

L'intérêt principal de cette théorie est de voir si les solutions de l'équation (4-3) restent bornées ou non quand t tend vers + . Si toutes les solutions de (4-3) sont bornées, on peut dire que l'équation différentielle (4-3) caractérise un mouvement stable.

S'il existe une seule solution non bornée on dit que le mouvement est instable.

- Pour les équations (4-12) cette question se traduit par : les solutions sont bornées si et seulement si e^{4t} est borné pour $t \longrightarrow +\infty$. Soit $R_{\epsilon}(A_{\epsilon}) \leq 0$ ou bien $|\nabla_{\epsilon}| \leq 1$.

- Pour les équations (4-15) les solutions sont bornées si et seulement si $e^{\alpha t}$ est borné pour $t \longrightarrow +\infty$. Soit $R_e(\alpha) \angle o$ ou bien $|\sigma| \angle 1$. Si toutes $R_e(\alpha) = 0$; pour avoir des solutions stables il faut que le coefficient α soit nul.

II.1.2. - Applications

Revenons au cas particulier où

$$\varphi(t) = \lambda c$$

$$q(t) = \omega^{\ell} + \lambda \left(\varepsilon \omega^{\ell} - 2a_{2}y_{0} - 3a_{3}y_{0}^{\ell} - \dots - ra_{r}y_{0}^{r} + \ell(t) \right)$$

Commençons par le cas où l'équation caractéristique (4-11) admet deux solutions $\mathcal{V}_1 \neq \mathcal{V}_2$. Donc il existe deux solutions \mathcal{X}_4 et \mathcal{X}_2 linéairement indépendantes telles que :

 ζ_{1} et ζ_{2} sont deux constantes arbitraires. Or d'après la théorie de Floquet il existe deux fonctions T-périodique ψ_{2} et ψ_{3} :

$$\Psi_{i}(t) = e^{-\alpha_{i}t} \mathbf{z}_{i}(t) \qquad i = 1, 2$$

donc :

$$x(t) = c_1 e^{x_1 t} f(t) + c_2 e^{x_2 t} f(t)$$

Puisque d'après (4-11-a), on a :

$$P = \sigma_{t} = \exp \left[-\int_{t_{0}}^{t_{0}+T} p(z)dz \right]$$
 and $p(t) = \lambda c$

alors :

$$\nabla_{1} = \frac{S + (S^{2} - 4e^{-\lambda(\tau)})^{1/2}}{2}$$

$$\sqrt{2} = \frac{S - (S^2 - 4e^{-\lambda cT})^{1/2}}{2}$$

où

$$S = \sqrt{1 + \sqrt{2}} = \frac{\chi_{4}(\tau) \chi_{2}(0) - \chi_{4}'(\tau) \chi_{2}(0) + \chi_{2}'(\tau) \chi_{4}(0) - \chi_{4}'(0) \chi_{2}(\tau)}{\chi_{4}(0) \chi_{2}'(0) - \chi_{4}'(0) \chi_{2}(0)}$$

Les solutions de (4-2) sont bornées si et seulement si :

soit :

$$\frac{\chi_{A}(\tau)\chi_{2}^{'}(0) - \chi_{A}^{'}(\tau)\chi_{2}(0) + \chi_{2}^{'}(\tau)\chi_{A}(0) - \chi_{A}^{'}(0)\chi_{2}(\tau)}{\chi_{A}(0)\chi_{2}^{'}(0) - \chi_{A}^{'}(0)\chi_{2}(0)} | \xi | \mathcal{E}$$

Si toutes les solutions de (4-2) sont bornées alors l'équation différentielle (4-2) caractérise un mouvement stable.

Dans le cas où l'équation (4-11) admet une solution double il existe alors deux fonctions au - périodiques $au_{\!\scriptscriptstyle \mathcal{A}}$ et $au_{\!\scriptscriptstyle \mathcal{A}}$ telles que :

$$\chi(t) = e^{\lambda t} \left[c_1 f_1(t) + c_2 \left(\frac{at}{\sigma T} f_1(t) + f_2(t) \right) \right]$$
 (4-17)

οù

Dans ce cas:
$$-\lambda cT$$

 $S^2 = 4e$

, c'est-à-dire que le discriminant de l'équation :

$$\chi^2 - SX + P = 0$$
 est nul.

$$S^2 = 4e$$
 \Rightarrow $S = \pm 2e$.

et donc

Les solutions sont bornées si et seulement si $|\nabla| = e^{-\frac{1}{2}\lambda cT}$ Et alors l'équation (4-2) caractérise un mouvement stable.

Remarque : S'il existe une solution non bornée, le mouvement est instable.

II-2.- Etude de l'équation complète
$$x'' + p(t)x' + q(t)x = \lambda x e(t)$$

avec $p(t) = \lambda c$
 $q(t) = \omega^2 + \lambda \left(\varepsilon \omega^2 - 2 \alpha_2 y_0 - \dots - r \alpha_r y_0^{r-1} + \varphi(t) \right)$

Soit $h = \frac{2\pi}{\omega} m$; entier positif et $nT = t_0 + nh$;

 t_0 quelconque et $m = 1, 2, 3 \dots$

Nous désignons par E l'ensemble des fonctions définies et continues sur la demie-droite $\begin{bmatrix} t_0; +\infty \end{bmatrix}$ dérivables sur les intervalles $\int T_i(nt)T[i]$. Nous définissons le produit de $g \in E$ par la mesure de Dirac g(t-nT) par : g(t-nT) = g(nT-o)g(t-nT)

au sens des distributions.

Considérons l'équation (4-1) au sens des distributions. Ses solutions seront des fonctions de E. La fonction X de F définie sur $\left\{ \mathcal{L}_{c} \right\} + \infty$ est solution de (4-1); elle vérifie sur $\left\{ \mathcal{L}_{c} \right\} + \infty$ l'équation aux impulsions :

$$z'' + \lambda c x' + q(t)x = \lambda = \sum_{n=-\infty}^{+\infty} S(t-nT)x(nT-c)$$
 (4-18)

La restriction de (4-18) à chaque intervalle $\int nT$, (n+1)T est l'équation (4-2): $L'' + \lambda C \chi' + q(t) \chi = 0$. Donc la solution a sur chaque intervalle $\int nT$; (n+1)T la forme (4-16) ou (4-17). Les constantes α et β étant différentes sur les divers intervalles:

$$x(t) = d_n x_i(t) + \beta_n x_2(t)$$
; $nT < t < (n+i)T$

Nous considérons dans la suite le cas où l'équation caractéristique

où:

$$a_n = a_n e^{a_n nT}$$
 et $b_n = \beta_n e^{a_n nT}$

Pour établir les conditions de stabilité, nous devons trouver l'équation matricielle :

$$\begin{pmatrix} a_{m+1} \\ b_{m+1} \end{pmatrix} = \Theta \begin{pmatrix} a_m \\ b_m \end{pmatrix}$$

reliant les coefficients de la solution dans deux intervalles consécutifs.

Nous chercherons alors le polynôme caractéristique de A. <u>La</u>
position des modules des racines du polynôme caractéristique de A. par
rapport à 1 donnera les conditions de stabilité.

En effet pour trouver la relation entre $\begin{pmatrix} a_{n+1} \\ b_{n+1} \end{pmatrix}$ et $\begin{pmatrix} a_n \\ b_n \end{pmatrix}$ nous allons traduire deux conditions :

- la continuité de la solution au point t = (n+4).T
- le saut de la dérivée au point t = (n+4)T
- a) Continuité de X(t) en t=(m+1)T :

soit:
$$\mathcal{R}\left((n+i)T - 0\right) = \mathcal{R}\left((n+i)T + 0\right)$$

 $a_{n+1} \mathcal{L}_{A}\left((n+i)T\right) + b_{n+1} \mathcal{L}_{2}\left((n+i)T\right) =$

$$\mathcal{L}_{A} a_{n} \mathcal{L}_{A}\left((n+i)T\right) + \mathcal{L}_{2} b_{n} \mathcal{L}_{2}\left((n+i)T\right)$$

$$(4-19)$$

b) Le saut de $\chi'(t)$ en t = (n+1)T:

$$S_{m+1} = x'((m+1)T+0) - x'((m+1)T-0)$$

avec :

$$\mathcal{L}'\left((m+i)T+0\right) = a_{m+i}\left[d_{n}\Psi_{n}\left((m+i)T\right) + \Psi_{n}'\left((m+i)T\right)\right]$$

$$+ \sum_{m+i}\left[d_{2}\Psi_{n}\left((m+i)T\right) + \Psi_{n}'\left((m+i)T\right)\right]$$

$$\mathcal{R}^{2}((m+1)T-0) = a_{m} \left[d_{1} \psi_{1}((m+1)T) + \psi_{1}^{2}((m+1)T) \right] \nabla_{1}^{2}$$

$$+ b_{m} \left[d_{2} \psi_{2}((m+1)T) + \psi_{2}^{2}((m+1)T) \right] \nabla_{2}^{2}$$

Posons par la suite :

$$\Phi_{1} = \lambda_{1} \Psi_{1} + \Psi_{1}'$$

$$\Phi_{2} = \lambda_{2} \Psi_{2} + \Psi_{2}'$$

done :

$$S_{n+1} = \chi' \left((n+1)T + 0 \right) - \chi' \left((n+1)T - 0 \right)$$

$$= \left(a_{n+1} - \sqrt{a_n} \right) \phi_1 \left((n+1)T \right) + \left(b_{n+1} - \sqrt{a_n} b_n \right) \phi_2 \left((n+1)T \right)$$

Donc $\chi(t)$ est solution de (4-18) si et seulement si :

$$(a_{n+1} - \overline{u}_1 a_n) \phi_1((n+1)T) + (b_{n+1} - \overline{u}_2 b_n) \phi_2((n+1)T)$$

$$= \lambda \left[\sigma_1 a_n \psi_1((n+1)T + i\overline{u}_2 b_n) \psi_2((n+1)T) \right]$$
(4-20)

Les équations (4-19) et (4-20) déterminent Q_{n_1} , b_{n_2} en fonction de Q_n et b_n . Soit :

$$\begin{cases} a_{n+1} \phi_{1} + b_{n+1} \phi_{2} = \nabla_{1} a_{n} (\phi_{1} + \lambda V_{1}) + \nabla_{2} b_{m} (\phi_{2} + \lambda V_{2}) \\ a_{n+1} V_{1} + b_{n+1} V_{2} = \nabla_{1} a_{n} V_{1} + \nabla_{2} b_{n} V_{2} \end{cases}$$
(4-21)

où:

$$\oint_{A} = \oint_{A} \left[(m+i)T \right]$$

En résolvant (4-21) on a :

$$\begin{bmatrix} a_{m+1} \\ b_{m+1} \end{bmatrix} = \begin{bmatrix} (A - \lambda \frac{\varphi_1 \varphi_2}{F}) \sigma_1 \\ \lambda \frac{\varphi_2}{F} \sigma_2 \end{bmatrix}$$

$$-\lambda \frac{\Psi_{2}^{2}}{F} \sigma_{2}$$

$$\left(1 + \lambda \frac{\Psi_{1} \Psi_{2}}{F}\right) \sigma_{2}$$

$$\left(b_{1}\right)$$

$$\left(4-22\right)$$

car V_{λ} et V_{λ} sont des fonctions \mathcal{T} -périodiques telles que :

$$\forall i(t) = e^{-d_i t} x_i(t)$$
 $i = 1,2$

Si on pose
$$W(x_1, x_2) = x_1 x_2' - x_2 x_1'$$

wronkien de $\mathfrak{X}_{\boldsymbol{\lambda}}$ et $\mathfrak{X}_{\boldsymbol{\lambda}}$; on a :

$$W(x_1,x_2) = e^{(\lambda_1 + \lambda_2)t} (\varphi_1 \varphi_2 - \varphi_2 \varphi_4)$$

donc :

$$W(x_{1},x_{2})(0) = x_{1}(0) x'_{2}(0) - x'_{1}(0) x_{2}(0)$$

$$= \varphi - \varphi_{1} - \varphi_{2} \varphi_{1} = -F$$

soit :

$$F = x_1'(0)x_2(0) - x_1(0)x_2'(0)$$

L'expression (4-22) en terme de $\chi_4(o)$ et $\chi_2(o)$ devient :

$$\begin{bmatrix} a_{n+1} \\ b_{m+1} \end{bmatrix} = A \begin{bmatrix} a_m \\ b_m \end{bmatrix}$$

Le polynôme caractéristique P(v) de A est:

$$P(r) = r^{2} - \left[\sigma_{1} + \sigma_{2} + \lambda \frac{\chi_{1}(c) \chi_{2}(c)}{\left[\chi'_{1}(c)\chi_{2}(c) - \chi_{1}(c)\chi'_{2}(c)\right]} (\sigma_{1} - \sigma_{2})\right] r + \sigma_{1}\sigma_{2}$$
 (4-23)

Soit γ_1 et γ_2 les deux racines de P(r) = c et posons R leur somme et P leur produit :

$$R = V_1 + V_2 = \overline{V_1} + \overline{V_2} + \lambda \frac{X_1(0) X_2(0)}{[Y_1'(0) X_2(0) - X_1(0) X_2'(0)]} (\overline{V_1} - \overline{V_2})$$

$$P = V_1 V_2 = \varepsilon$$

$$\text{avec} \quad \lambda > 0 \quad \text{et} \quad c > 0$$

Ici puisque P(1), les solutions sont stables si |R| < 2et instables si R>2 .

Dans le paragraphe ci-dessous nous cherchons à simplifier l'expression de ${\cal R}$:

11.2.1.- Développement de R à l'ordre deux en λ

A) Simplification de l'expression de R

Si (\mathcal{L}_1 , \mathcal{L}_2) est un système fondamental de solutions de (4-2) tel que :

$$\mathcal{Z}_{A}(t+T) = a_{A1} x_{A}(t) + a_{A2} x_{2}(t)$$

$$\mathcal{Z}_{2}(t+T) = a_{24} x_{4}(t) + a_{22} x_{2}(t)$$

l'équation caractéristique de (4-2) est :

Si G_1 et G_2 sont racines de cette équation

$$\sigma_{1}\sigma_{2} = a_{11}a_{12} - a_{21}a_{12} = ex\left[\int_{c_{s}}^{c_{0}+T} p(z) dz\right]$$

$$S = \sqrt{1 + \sqrt{2}} = \alpha_{41} + \sqrt{22}$$

$$= \frac{x_1(\tau)x_2'(0) - x_1'(\tau)x_2(0) + x_2'(\tau)x_2(0) - x_1'(0)x_2(\tau)}{\left[x_1(0)x_2'(0) - x_2'(0)x_2(0)\right]}$$

Puisque l'équation caractéristique est indépendante du choix des solutions fondamentales, nous choisissons un système de solutions (μ , σ) vérifiant des conditions simples. Soient μ et σ telles que :

$$u(o) = 1$$
 $v(o) = 0$ $u'(o) = 1$ (4-25)

Le système (,, ,) est fondamental car le wronkien est non nul.

Toute autre solution de l'équation (4-2) s'écrit dans ce système, sous forme
de combinaison linéaire. En particulier les solutions de Floquet , et \mathcal{L}_2 ;
donc :

$$\mathcal{Z}_{1} = \lambda_{1} \mathcal{U} + \lambda_{2} \mathcal{T}$$

$$\mathcal{Z}_{2} = \mathcal{J}_{1} \mathcal{U} + \mathcal{J}_{2} \mathcal{T}$$
(4-26a)

en dérivant, nous avons :

$$\chi'_{1} = \chi_{1} u' + \chi_{2} v'$$

$$\chi'_{2} = \chi_{1} u' + \beta_{2} v'$$
(4-26b)

(4-25) entraîne que:

$$\lambda_1 = x_1(0); \lambda_2 = x_1(0); x_1 = x_2(0); p_2 = x_2(0)$$

Les relations (4-26a) deviennent :

$$x_{1} = x_{1}(v)u + x'_{1}(v)v$$

$$x_{2} = x_{2}(v)u + x'_{2}(v)v$$
(4-26c)

Par définition des solutions de Floquet :

$$X_1(T) = \sigma_1 \chi_1(0)$$
 et $X_2(T) = \sigma_2 \chi_2(0)$

donc en considérant (4-26c) :

$$\chi_{A}(0) \mu(T) + \chi_{A}'(0) \sigma(T) = U_{A} \left[\chi_{A}(0) \mu(0) + \chi_{A}'(0) \sigma(0) \right]$$

$$\chi_{Q}(0) \mu(T) + \chi_{Q}(0) \sigma(T) = V_{Q} \left[\chi_{Q}(0) \mu(0) + \chi_{Q}'(0) \sigma(0) \right]$$
soit:

$$\chi_{1}(0) \star (T) + \chi_{1}'(0) \sigma(T) = \zeta_{1} \chi_{1}(0)$$

$$\chi_{2}(0) u(T) + \chi_{2}'(0) \sigma(T) = \zeta_{2} \chi_{2}(0)$$
(4-27)

(4-27) entraîne :

$$V(T) = \frac{\chi_{1}(0) \chi_{1}(0) (\sigma_{2} - \sigma_{4})}{\int \chi_{1}(0) \chi_{2}'(0) - \chi_{1}(0) \chi_{1}'(0)}$$

donc :

$$R = r_1 + r_2 = \sigma_1 + \sigma_2 + \lambda \frac{x_1(0) x_2(0) (\sigma_4 - \sigma_2)}{\left[x_1(0) x_2'(0) - x_2(0) x_3'(0)\right]}$$

$$= \sigma_4 + \sigma_2 + \lambda \sigma(\tau)$$

$$P = r_1 r_2 = e^{-\lambda c \tau}$$

D'après (4-11-a) nous avons en fonction de $\mathcal M$ et $\mathcal V$:

soit finalement :

$$R = \sigma_4 + \sigma_2 + \lambda \sigma(\tau) = \mu(\tau) + \sigma'(\tau) + \lambda \sigma(\tau)$$

$$P = \gamma_2 = e^{-\lambda c \tau}$$
(4-28)

B) Calcul de R en fonction de C, E, R, λ et $(a_{2},...,a_{r})$

Cherchons à déterminer $\mathcal{R}=\mathcal{H}\mathcal{H}$ en fonction de \mathcal{C} , \mathcal{E} , \mathcal{R} , λ et $(\mathcal{Q}_2,\ldots,\mathcal{Q}_r)$: \mathcal{R} désignant l'amplitude de la solution de synchronisation :

et (0, ..., 0,) les coefficients du polynôme $Q(\gamma)$.

Nous nous proposons de chercher ${\cal M}$ et ${\cal V}^-$ selon la méthode de Poincaré, suivant un développement en puissance de λ .

Soit:

$$M = M_0 + \lambda M_1 + \lambda^2 M_2 - \dots$$

$$U = U_0 + \lambda U_1 + \lambda^2 U_2 - \dots$$

vérifiant :

$$\mu_{o}(c) = 1$$
 $\mu_{o}(c) = 1$
 $\mu_{o}(c) = 1$

$$V_{c}(0) = U_{et}$$
 $V_{c}(0) = V_{c}'(0) = U$ $i = 1,2$ (4-30) $V_{c}'(0) = 1$

Nous poserons par la suite $\omega=1$ (il suffit d'un changement de variable), donc $T=2\pi$. En remplaçant dans (4-2) les expressions de ω et ω nous avons :

$$M_{o}^{V} + M_{o} = 0$$

$$M_{A}^{V} + M_{A} = -C M_{o}^{\prime} - (V(t) + E - 2a_{2}y_{o} - 3a_{3}y_{o}^{2} - C - Y(t) + E - 2a_{2}y_{o} - 2a_{3}y_{o}^{2} - C - Y(t) + E -$$

$$u_2^{\prime\prime} + u_2 = -c u_1^{\prime} - (v_1^{\prime} + \epsilon - 2a_1 y_0 - v_2 y_0^{\prime\prime}) u_1 = \xi_2(\epsilon)$$
 (4-31)

(4-29) et (4-31) entraînent :

$$\mathcal{M}_{\lambda} = \int_{0}^{t} \sin(t-\tau) f_{\lambda}(\tau) d\tau$$

$$\mathcal{M}_{\lambda} = \int_{0}^{t} \sin(t-\tau) f_{\lambda}(\tau) d\tau$$

$$(4-32)$$

De même pour V :

$$V_1'' + V_1 = -c v_0' - (\varepsilon - 2a_2 v_0 - \cdots - ra_r v_0'' + V(t))v_0$$

= $q_1(t)$

(4 - 33)

(4-30) et (4-33) donnent :

$$V_{2} = \int_{0}^{t} \sin(t-z) g_{1}(z) dz$$

$$V_{2} = \int_{0}^{1} \sin(t-z) g_{2}(z) dz$$
(4-34)

$$M = M_0 + \lambda M_1 + \lambda^2 M_2$$
= $(c)t + \lambda \int_0^t \sin(t-z)g(z)dz + \lambda^2 \int_0^t \sin(t-z)f(z)dz$

$$U = \lambda \inf(t-z)g(z)dz + \lambda^2 \int_0^t \sin(t-z)g(z)dz$$

$$U = \lambda \inf(t-z)g(z)dz + \lambda^2 \int_0^t \sin(t-z)g(z)dz$$

$$f_{1}(t) = -(M_{0}^{\prime} - (Y(t) + \xi - 2a_{2}Y_{0} - \dots - va_{r}Y_{0}^{\prime-1})M_{0}$$

$$f_{2}(t) = -(U_{1}^{\prime} - (Y(t) + \xi - 2a_{2}Y_{0} - \dots - va_{r}Y_{0}^{\prime-1})M_{1}$$

$$g_{1}(t) = -(U_{0}^{\prime} - (Y(t) + \xi - 2a_{2}Y_{0} - \dots - va_{r}Y_{0}^{\prime-1})V_{0}$$

$$g_{1}(t) = -(U_{0}^{\prime} - (Y(t) + \xi - 2a_{2}Y_{0} - \dots - va_{r}Y_{0}^{\prime-1})V_{0}$$

$$f_{2}(t) = -(U_{1}^{\prime} - (Y(t) + \xi - 2a_{2}Y_{0} - \dots - va_{r}Y_{0}^{\prime-1})V_{0}$$

Expression de R

 $R = \mu(2\pi) + \sigma'(2\pi) + \lambda \sigma(2\pi)$ donc en négligeant les termes en χ^3 , l'expression de R est :

$$R = 2 - \lambda \int_{0}^{2\pi} \sin z \, f_{x}(z) dz - \lambda^{2} \int_{0}^{2\pi} \sin z \, f_{y}(z) \, dz$$

$$+ \lambda \int_{0}^{2\pi} \cos z \, g_{y}(z) \, dz + \lambda^{2} \int_{0}^{2\pi} \cos z \, g_{y}(z) \, dz$$

$$- \lambda^{2} \int_{0}^{2\pi} \sin z \, g_{y}(z) \, dz + C(\lambda^{3})$$

soit
$$R = 2 + \lambda \int [\cos \tau g_{1}(\tau) - \sin \tau f_{1}(\tau)] d\tau$$

$$+ \lambda^{2} \int [\cos \tau g_{2}(\tau) - \sin \tau f_{2}(\tau)] d\tau$$

$$- \lambda^{2} \int \sin \tau g_{1}(\tau) d\tau + o(\lambda^{3})$$
(4-36)

Les expressions de f_1 , f_2 et g_1 , g_2 sont données par les formules (4-35). Soient :

$$\begin{cases}
f_{1}(z) = -C \text{ sin } z - F(z) \text{ cos } z
\end{cases}$$

$$\begin{cases}
f_{1}(z) = -C \text{ cos } z - F(z) \text{ sin } z
\end{cases}$$

$$\begin{cases}
f_{2}(z) = -C \text{ cos } (z - \varphi) f_{1}(\varphi) d\varphi - F(z) \int_{0}^{z} \sin(z - \varphi) f_{1}(\varphi) d\varphi
\end{cases}$$

$$\begin{cases}
f_{2}(z) = -C \int_{0}^{z} \cos(z - \varphi) g_{1}(\varphi) d\varphi - F(z) \int_{0}^{z} \sin(z - \varphi) g_{1}(\varphi) d\varphi
\end{cases}$$

Pour simplifier les calculs, nous supposerons dans la suite que le polynôme G(Y) et la force périodique Y(X) sont de la forme :

 $Q(y) = -yy^3$

Y étant le coefficient non linéaire d'élasticité et

$$\Psi(t) = \cos 2(t + \theta_1)$$

C'est le cas d'une plaque rectangulaire excitée dans son plan par une percussion $\mathcal{C}(\mathcal{C})$ et une force périodique $\mathcal{C}(\mathcal{C})$. L'équation temporelle du mouvement étant alors :

$$y'' + y = \lambda \left[2\mu \left(e(t) + \cos 2(t + \theta_u) \right) - 2(y' - \epsilon y - \delta y^2) \right]$$
où y'' désigne l'excitation en charge paramétrique.

Les expressions de f_1 , f_2 et g_1 , g_2 deviennent alors

$$f_1(z) = 2 C \sin z - F(z) \cos z$$

$$f_{2}(z) = -2C\int_{0}^{z} cos(z-4)f_{1}(4)d4 - F(z)\int_{0}^{z} sin(z-4)f_{1}(4)d4$$

avec

Dans ce qui suit nous nous proposons de calculer les trois intégrales figurant dans l'expression (4-36) de \Re :

$$\int_{0}^{2\pi} \left[\cos z g_{\lambda}(z) - \sin z f_{\lambda}(z) \right] dz = I$$

$$\int_{0}^{2\pi} \left[\cos z g_{\lambda}(z) - \sin z f_{\lambda}(z) \right] dz = J$$

$$\int_{0}^{2\pi} \left[\cos z g_{\lambda}(z) - \sin z f_{\lambda}(z) \right] dz = J$$

$$\int_{0}^{2\pi} \int_{0}^{2\pi} \sin z g_{\lambda}(z) dz = K$$

soit :

$$I = \int_{0}^{2\sqrt{1}} \left[-2C \cos^{2} \tau - \left(2 \mu \cos 2 (\tau + \theta_{A}) + \epsilon + 3 \delta' y_{0}^{2} \tau \right) \right]$$

$$\left(\sin \tau \cos \tau \right) - 2c \sin^{2} \tau + \left(2 \mu \cos \tau (\tau + \theta_{A}) + \epsilon + 3 \delta' y_{0}^{2} \tau \right)$$

$$+ \epsilon + 3 \delta' y_{0}^{2} \right) \sin \tau \cos \tau \int_{0}^{2} d\tau$$

I = -4TC

Pour calculer J nous allons procéder par étapes : puis

$$y_0 = 2 \cos(z+\theta)$$
, on a:

$$F(z) = 2 \sin(z+\theta) + 8 + 3 \delta y_0^2$$

$$= (8 + 3 \frac{3 2}{2}) + 2 \sin(z+\theta) + 3 \frac{3 2}{2} \cos(z+\theta)$$

Posons par la suite :

$$a_0 = \xi + \frac{3}{2} 8\pi^2$$

$$a_1 = 2\mu$$

$$a_2 = \frac{3}{2} 8\pi^2$$

donc :

$$F(\overline{z}) = a_0 + a_1 \cos 2(\overline{z} + \theta_1) + a_2 \cos 2(\overline{z} + \theta)$$

soit :

$$A(z) = \cot g_{2}(z) - \sin z f_{2}(z)$$

$$= -2c \left\{ \int_{0}^{z} \left[\cos z \cos \left(z - 4 \right) g_{1}(4) - \sin z \cos \left(z - 4 \right) f_{1}(4) \right] dp \right\}$$

$$- F(z) \left\{ \int_{0}^{z} \left[\cos z \sin \left(z - 4 \right) g_{1}(4) \right] dp \right\}$$

$$- \sin z \sin \left(z - 4 \right) f_{1}(4) dp \right\}$$

$$donc:$$

$$A(z) = -2c \int_{0}^{z} B(4) dp - F(z) \int_{0}^{z} C(4) dp$$

où après toute simplification :

$$B(\varphi) = -2C \left[\frac{1}{2} + \frac{1}{2} \cos 2 (\tau - \varphi) \right] + \frac{1}{2} a_0 \sin 2 (\tau - \varphi)$$

$$+ \frac{1}{4} a_1 \left[\sin 2 (\tau + \varphi_1) + \sin 4 (\tau - 2\varphi - \varphi_1) \right]$$

$$+ \frac{1}{4} a_1 \left[\sin 2 (\tau - \varphi) + \sin 4 (\tau - 2\varphi - \varphi) \right]$$

et

$$C(4) = -2c \sin 2(z-4) + \frac{1}{4}a_{5} - \frac{1}{4}a_{5} \cos 2(z-4) + \frac{1}{4}a_{5} \cos$$

ce qui entraîne que :

$$\int_{2}^{2} B(\psi) d\psi = -cz - c \sin 2z + \frac{4}{4} a_{o} (1 - co) + (2 + 4)$$

$$+ \frac{4}{4} a_{o} z \sin 2 (2 + 4) + \frac{4}{32} [co) + (2 + 4)$$

$$+ \frac{4}{32} [co) + (2 + 4) + \frac{4}{32} z \sin 2 (2 + 4)$$

$$+ \frac{4}{32} [co) + (2 + 4) - co) + (2 - 4)$$

az [sin2 (2+0) - sin 20] - az 2 cos (2+0) + ay [Ain2 (2+4) - Sin29] - ay 500,2 (2+9) > C(4) dy = -c (1-1022) + 10,2 - 40 (4)) T(18-5) + 181 + (2+81) + 181 4 (2-8)]

$$+ \frac{\alpha_z}{32} \left[sin4(z+0) + sin4(z-0) \right]$$

$$= E$$

Calcul de
$$A(z)$$
 de $A(z)$ de $A(z)$

$$\int_{0}^{14\pi} A(z) dz = \pi \left[4c^{2}\pi + \frac{1}{2}a_{0}C - \frac{1}{2}ca_{1}ca_{2}2\theta_{1} - \frac{1}{2}ca_{2}ca_{2}2\theta_{1} - \frac{1}{2}ca_{2}ca_{2}ca_{2}2\theta_{1} - \frac{1}{2}ca_{2}ca_{2}2\theta_{1} - \frac{1}{2}ca_{2}ca_{2}2\theta_{1} + \frac{1}{2}ca_{2}a_{2}\theta_{1}2\theta_{1} + \frac{1}{2}ca_{2}ca_{2}2\theta_{1} + \frac{1}{2}ca_{2}ca_{2}2\theta_{1} + \frac{1}{2}ca_{2}ca_{2}2\theta_{1} + \frac{1}{2}ca_{2}ca_{2}2\theta_{1} + \frac{1}{2}ca_{2}ca_{2}ca_{2}2\theta_{1} + \frac{1}{2}ca_{2}ca_{2}ca_{2}ca_{2}da_{2}ca_{2}da_{$$

Calcul de K

et

$$K = \int_{0}^{2\pi} \sin^{2} g_{1}(z) dz = -a_{0}\pi + \frac{1}{2}\pi a_{1}\cos^{2} \theta_{1}$$

$$+ \frac{1}{2}\pi a_{2}\cos^{2} \theta$$

Conclusion

La somme des racines de l'équation de stabilité au troisième ordre près en λ est :

où
$$a_0 = \mathcal{E} + \frac{3}{2} \sqrt{\chi^2}$$

$$a_1 = 2 \int$$

$$a_2 = \frac{3}{2} \sqrt{\chi^2}$$

C) Conditions de stabilité

Pour que les racines de l'équation :

soient comprises entre 1 et - 1 il faut :

La première condition est vérifiée pourvu que $|\lambda|$ soit assez petit.

Pour la seconde on a :

Per e =
$$1 - 4\lambda c \pi$$

P = $e^{-4\lambda c \pi}$
= $1 - 4\lambda c \pi + 8c^2 \pi^2 \lambda^2 + 9(\lambda^3)$

et les conditions de stabilité sont :

$$\frac{1}{4}\pi c^{2} + (c+2\mu)a_{0} - \frac{1}{2}(c+2\mu)a_{1} \cos 2\delta_{1}$$

$$-\frac{1}{2}(1+c)a_{2}\cos 2\theta - a_{0}^{2}\pi + \frac{1}{4}(\pi + \frac{1}{4}\sin 4\theta_{1})a_{1}^{2}$$

$$+\frac{1}{4}(\pi + \frac{1}{4}\sin 4\theta)a_{1}^{2} + \frac{a_{1}a_{2}}{2}(\pi\cos (2\theta + 2\theta_{1}))$$

$$-\frac{1}{4}\sin (2\theta - 2\theta_{1}) > 0$$

$$\frac{1}{2} \left(\frac{1}{4} - \frac{1}{4} \right) a_{0} + \frac{1}{2} \left(\frac{1}{4} \right) a_{0} = 2\theta_{0}$$

$$+ \frac{1}{2} \left(\frac{1}{4} \right) a_{1} \cos 2\theta + a_{0}^{2} \pi - \frac{1}{4} \left(\pi + \frac{1}{4} \sin 4\theta_{0} \right) a_{1}^{2}$$

$$- \frac{1}{4} \left(\pi + \frac{1}{4} \sin 4\theta \right) a_{1}^{2} - \frac{a_{1} a_{2}}{2} \left(\pi \cos \left(2\theta + 2\theta_{0} \right) - \frac{1}{4} \sin \left(2\theta - 2\theta_{0} \right) - \Lambda 2 \pi \right) = 0$$

Cette dernière condition est vérifiée si (λ) est petite. En résumé pour (λ) petit, la condition de stabilité est :

$$4C^{2}\Pi + (c + 2\mu)a_{0} - \frac{1}{2}(c + 2\mu)a_{1}a_{2}a_{2}e_{1}$$

$$-\frac{1}{2}(c + 2\mu)a_{2}c_{0}2\theta - a_{0}^{2}\Pi + \frac{1}{4}(\Pi + \frac{1}{4}s_{0}^{2}\mu)a_{1}^{2}$$

$$+\frac{1}{4}(\Pi + \frac{1}{4}s_{1}n_{1}+4)a_{1}^{2} + \frac{a_{1}a_{2}}{2}(\Pi cos(2\theta + 2\theta_{1}))$$

$$-\frac{1}{4}s_{1}n_{1}(2\theta - 2\theta_{1})) > 0$$

avec :

$$Q_0 = \xi + \frac{3}{2} \sqrt{\chi^2}$$

$$Q_1 = 2 \mu$$

$$Q_2 = \frac{3}{2} \sqrt{\chi^2}$$

CHAPITRE Y

LIAISONS SPATIALES INSTANTANEES

AVEC

SYNCHRONISATION ENTRE DEUX OSCILLATEURS.

1.- FORMULATION DU PROBLEME

Dans ce chapitre, nous considérons deux oscillateurs voisins dépendant d'un paramètre λ , en liaison par choc et excités par des percussions de période T, $T\omega = 2\pi$ et d'amplitude K inconnue. Nous supposons que les pulsations respectives Ω_A , Ω_2 des vibrations de chacun des oscillateurs sont légèrement différentes; soit :

$$\Omega_1^2 = \omega^2 (1 + \lambda \mathcal{E}_1)$$

$$\Omega_2^2 = \omega^2 (1 + \lambda \mathcal{E}_2)$$

 \mathcal{E}_{1} et \mathcal{E}_{2} désignant des paramètres non nuls.

Le système étant réalisé, peut-on obtenir la synchronisation de la période T sur les périodes des oscillateurs pour certaines valeurs de l'amplitude K?

Pour cette étude, nous supposons que les équations différentielles régissant les mouvements de ces oscillateurs sont de la forme :

$$\chi_{1}'' + \omega^{2}\chi_{1} = \lambda \left[\mathcal{E}_{1}\chi_{1} + P_{1}(\chi_{1}, \chi_{1}', t) + Ke(t) \right]$$

$$= \lambda Y_{1} \left(\chi_{1}, \chi_{1}', t \right)$$
(5-1)

$$\mathcal{K}_{2}^{"}+\omega^{2}\chi_{2}=\lambda\left[\mathcal{E}_{2}\chi_{2}+\mathcal{P}_{2}(\mathcal{X}_{2},\chi_{1}^{\prime},t)-K\varepsilon(t)\right]$$

$$=\lambda \, \mathcal{L}_{2} \left(\chi_{2}, \chi_{2}', t \right) \tag{5-2}$$

où l'ensemble des fonctions et des constantes satisfait aux hypothèses (\mathcal{H}_{d}) suivantes :

1) K doit être choisi pour que la condition de coı̈ncidence instantanée

$$\chi_1(0) = \chi_2(0) \tag{5-3}$$

soit satisfaite.

- 2) $|\lambda|$ est supposée petite et $\lambda \neq 0$.
- 3) On suppose $\mathcal{E}_1 \neq \mathcal{C}$ et $\mathcal{E}_2 \neq \mathcal{O}$.
- 4) E(t) est une percussion ayant pour expression : $E(t) = E_{i} Q_{i} E_{i}(t)$

où les \mathcal{X}_{t} sont des constantes telles que

$$E_{i}(t) = T = S(t - t_{i} - nT)$$

les t_i sont des constantes vérifiant :

le nombre des 💪 est arbitraire mais fini.

5) Les \mathcal{X}_{i} sont des fonctions de t de période T et des coordonnées \mathcal{X}_{i} , \mathcal{X}_{i} ,

 $\mathcal{G}(t)$ de période \mathcal{T} ; les \mathcal{G}_t sont des polynômes et

$$\frac{\partial P_i}{\partial x_i}(o, e, t) = 0$$

$$i = 1, 2$$
(5-4)

6) Les \mathcal{R} satisfont par ailleurs à des hypothèses (\mathcal{H}_2) précisées plus loin.

Dans la première partie de cette étude, nous étudions l'existence de solutions périodiques du système d'équations différentielles non linéaires (5-1)-(5-2)-(5-3). Nous déterminons K, amplitude des percussions en deux étapes : $K=K_0+K'$.

- La première consiste à trouver K_{o} , valeur principale de K à l'aide des équations de synchronisation;
- La deuxième étape concernant \mathcal{K}' utilise une méthode d'approximation à partir de la solution du système et de \mathcal{K}_{o} .

Dans la dernière partie nous étudions la stabilité de la solution de synchronisation.

Dans la suite, pour simplifier les calculs nous supposerons que W.- 1.

11.- EXISTENCE DES SOLUTIONS PERIODIQUES DU SYSTEME (5-1)-(5-2)-(5-3)

II.1) Préliminaires

Dans le cadre des systèmes non linéaires excitées par des percussions R. FAURE [15, 18] a démontré les résultats suivants :

On considère le système :

$$\frac{d\mathcal{X}_{j}}{dt} = \lambda \mathcal{Y}_{j}(\mathcal{X}_{k}, t) \quad (j, k=1, ..., n, \lambda \rightarrow e)$$
où
$$\mathcal{Y}_{j} = \mathcal{O}_{j}(\mathcal{X}_{k}, t) + \sum_{i, n} \mathcal{X}_{i} : \mathcal{S}(t - t_{i} - n\tau)$$
les \mathcal{O}_{i} sont des fonctions de \mathcal{X}_{i} to down fois continuent dévisebles

les \mathcal{O}_{j} sont des fonctions de \mathcal{H}_{k} , \mathcal{E} deux fois continûment dérivables par rapport à \mathcal{H}_{k} , \mathcal{E} pour tout \mathcal{E} et pour (\mathcal{H}_{k}) appartenant à un domaine Les $\mathcal{O}_{j,l}$ sont des constantes facteurs des percussions $\mathcal{S}(\mathcal{E} - \mathcal{E}_{i,j} - \mathcal{N}\mathcal{T})$.

Théorème 1

Si $(\mathcal{G}_k)_{k=1,\dots,N}$ sont des constantes telles que les intégrales suivantes étant de Rieman,

$$\int_{C}^{T} (\theta_{k}, s) ds + = \int_{0}^{T} = 0 \qquad (Z_{2})$$

les fonctions (\mathcal{O}_{k}) étant continûment dérivables au voisinage de (\mathcal{O}_{k}) , alors le système (\mathbb{Z}_{1}) admet en général un système de solutions périodiques pour $|\mathcal{A}|$ suffisamment petite, ces solutions sont pour $|\mathcal{A}|$ petite, voisines de $(\mathcal{O}_{k})_{k=1,\ldots,N}$.

En outre si on pose :_

$$\overline{F}_{j}(X_{k}) = \frac{1}{T} \int_{c}^{T} (X_{k}, t) dt \quad j, k = 1, ..., n$$

la stabilité du système (\leq_1) au voisinage de (\mathcal{O}_{4}) est donnée en général par la stabilité du système (\leq_3) au voisinage de (\mathcal{O}_{4}) pour $|\mathcal{A}|$ assez petite :

$$\frac{dX_j}{dt} = \lambda f_j(X_k) \; ; \; j, k = 1, \quad , n \quad (\Xi_3)$$

les f sont les fonctions associées au système (Z_1) .

Nous allons appliquer et démontrer ces résultats dans le cadre du système (5-1)-(5-2)-(5-3). Pour cela nous montrons dans le paragraphe ci-dessous que ce système d'équations différentielles conduit à un système du type en lui appliquant la méthode de la variation des constantes [17].

II.2) Equations de synchronisation

Cherchons une solution du système d'équations (5-1)-(5-2)-(5-3) sous

$$\chi_1(t) = \alpha_1(t) \cos t + b_1(t) \sin t$$

 $\chi_2(t) = \alpha_1(t) \cot t + b_1(t) \sin t$

avec :

$$a'_1(t)$$
 cost + $b'_1(t)$ sint = 0
 $a'_2(t)$ cost + $b'_2(t)$ sint = 0

en appliquant la méthode de la variation des constantes. On a alors le système :

$$\begin{aligned}
\Theta'_1 \cos t + b'_1 \sin t &= 0 \\
\Theta'_2 \cos t + b'_2 \sin t &= 0 \\
-\Theta'_1 \sin t + b'_1 \cos t &= \lambda Y_1(t) \\
-\Theta'_2 \sin t + b'_2 \cos t &= \lambda Y_2(t)
\end{aligned}$$
(5-5)

qui conduit à

$$\frac{\mathcal{Q}(\mathcal{C}_4)}{\mathcal{C}(t)} = -\lambda \mathcal{Y}, \quad \text{sint} = \lambda \left[\mathcal{C}_4, -\left(\mathcal{K} = \mathcal{K}_4, \mathcal{C}_4(t) \right) \right) \right]$$

$$\frac{dh_1}{dt} = \lambda 4 \text{ font} = \lambda \left[4 + (K = X \in (t)) \text{ inst}\right]$$

$$\frac{d\theta_2}{dt} = -\lambda Y_2 \sin t - \lambda \left[Y_3 + \left(K = X_1 \mathcal{E}_i(t) \right) \sin t \right]^{(5-6)}$$

$$\frac{\partial b_{\ell}}{\partial t} = \lambda \, \forall_{\ell} \, \cos t = \lambda \left[\mathcal{C}_{\mu} - (K = \mathcal{K}_{c}(t)) \cos t \right]$$

$$Q_{1} = -\left(\mathcal{E}_{1} \, \mathcal{X}_{1} + P_{1} \left(\mathcal{X}_{1}, \mathcal{X}_{1}', t\right)\right) \operatorname{xint}$$

$$Q_{2} = \left(\mathcal{E}_{1} \, \mathcal{X}_{1} + P_{1} \left(\mathcal{X}_{1}, \mathcal{X}_{1}', t\right)\right) \operatorname{cest}$$

$$Q_{3} = -\left(\mathcal{E}_{2} \, \mathcal{X}_{1} + P_{2} \left(\mathcal{X}_{2}, \mathcal{X}_{2}', t\right)\right) \operatorname{xint}$$

$$Q_{4} = \left(\mathcal{E}_{2} \, \mathcal{X}_{2} + P_{2} \left(\mathcal{X}_{2}, \mathcal{X}_{2}', t\right)\right) \operatorname{cest}$$

On est ainsi ramené comme dans le cas classique à un système d'équations de période $\overline{I-2/I}$ qui a été étudié dans un cas plus général que le système (5-6) dans [15].

Les conditions $(=_Z)$ du Théorème 1 (cf. Préliminaires; \$ II-1 de ce chapitre) sont, compte tenu des percussions :

$$-\int_{c}^{2\pi} \left[P_{1}(x_{1}, x_{1}', t) + \varepsilon_{1} x_{1} \right] \operatorname{sint} dt - K_{0} = x_{1} \operatorname{xint}_{i} = 0$$

$$(5-6a)$$

$$-\int_{c}^{2\pi} \left[P_{1}(x_{1}, x_{1}', t) + \varepsilon_{1} x_{2} \right] \operatorname{cest} dt + K_{0} = x_{1} \cdot \operatorname{cost}_{i} = 0$$

$$-\int_{0}^{2\pi} \left[P_{2}(x_{2}, x_{2}', t) + \varepsilon_{2} x_{2} \right] \operatorname{sint} dt + K_{0} = x_{1} \cdot \operatorname{sint}_{i} = 0$$

$$\int_{c}^{2\pi} \left[P_{2}(x_{2}, x_{2}', t) + \varepsilon_{2} x_{2} \right] \operatorname{cest} dt - K_{0} = x_{1} \cdot \operatorname{cest}_{i} = e$$

$$(5-6b)$$

(5-6a) - (5-6b) est le système des équations de Bifurcation-Synchronisation.

 K_c est une valeur approchée de K .

Les fonctions associées au système (5-6) sont définies par :

$$F_{n}(\alpha_{n},b_{n})=-\frac{1}{2\pi}\int_{0}^{2\pi}Y_{n}(\alpha_{n},b_{n},t)\sin t\,dt$$

$$\overline{F_2}(\alpha_1, b_1) = \frac{1}{2\pi} \int_0^{2\pi} Y_1(\alpha_1, b_1, t) \cos t \, dt$$

$$F_3(a_2,b_2) = -\frac{1}{2\pi} \int_{\epsilon}^{2\pi} Y_2(a_2,b_2,t) \operatorname{sint} dt$$

et la stabilité de (5-6) dépend donc du système :

$$\frac{db_1}{dt} = \lambda F_2(a_1, b_1)$$

$$\frac{\partial C_{l_2}}{\partial t} = \lambda F_3 (G_2, b_2)$$

$$\frac{\partial b_i}{\partial t} = \lambda F_4 (G_2, b_2)$$
(5-8)

On cherche alors des solutions constantes pour \mathcal{A}_1 , b_1 , \mathcal{A}_2 , b_2 et \mathcal{K}_C du système de bifurcation-synchronisation (5-6a) - (5-6b). Compte tenu de l'hypothèse de coıncidence spatiale (5-3) $\mathcal{X}_1(C) = \mathcal{X}_2(C)$ on a :

On a alors les 5 équations nécessaires à la détermination des 5 constantes :

On suppose résolu le système numérique et que le système de solutions :

$$\begin{aligned}
G_1 &= \overline{G} \\
G_2 &= \overline{G} \\
S_1 &= \overline{S_1} \\
S_2 &= \overline{S_2} \\
K_2 &= \overline{K_0}
\end{aligned} \tag{5-9}$$

est non identiquement nul.

On considère les hypothèses supplémentaires (\mathcal{H}_2) suivantes :

Les solutions $\overline{C_1}$, $\overline{C_2}$, $\overline{b_2}$, $\overline{b_2}$, $\overline{K_0}$, $\overline{C_1} = \overline{C_2}$ n'étant pas identiquement nulles, on suppose que les fonctions $P_1(U,V,t)$,

$$P_2(u, v, t)$$
 admettent au voisinage des solutions : $\overline{M}_1 = \overline{G}_1(\omega)t + \overline{b}_1 \mathcal{M}nt$

des dérivées partielles premières et secondes dans un domaine $\mathcal{O}(\mathcal{K}_1)$.

avec :

$$G_{1} = G_{1} + G_{1}$$

$$b_{1} = \overline{b}_{1} + G_{2}$$

$$G_{2} = \overline{G}_{2} + G_{3}$$

$$b_{2} = \overline{b}_{2} + G_{1}$$

$$D(R_{1}) \text{ défini par } = \frac{h}{|G_{1}|} G_{1}^{2} \leq R_{1}^{2}$$

On désigne par O(R) l'ensemble des points $N(G_1,G_2,G_3,G_4)$ défini par :

En utilisant les hypothèses on a alors le système ci-dessous :

$$\frac{dQ_{1}}{dt} = \lambda \left[P_{11} Q_{1} + P_{12} Q_{2} + Q_{1}(t) + R_{1}(Q_{1}, Q_{2}, t) - K \underbrace{=}_{i,n} X_{i} \cdot int_{i} S(t - t_{i} - 2n\pi) \right]$$
 (5-10a)

$$\frac{dQ_{2}}{dt} = \lambda \left[P_{2}, Q_{1} + P_{2}, Q_{2} + \mathcal{E}_{2}(t) + K_{2}(Q_{1}, Q_{2}, t) + K_{2}(Q_{1}, Q_{2}, t) + K_{2}(Q_{1}, Q_{2}, t) \right]$$

$$\frac{e(a_3)}{e(t)} = A[P_3, q_3 + P_3, q_4 + C_3(t) + R_3(q_3, q_4, t)] + K = \frac{A_1 + A_2 + A_3 + A_4 + A_3 + A_4 + A_4 + A_5 + A_5 + A_4 + A_5 +$$

(5-10b)

$$\frac{GG_{4}}{Gt} = \lambda \left[P_{n3} G_{3} + G_{44} G_{4} + C_{4}(t) + R_{4}(G_{3}, G_{4}, t) - K \underbrace{\Xi_{4}^{*}}_{i,n} \operatorname{cost}_{i}^{*} S(t - t_{i} - 2n\pi) \right]$$

avec

$$\begin{aligned} P_{ij} &= \frac{\partial q_{i}^{2}}{\partial q_{j}^{2}} \left(e, o, t \right) \\ \mathcal{C}_{i} &= q_{i}^{2} \left(\overline{\chi}_{k}, \overline{\chi}_{k}^{2}, t \right) & \lambda &= 1, 2, k = 1 \\ & \lambda &= 3, 4, k = 2 \end{aligned}$$

$$R_{i} &= q_{i}^{2} \left(\chi_{i}, \chi_{j}^{2}, t \right) - q_{i}^{2} \left(\overline{\chi}_{j}^{2}, \overline{\chi}_{j}^{2}, t \right) - \frac{\partial q_{i}^{2}}{\partial q_{j}^{2}} \left(b, e, t \right) q_{i}^{2} \end{aligned}$$

les \mathcal{X}_{i} calculés comme les $\overline{\mathcal{X}_{i}}$ mais en remplaçant les $\overline{\mathcal{G}_{j}}$ par $\overline{\mathcal{G}_{j}} + \mathcal{G}_{j}$ avec pour i = 1, 2, j = 1, 2 et pour i = 3, 4 j = 3, 4 La condition $= \mathcal{G}_{i}^{2} \times \mathcal{F}_{i}^{2}$ pour tout f = f entraîne : $|\mathcal{M}_{ax} \mathcal{R}_{i}| \times \mathcal{F}_{i}^{2} \times \mathcal{F}_{i}^{2}$ $|\mathcal{M}_{ax} \mathcal{R}_{i}| \times \mathcal{F}_{i}^{2} \times \mathcal{F}_{i}^{2}$ $|\mathcal{M}_{ax} \mathcal{R}_{i}| \times \mathcal{F}_{i}^{2} \times \mathcal{F}_{i}^{2}$ $|\mathcal{M}_{ax} \mathcal{F}_{i}| \times \mathcal{F}_{i}^{2} \times \mathcal{F}_{i}^{2}$

Donc si les \mathcal{R}_i sont calculés à partir de $\mathcal{G}_{i,n-1}$ terme d'une récurrence avec $\mathcal{M}\left(\mathcal{G}_{i,n-1}\right)\in\mathcal{N}(\mathcal{K})$ on a également :

Dans le paragraphe ci-dessous nous démontrons le Théorème 1 (du $\$ II-1 de ce Chapitre) dans le cadre du système (5-10a) - (5-10b). Nous montrons que la solution de ce système est la limite, si elle existe, d'une récurrence $(G_1, G_2, G_3) \in \mathcal{O}(\mathcal{R})$.

II.3) Preuve du Théorème 1

Les équations (5-10a) - (5-10b) sont à coefficient périodiques de période 2// . On utilise alors pour déterminer les solutions périodiques la méthode classique valable pour le cas des équations différentielles [17,18]:

$$\frac{d\chi_i}{dt} = \lambda \left[\sum_{j=1}^n P_{ij} \chi_j + h_i(t) + \dots \right] \left(\sum_{i=1}^n P_{ij} \chi_j + h_i(t) \right]$$

où \mathcal{H}_{i} ici sont des fonctions continues, le système (Ξ_{ii}) étant de période 2π . On écrit alors pour le cas (Ξ_{ii}) .

$$x_i = \lambda = (a_i + 3_i)y_{ij}$$
 ; $i = 1, ..., n$ (z_5)

où les \mathcal{G}_{ij} sont les solutions canoniques du système linéaire homogène à coefficients périodiques; c'est-à-dire celles qui vérifient les relations :

$$y_{ij}(2\pi) = S_{ij}(0)$$
 (E_{6})

où les S_J sont les nombres de Floquet. Les \mathcal{C}_J et le S_J sont alors déterminées de la manière suivante :

$$3_{j}(t) = = \begin{cases} t \\ H_{k_{j}}(0, \lambda) h_{k}(0) db \end{cases} (= 9)$$

avec

$$H'_{k,l} = \frac{H_{k,l}(t,\lambda)}{H(t,\lambda)}$$

où $\mathcal{H}_{k,l}(t,\lambda)$ est le mineur des $\mathcal{H}_{l,l}(t,\lambda)$ dans le déterminant $\mathcal{H}(t,\lambda)$ des $\mathcal{H}_{l,l}(t,\lambda)$;

$$a_{j} = \frac{s_{j}}{1-s_{j}} \, s_{j} \, (2\pi)$$
 (58)

les nombres $\mathcal{S}_{\mathbf{j}}$ de Floquet étant supposés distincts et différents de 1.

Nous appliquerons ces formules du cas continu au cas des systèmes à distribution S en tenant compte de celle-ci; en remarquant qu'ici le nombre d'équations est quatre.

L'équation (5-3) de coîncidence instantanée $\mathcal{X}_{1}(c) = \mathcal{X}_{2}(c)$ devient ici :

$$Q_{1}(0) = Q_{1}(e)$$

$$Q_{1}(0) = \lambda = (Q_{1} + 3_{1}(0)) Y_{1}(0)$$

$$Q_{3}(0) = \lambda = (Q_{1} + 3_{1}(0)) Y_{3}(0)$$

$$Q_{3}(0) = \lambda = (Q_{1} + 3_{1}(0)) Y_{3}(0)$$

$$3_{s}(t) = \{ f | H_{k}, h_{k}(s) \in S \}$$

donc on ne doit tenir compte que des G_j dans l'égalité $G_{ij}(C) = G_{ij}(C)$ et non des $G_{ij}(C) = G_{ij}(C) = G_{ij}(C)$.

Les expressions des $\mathscr{H}_{K}(\mathfrak{I})$ sont données ici par :

Pour k = 1,3:

avec $\mathcal{E}=-1$ pour k=1, $\mathcal{E}=+1$ pour k=3

Pour k = 9, 4: (5-11)

avec $\xi = \pm 1$ pour k = 2, $\xi = -1$ pour k = 4.

On définit alors $K = K_o + K'$, K_o étant défini par les équations de bifurcation-synchronisation.

 $H'_{k,j} = H_{k,j}(t,\lambda)/H(t,\lambda)$ est une fonction analytique de λ pour λ suffisamment petite; $\alpha \leq t \leq 2\pi$.

On a :

$$H_{k,j}' = H_{k,j,c}' + \lambda H_{k,j,1}$$
 (5-12)

où $\mathcal{H}_{k,o}$ est une constante.

$$0 = .7 cm \cdot k \stackrel{?}{=} ^{2} \gamma 3 + cp(c(^{l}q(^{l}n)) \stackrel{?}{+} 0)$$

$$(^{+1}l-5)$$

$$E = 4 \text{ is } l+=3 \text{ } 2 = l^{2} \text{ } 1=4 \text{ is } l-=3 \text{ } 2 \text{ } l = l \text{ } 00.$$

Dans cette équation remplaçons (1) par leurs expressions respectives (5-11) et (5-12), en tenant compte des équations de synchronisation:

l'équation (5-12) devient alors :

: suosod

in écrivant l'égalité (0) (0) = (0) on obtient :

avec j=1 et $\mathcal{E}=+1$ si k=2, j=2 et $\mathcal{E}=-1$ si k=4

$$A = \frac{4}{3-1} \left\{ \frac{S_3}{\beta_3} \left[\frac{4}{k-1} \right] A \right\} \left\{ \frac{2\pi}{k_3}, \frac{1}{k_4}(n) dn \right\} \left\{ \frac{3}{3} \right\} 0$$

$$-\frac{1}{N-1}\left\{\frac{S_{j}}{P_{j}}\left\{\frac{S_{j}}{R}\left\{\frac{S_{j}}{R}H_{k,lc}\right\}\right\}^{2\pi}_{R}ds\right\}\right\}y_{13}c$$

$$+ \sum_{j=1}^{4} \left\{ \frac{S_{0}}{B_{j}} \left\{ \frac{S_{0}}{R} + \frac{1}{2} \left\{ \frac{S_{0}}{R} \right\} \right\} \right\} \frac{S_{0}}{R} \left\{ \frac{S_{0}}{R} + \frac{1}{2} \left\{ \frac{S_{0}}{R} + \frac{1}{2}$$

tous les β_t étant supposés différents de zéro.

Pour montrer l'existence de la solution, on procède par récurrence dans (5-10a) - (5-10b) et (5-15); on suppose connus les 9, p-1, on calcule alors K/ à partir de (5-15). On porte alors la valeur de K/ dans

les équations (5-10a) - (5-10b) considérées comme système ($\mathbb{Z}_{\mathcal{H}}$) en calculant les $\mathcal{H}_{i,p}$ à partir des $\mathcal{H}_{i,p-1}$ et \mathcal{H}_{p-1} les $\mathcal{H}_{i,p}$ étant des fonctions de période $2\mathbb{Z}$, puis à nouveau on calcule $\mathcal{H}_{i,p}$ et ainsi de suite. On prend pour valeurs initiales de récurrence :

$$K'_{0} = q_{i0} = 0$$
 $i = 1, 2, 3, 4$

Définissons maintenant les récurrences :

On définit :

$$Q_{ip} = \lambda = (Q_{ip-1} + 3_{j,p-1})y_{ij}$$
 (5-17)

où les $G_{p,p-1}$ et $G_{p,p-1}$ sont calculés à partir des $G_{p,p-1}$ et K_{p-1} ; les $G_{p,p-1}$ sont les solutions canoniques du système (5-10a) - (5-10b) K_{p} est défini à partir de (5-15).

Majoration de 9, p et Kp

Nous voulons majorer les $\mathcal{G}_{i,l'}(t)$ dans l'ensemble de l'intervalle $\{e, 9\pi\}$ compte tenu des percussions éventuelles; ceci pour \mathbb{A}/p petit, \mathbb{A}/\mathbb{A} , \mathbb{A}_e constante. Nous devons pour cela majorer les différents termes \mathbb{A}_i , $\mathbb{A}_i(t)$ pour $0 \le t \le 2\pi$. On peut écrire comme ci-dessus $\mathbb{A}_i(t)$ pour $\mathbb{A}_i(t)$ pour $\mathbb{A}_i(t)$ étant des constantes supposées ici non toutes nulles. Alors le nombre correspondant $\mathbb{A}_i(t)$ est :

$$=\frac{S_0}{\beta_0} = \int_{\epsilon}^{2\pi} H_{k_0}(2) f_{k_0}(2) ds$$

il en résulte que pour

avec

mais

où $\mathcal{H}_{k,c}$ est constante par rapport à) et à λ ; il en résulte que la partie principale de $\mathcal{H}_{k,r}$, $\mathcal{H}_{k,r}$, $\mathcal{H}_{k,r}$, $\mathcal{H}_{k,r}$, est donc celle de :

$$H_{k,n}^{\prime}(z)ds = H_{k,n}^{\prime}(z)ds = H_{k,n}^{\prime}(\bar{a}_{i}, \bar{b}_{i}, b)ds$$

$$+ \int_{0}^{2\pi} R_{k}(\bar{a}_{i}, \bar{b}_{i}, z)ds + \varepsilon K = \alpha_{i} \sin t_{i}$$

Qivec
$$\varepsilon = -1$$
 pour $k=1$, $\varepsilon = +1$ pour $k=3$

$$H'_{kj0}$$
 $\int_{0}^{2\pi} h_{k,p,1}(\Delta) d\Delta = H'_{kj0} \left[\int_{0}^{2\pi} \mathcal{D}_{k}(\overline{a}_{i}, \overline{e}_{i}, \Delta) d\Delta + \int_{0}^{2\pi} \mathcal{R}_{k}(\overline{a}_{i}, \overline{b}_{i}, \Delta) d\Delta + \sum_{i} k \sum_{i} k_{i} \cos k_{i} \right]$

avec $\mathcal{E} = \Lambda$ pour k = 2; $\mathcal{E} = -\Lambda$ pour k = 4. Mais compte tenu des équations de synchronisation (5-14), cette partie principale est réduite à \mathcal{E}_{kj} \mathcal{E}_{kj

Il reste à majorer $\sum_{i} z_{i}$ avec :

$$Z_j(t) = \sum_{k} \int_{-k}^{t} H'_{kj} f_k(A) ds.$$

Les $\mathcal{Y}_{\mathcal{A}}(\mathcal{L})$ étant toujours bornés, on voit que les expressions $\mathcal{Y}_{\mathcal{A}}(\mathcal{L})$ en tenant compte des percussions, sont majorées, pour $\mathcal{OLL}(\mathcal{L})$ par une constante :

$$\left(\lambda_{2} R^{2} + \lambda_{3} \right) |\lambda| \qquad (5-18)$$

où d_2 , d_3 sont des constantes. Les percussions interviennent dans le termes d_3 $|\lambda|$. D'où :

$$|q_{ip}(t)| \leq 8R^2 + y|x|$$
(5-19)

où γ et γ sont des constantes indépendantes de λ et de R; pour $|\lambda| < \lambda_o$, pour $t \in (0, 2\pi)$ et supposant $(q_{i_1, p_{-1}}) \in \mathcal{V}(k)$.

Par conséquent:

$$|\mathcal{L}_{\mathcal{L}}(e, 2\pi)| \leq \mathcal{L}^{2} + \mathcal{D}A \qquad (5-20)$$

La suite $(\mathcal{A}_{x,p})$ appartiendra toujours à D(R) si $(\mathcal{A}_{x,p})^2 \langle P^2 \rangle$; ce qui a lieu si $(\mathcal{A}_{x,p})^2 \langle P^2 \rangle \langle P^2 \rangle$

si cette condition est réalisée avec la condition avec la condition $\mathcal{A}_{C} = \mathcal{O}$, on a toujours $(\mathcal{A}_{CP}) \in \mathcal{D}(\mathcal{K})$.

Si nous voulons que la suite converge, après avoir remarqué que dans la différence $\mathcal{A}_{l,p+1} = \mathcal{A}_{l,p}$ n'interviennent ni $\mathcal{C}(\mathcal{C}_{l}, \overline{\mathcal{C}}_{l}, \mathcal{C})$, ni les percussions on obtient une inégalité :

On voit qu'il suffit alors que \mathcal{E}_{AR} (1 pour qu'il y ait convergence car alors la suite (\mathcal{A}_{AR}) est Cauchy.

La convergence aura certainement lieu dans le domaine $\mathcal{O}(R)$, $1\lambda/\langle\lambda_o$ si les conditions (5-20) et (5-21) sont réalisées avec $\mathcal{O}_{lo}=0$; la réalisation de (5-20) et (5-21) aura certainement lieu si :

Compte tenu de la formule (5-15) donnant l'expression de K', la majoration de K' se fait comme celle des $\mathcal{R}_{i,k}$ et de même celle de $\mathcal{R}_{i,k}$

 $|K_{p+1} - K_{p}|$ Les suites (G_{n}) et (K_{n}) sont donc de Cauchy et par conséquent elles convergent vers des limites G_{ℓ} et K_{ℓ} respectivement. Le Théorème 1 est démontré.

Les convergences étant uniformes; les équations (5-1) - (5-2) - (5-3)

ont une solution. D'où le théorème suivant :

Théorème 2

En général le système d'équations différentielles (5-1) - (5-2) - (5-3) satisfaisant aux hypothèses $\mathcal{H}_1 + \mathcal{H}_2$ admet des solutions périodiques de période 2π pour 11 petit. Lorsque 11 tend vers zéro les solutions tendent vers les valeurs $\overline{\mathcal{H}_2}$, $\overline{\mathcal{H}_2}$, $\overline{\mathcal{H}_2}$, $\overline{\mathcal{H}_2}$ définies par les équations de synchronisation (5-6a) - (5-6b).

III. - APPLICATIONS - ETUDE DE LA STABILITE

III.1) Position du problème

Dans ce paragraphe nous étudions en détails les problèmes de la synchronisation et de la stabilité dans le cas où le système (5-1) - (5-2) - (5-3) est composé d'équations différentielles régissant les mouvements de plaques rectangulaires excitées par des percussions périodiques de période $T=2\pi$; soit avec λ suffisamment petit et λ une constante positive :

$$\ddot{W}_{1} + W_{1} = \lambda \left[Ke(t) - 2e \dot{W}_{1} - \chi_{1} \dot{W}_{1}^{3} - \varepsilon_{1} \dot{W}_{1}^{3} \right]$$

$$= \lambda \left(\chi_{1} (W_{1}, \dot{W}_{1}, t) \right)$$
(5-19)

avec la condition de coîncidence :

$$N_{2}(e) = N_{2}(e)$$
 (5-21)

K désignant ici encore l'amplitude de la percussion
$$e(t) = \sum_{n=-\infty}^{+\infty} S(t-n7)T$$

Dans ce qui suit nous nous proposons de chercher les <u>équations de</u> synchronisation, les points de synchronisation, de discuter les conditions de stabilité au voisinage de chacun de ces points.

Nous déterminons les conditions de synchronisation en couplant les deux éléments du système. Les conditions de stabilité sont étudiées séparément, mais nous déterminons les conditions sous lesquelles le système d'oscillateurs est globalement stable.

III-2) Equations de synchronisation

Cherchons une solution des équations (5-19) - (5-20) - (5-21) sous la forme :

$$W_1(t) = \alpha_1(t) cent + b_1(t) sint$$

$$W_2(t) = \alpha_2(t) cent + b_2(t) sint$$

en utilisant la méthode de la variation des constantes. On a le système suivant:

$$\frac{\partial(\alpha_1}{\partial t} = \alpha_1' = -\lambda Y_1(w_1, w_1, t) \text{ sint}$$

$$\frac{\partial(b_1)}{\partial t} = b_1' = \lambda Y_1(w_1, w_1, t) \text{ cost}$$
(5-22)

$$\frac{\partial \alpha_2}{\partial t} = \alpha_2' = -\lambda \, Y_2(W_2, W_2, t) \, \text{sint}$$

$$\frac{\partial b_2}{\partial t} = b_2' = \lambda \, Y_2(W_2, W_2, t) \, \text{cost}$$
(5.22)

Les fonctions associées à ce système sont définies par :

$$F_{1}(\Theta_{1},b_{1}) = -\frac{1}{2\pi} \int_{-\pi}^{\pi} (W_{1},W_{1},t) \sin t \, dt$$

$$F_3(\theta_2, t_2) = -\frac{1}{2\pi} \begin{cases} \Psi_2(W_2, W_2, t) \text{ aint dt} \end{cases}$$
 (5.23)

$$F_u(a_2,b_2) = \frac{1}{2\pi} \int_{-\pi}^{\pi} (w_2,i_2,t) \cot t dt$$

avec en tenant compte du fait que : Jui 21111 = 0 et Con 21111 = 1:

$$\int_{-\pi}^{\pi} Y_{1}(v_{1}, \dot{v}_{1}, t) \text{ sint elt} =$$

$$= \int_{-\pi}^{\pi} \left[k = S(t-1)T - 2c(-\theta_{1}) \sin t + b_{1} \cos t \right] dt$$

$$- \varepsilon_{1} \left(\varepsilon_{1} \cos t + b_{1} \sin t \right) - \delta_{1} \left(\varepsilon_{1} \cos t + b_{2} \sin t \right) \int_{-\pi}^{\pi} \sin t dt$$

$$= \int_{-\pi}^{\pi} \left[2c \alpha_{1} \sin^{2} t - 2c b_{1} \cos t \cot t - \varepsilon_{1} \alpha_{1} \cos t \cot t \right] dt$$

$$- \varepsilon_{1} b_{1} \sin^{2} t - \delta_{1} \alpha_{1}^{3} \cos^{3} t \cot t - 3\delta_{1} \alpha_{1}^{2} b_{1} \cos^{2} t \cot t$$

$$- \varepsilon_{1} b_{2} \sin^{2} t - \delta_{1} \alpha_{1}^{3} \cos^{3} t \cot t - 3\delta_{1} \alpha_{1}^{2} b_{1} \cos^{2} t \cot t$$

$$- 3\delta_{1} \alpha_{1} b_{1}^{3} \cos t \cot^{3} t - \delta_{1} b_{1}^{3} \sin^{4} t \right] e t t$$

$$= 2\pi c \alpha_{1} - 2\pi \left[\frac{3\delta_{1}}{s} (\alpha_{1}^{2} + b_{1}^{2}) + \frac{\varepsilon_{1}}{2} \right] b_{1}$$

Des calculs analogues donnent :

$$\int_{-\pi}^{\pi} \{Y_{1}(W_{1}, W_{1}, t) \text{ cost elt} \}$$

$$= \int_{-\pi}^{\pi} \{K = S(t-n\tau)T - 2C(-a_{1}\sin t + b_{1}\cos t)\}$$

$$= \int_{-\pi}^{\pi} \{K = S(t-n\tau)T - 2C(-a_{1}\sin t + b_{1}\cos t)\}$$

$$= (a_{1}\cos t + b_{1}\sin t) - \delta_{1}(a_{1}\cos t + b_{1}\sin t)^{3} \left[\cosh t\right]$$

$$= K - 2\pi C b_{1} - 2\pi \left[\frac{3\delta_{1}}{8}(a_{1}^{2} + b_{1}^{2}) + \frac{\epsilon_{1}}{2}\right] \alpha_{1}$$

$$\int_{-\pi}^{\pi} \left\{ \frac{1}{2} \left(W_{2}, \dot{W}_{2}, t \right) dt \right\} dt dt$$

$$= \int_{-\pi}^{\pi} \left[-K = S(t - nT)T - 2c(-a_{2} \sin t + b_{2} \cos t) \right] dt dt$$

$$- \mathcal{E}_{2} \left(a_{2} \cot t + b_{2} \sin t \right) - \mathcal{E}_{2} \left(a_{2} \cot t + b_{2} \sin t \right)^{3} \right] dt dt$$

$$= 2\pi c a_{2} - 2\pi \left[\frac{3\mathcal{E}_{2}}{8} \left(a_{2}^{2} + b_{2}^{2} \right) + \frac{\mathcal{E}_{2}}{2} \right] b_{2}$$
et
$$\int_{-\pi}^{\pi} \left\{ \frac{1}{2} \left(W_{2}, \dot{W}_{2}, t \right) \cot t dt \right\} dt$$

$$= \int_{-\pi}^{\pi} \left[-K \right] \left[-K \right] \left[S(t - nT) - 2c(-a_{2} \sin t + b_{2} \cot t) + b_{2} \cot t \right] dt$$

$$- \mathcal{E}_{2} \left(a_{2} \cot t + b_{2} \sin t \right) - \mathcal{I}_{2} \left(a_{2} \cot t + b_{2} \sin t \right)^{3} \right] \cot t dt$$

$$= -K - 2\pi c b_{2} - 2\pi \left[\frac{3\partial i}{8} \left(a_{2}^{2} + b_{2}^{2} \right) + \frac{\mathcal{E}_{2}}{2} \right] a_{2}$$

La stabilité du système (5-22) dépend donc du système associé (5-24) suivant :

$$\frac{\mathcal{C}(\mathcal{C}_{1})}{\mathcal{C}(\mathcal{C}_{1})} = -\frac{\lambda}{2\pi} \left\{ 2\pi \mathcal{C}(\mathcal{A}_{1}) - 2\pi \left[\frac{33}{8} (\mathcal{A}_{1}^{2} + \mathcal{G}_{1}^{2}) + \frac{\mathcal{E}_{1}}{2} \right] \mathcal{G}_{1} \right\}$$

$$\frac{\mathcal{C}(\mathcal{L}_{1})}{\mathcal{C}(\mathcal{C}_{1})} = \frac{\lambda}{2\pi} \left\{ K - 2\pi \mathcal{C}(\mathcal{G}_{1}) - 2\pi \left[\frac{33}{8} (\mathcal{G}_{1}^{2} + \mathcal{G}_{1}^{2}) + \frac{\mathcal{E}_{1}}{2} \right] \mathcal{G}_{1} \right\}$$

$$\frac{\mathcal{C}(\mathcal{C}_{1})}{\mathcal{C}(\mathcal{C}_{1})} = -\frac{\lambda}{2\pi} \left\{ 2\pi \mathcal{C}(\mathcal{C}_{1}) - 2\pi \left[\frac{33}{8} (\mathcal{G}_{1}^{2} + \mathcal{G}_{1}^{2}) + \frac{\mathcal{E}_{2}}{2} \right] \mathcal{G}_{2} \right\}$$

$$\frac{\mathcal{C}(\mathcal{C}_{1})}{\mathcal{C}(\mathcal{C}_{1})} = \frac{\lambda}{2\pi} \left\{ - 2\pi \mathcal{C}(\mathcal{G}_{2}) - 2\pi \left[\frac{33}{8} (\mathcal{G}_{1}^{2} + \mathcal{G}_{2}^{2}) + \frac{\mathcal{E}_{2}}{2} \right] \mathcal{G}_{2} \right\}$$

$$\frac{\mathcal{C}(\mathcal{C}_{1})}{\mathcal{C}(\mathcal{C}_{1})} = \frac{\lambda}{2\pi} \left\{ - 2\pi \mathcal{C}(\mathcal{G}_{2}) - 2\pi \left[\frac{33}{8} (\mathcal{G}_{1}^{2} + \mathcal{G}_{2}^{2}) + \frac{\mathcal{E}_{2}}{2} \right] \mathcal{G}_{2} \right\}$$

Posons dans (5-24) le changement de fonctions suivant :

$$Q_4 = V_4 \text{ sindle}$$

$$b_1 = V_4 \text{ cos } U_4$$

$$Q_2 = V_2 \text{ sin } U_4$$

$$b_3 = V_2 \text{ cos } U_4$$

avec $V_{1} \gtrsim C$ et $V_{2} \gtrsim C$. Le système (5-24) devient alors: $\frac{dU_{1}}{dt} = \frac{\lambda}{2\pi} \left[-\frac{K \sin U_{1}}{V_{1}} + 2\pi \left(\frac{3 \mathcal{S}_{1}}{8} V_{1}^{2} + \frac{\mathcal{E}_{1}}{2} \right) \right]$ $\frac{dU_{1}}{dt} = \frac{\lambda}{2\pi} \left[K \cos U_{1} - 2\pi C V_{1} \right]$ $\frac{\partial U_{2}}{\partial t} = \frac{\lambda}{2\pi} \left[\frac{K \sin U_{2}}{V_{2}} + 2\pi \left(\frac{3 \mathcal{S}_{2}}{8} V_{2}^{2} + \frac{\mathcal{E}_{2}}{2} \right) \right]$ $\frac{\partial U_{2}}{\partial t} = \frac{\lambda}{2\pi} \left[-K \cos U_{2} - 2\pi C I_{2}^{2} \right]$ $\frac{\partial U_{2}}{\partial t} = \frac{\lambda}{2\pi} \left[-K \cos U_{2} - 2\pi C I_{2}^{2} \right]$

Les équations de synchronisation sont :

$$F_1(U_1, V_1) = \frac{1}{2\pi} \left[\frac{-K_0 \sin U_1}{V_1} + 2\pi \left(\frac{3X_1}{8} V_1^2 + \frac{\varepsilon_1}{2} \right) \right] = 0$$
 (5-26)

$$F_{2}(u_{1}, v_{1}) = \frac{1}{2\pi} \left[K_{0} \cos u_{1} - 2\pi c v_{1} \right] = 0$$
 (5-27)

$$F_3(U_2, V_2) = \frac{1}{2\pi} \left[\frac{Ko \sinh t_2}{V_2} + 2\pi \left(\frac{3J_2}{8} V_2^2 + \frac{\mathcal{E}_2}{2} \right) \right] - e (5-28)$$

où Ko est une approximation de l'amplitude de la percussion.

Compte tenu de l'équation de coı̈ncidence spatiale $\mathcal{W}_1(o) = \mathcal{W}_2(c)$ on a : $\mathcal{C}_1 = \mathcal{C}_2$, soit

$$V_1 \sin \ell \ell_1 = V_2 \sin \ell \ell_2 \tag{5-30}$$

d'où les cinq équations (5-26) - (5-27) - (5-28) - (5-29) - (5-30) permettant de déterminer les cinq variables \mathcal{U}_1 , \mathcal{U}_2 , \mathcal{U}_3 , \mathcal{V}_4 et $\mathcal{K}_{\mathcal{O}}$.

Des équations (5-27) et (5-29) on tire :

$$K_0 \operatorname{cen} \mathcal{U}_1 = 2\pi \operatorname{C} V_1 \tag{5-31a}$$

$$-K_0 \operatorname{Cen}(l_1 = 2\pi c V_2) \tag{5-31b}$$

De (5-26) et (5-28) on tire :

$$K_{e} \approx 11.44 = 2\pi V_{4} \left(\frac{335}{8} V_{4}^{2} + \frac{\mathcal{E}_{1}}{2}\right)$$
 (5-32a)

$$K_0 un M_2 = -2\pi V_2 \left(\frac{3\tilde{J}_2}{8}V_2^2 + \frac{\mathcal{E}_2}{2}\right)$$
 (5-32b)

On obtient de (5-31a) et (5-31b)

$$K_0 = \frac{2\pi c V_1}{\cos v_1} = \frac{-2\pi c V_2}{\cos v_2}$$

soit 4 centr = - Va centr

d'où, compte tenu de (5-30), l'équation aux déphasages :

Cette équation est équivalente à

soit

donc

Comme ici :

et

alors:

$$0 \leq M_1 + M_2 \leq 4\pi$$

$$0 \leq 2M_1 + 2M_2 \leq 8\pi$$

$$0 \leq R\pi \leq 3\pi$$

done

Cherchons à présent les équations aux amplitudes pour différentes valeurs de \mathscr{K} .

1er cas : R = 0

Si k=e elers $U_1=-U_2$, Certh-Certh, winth=-with et $V_1=-V_2$; c'est impossible car V_1 et V_2 sont positifs, le cas $V_1=V_2=0$ ne présentant aucun intérêt.

 $\frac{2\tilde{\epsilon}me \ cas}{\sin \ k = 1} = 1$ $\sin \ k = 1 \ alors \ \mathcal{U}_1 + \mathcal{U}_2 = \pi / 2 \ , \ \mathcal{E}err \mathcal{U}_4 = \pi n \mathcal{U}_2$ $\sin \mathcal{U}_1 = \mathcal{E}err \mathcal{U}_2$

De (5-30) on tire $\sqrt{2} = \sqrt{4}$ Kein $\sqrt{4}$ d'où ten $\sqrt{4}$ c. Mais de (5-31a) - (5-31b) :

 $\frac{V_A}{\omega_1} = \frac{-V_2}{\omega_2}$, d'où $\frac{C_{MI}}{\omega_1} = \frac{V_1}{\omega_2} = \frac{V_2}{\omega_1}$, d'où $\frac{C_{MI}}{\omega_1} = \frac{V_2}{\omega_2} = \frac{V_1}{\omega_2} = \frac{V_2}{\omega_2}$; or $\frac{V_1}{\omega_2} = \frac{V_2}{\omega_2} = \frac{V_2}{\omega_2}$; or $\frac{V_2}{\omega_2} = \frac{V_2}{\omega_2} = \frac$

3ème cas: k=2Si k=2 alors $\mathcal{U}_1 + \mathcal{U}_2 = \mathcal{T}$; d'où $\mathcal{O}(n)\mathcal{U}_1 = \mathcal{O}(n)\mathcal{U}_2$

De (5-31a) et (5-32a) on tire :

$$K_{0}^{2} Cep^{2} I_{1} = (2\pi c V_{1})^{2}$$

$$K_{0}^{2} 2in^{2} I_{1} = 4\pi^{2} V_{1}^{2} \left(\frac{33}{3} V_{1}^{2} + \frac{\epsilon_{1}}{2}\right)^{2}$$

soit :

$$V_{c}^{2} \left[4\pi^{2} \left(\frac{33}{8} V_{c}^{2} + \frac{\epsilon_{1}}{2} \right)^{2} + 4\pi^{2} c^{2} \right] = K_{c}^{2}$$
 (5-34a)

De même de (5-31b) et (5-32b) on obtient :

$$V_{e}^{2} \left[4\pi^{2} \left(\frac{33}{8} V_{e}^{2} + \frac{\varepsilon_{2}}{2} \right)^{2} + 4\pi^{2} V_{e}^{2} \right] = K_{e}^{2}$$
 (5-34b)

car Vi= 1/2 = Ve

(5-34a) et (5-34b) représentent les équations aux amplitudes des régimes synchronisés possibles.

Des équations (5-34a) et (5-34b) on obtient :

$$V_0^2 \left[u \pi^2 \left(\frac{33}{8} V_0^2 + \frac{\xi_1}{2} \right)^2 + u \pi^2 c^2 \right]$$

$$= V_0^2 \left[u \pi^2 \left(\frac{33}{8} V_0^2 + \frac{\xi_2}{2} \right)^2 + u \pi^2 c^2 \right]$$

D'où

$$V_{\mathcal{O}} = V_{\mathcal{I}} = V_{\mathcal{I}} = \mathcal{O}$$
 solution triviale (5-35a) et le carré de l'amplitude de synchronisation $V_{\mathcal{O}}$ est donné par :

$$V_0^{\ell} = \frac{4}{3} \left(\frac{-\ell_1 - \ell_2}{2 + \gamma_2} \right) , \quad \chi_2 \neq -\chi_1$$
 (5-35b)

et/ou

$$V_0^2 = \frac{11}{3} \left(\frac{\mathcal{E}_2 - \mathcal{E}_1}{\mathcal{X}_1 - \mathcal{X}_2} \right) , \quad \mathcal{T}_2 \neq \mathcal{T}_4$$
 (5-35c)

L'équation (5-35b) admet une solution si .

$$\begin{cases} \mathcal{E}_1 + \mathcal{E}_2 < \mathcal{C} \\ \mathcal{T}_1 + \mathcal{T}_2 > \mathcal{C} \end{cases} \quad \text{ou} \quad \begin{cases} \mathcal{E}_1 + \mathcal{E}_2 > \mathcal{O} \\ \mathcal{T}_4 + \mathcal{T}_2 < \mathcal{C} \end{cases} \quad (5-36a)$$

De même (5-35c) admet une solution si :

$$\begin{cases} \mathcal{E}_2 - \mathcal{E}_1 > 0 \\ \mathcal{I}_1 - \mathcal{I}_2 > 0 \end{cases} \qquad \begin{cases} \mathcal{E}_2 - \mathcal{E}_1 < 0 \\ \mathcal{I}_1 - \mathcal{I}_2 < 0 \end{cases}$$
 (5-36b)

Si les conditions (5-36a) et (5-36b) sont simultanément satisfaites, il existe deux valeurs possibles de $V_{\mathcal{O}}$ données par (5-35b) et (5-35c). Si l'une ou l'autre des conditions (5-36a) et (5-36b) est vérifiée, il n'existe qu'une seule valeur de $V_{\mathcal{O}}$ donnée soit par (5-35b) soit par (5-35c). Nous étudions ci-dessous les éventualités où (5-36a) et (5-36b) sont simultanément satisfaites.

Dans ces conditions les amplitudes sont données par

$$V_{\mathcal{E}} = \mathcal{E} \left[\frac{1}{3} \left(-\frac{\mathcal{E}_1 - \mathcal{E}_2}{\mathcal{J}_1 + \mathcal{J}_2} \right) \right]^{\frac{1}{2}}$$
 (5-37a)

$$V_{e} = \mathcal{E}\left[\frac{4}{3}\left(\frac{\mathcal{E}_{2} - \mathcal{E}_{1}}{\mathcal{F}_{1} - \mathcal{F}_{2}}\right]^{\frac{1}{2}}\right]$$
 (5-37b)

$$K_0 = V_0 \left[4\pi^2 \left(\frac{3\sigma_0}{8} V_0^2 + \frac{\epsilon_1}{2} \right)^2 + 4\pi^2 C^2 \right]^{\frac{1}{2}}$$
 (5-37c)

$$K_{e} = V_{e} \left[u \pi^{2} \left(\frac{3 \mathcal{Q}_{2}}{8} \right)_{e}^{2} + \frac{\mathcal{E}_{2}}{2} \right)^{2} + 4 \pi^{2} c^{2} \right]^{\frac{1}{2}}$$
 (5-37d)

$$\mathcal{U}_{1e} = Hic ces\left(\frac{2\pi Cle}{Ke}\right)$$
 (5-37e)

$$M_{10} = \Pi - M_{10} \quad \text{con} \quad M_{1} + M_{2} = \Pi$$

$$= Arc \quad \text{ces} \left(\frac{-2\pi c \ Ve}{Ke} \right)$$
(5-37f)

$$\frac{\text{Cas où}}{\partial_1 + \partial_2} \begin{cases} -\mathcal{E}_1 - \mathcal{E}_2 > C \\ \partial_1 + \partial_2 > C \end{cases} \qquad \underline{\text{et}} \qquad \begin{cases} \mathcal{E}_2 - \mathcal{E}_1 < C \\ \partial_1 - \partial_2 < C \end{cases}$$

Dans ces conditions, 1_c , 1_t et 1_t sont aussi données par (5-37a - b - c - d - e - f). Il en est de même des cas où :

$$\begin{cases} -\mathcal{E}_1 - \mathcal{E}_2 < \mathcal{O} \\ \mathcal{E}_2 - \mathcal{E}_1 > \mathcal{O} \end{cases} \text{ et } \begin{cases} \mathcal{T}_1 + \mathcal{T}_2 < \mathcal{E} \\ \mathcal{T}_1 - \mathcal{T}_2 > \mathcal{O} \end{cases}$$

et

$$\begin{cases} -\mathcal{E}_1 - \mathcal{E}_2 & \mathcal{C} \\ \mathcal{E}_2 - \mathcal{E}_1 & \mathcal{C} \end{cases} \quad \text{et} \quad \begin{cases} \mathcal{J}_1 + \mathcal{J}_2 & \mathcal{C} \\ \mathcal{J}_1 - \mathcal{J}_2 & \mathcal{C} \end{cases}$$

RESUME

Dans l'une ou l'autre des éventualités ci-dessus les poînts de synchronisation ont pour coordonnées :

$$V_{e} = 2\left[\frac{1}{3}\left(\frac{-\varepsilon_{1}-\varepsilon_{2}}{3_{1}+3_{2}}\right)\right]^{\frac{1}{2}}$$

$$V_{e} = 2\left[\frac{1}{3}\left(\frac{\varepsilon_{2}-\varepsilon_{1}}{3_{1}-3_{2}}\right)\right]^{\frac{1}{2}}$$

$$V_{e} = 2\left[\frac{1}{3}\left(\frac{\varepsilon_{2}-\varepsilon_{1}}{3_{1}-3_{2}}\right)\right]^{\frac{1}{2}}$$

$$V_{e} = V_{e}\left[\frac{1}{3}\left(\frac{\varepsilon_{2}-\varepsilon_{1}}{3_{1}-3_{2}}\right)\right]^{\frac{1}{2}}$$

$$V_{e} = V_{e}\left[\frac{1}{4}\pi^{2}\left(\frac{33}{8}V_{e}^{2}+\frac{\varepsilon_{1}}{2}\right)^{2}+4\pi^{2}C^{2}\right]^{\frac{1}{2}}$$

$$V_{e} = V_{e}\left[\frac{1}{4}\pi^{2}\left(\frac{33}{8}V_{e}^{2}+\frac{\varepsilon_{2}}{2}\right)^{2}+4\pi^{2}C^{2}\right]^{\frac{1}{2}}$$

$$V_{e} = V_{e}\left[\frac{3}{4}\pi^{2}V_{e}^{2}+\frac{\varepsilon_{2}}{2}\right]^{\frac{1}{2}}$$

$$V_{e} = V_{e}\left[\frac{3}{4}\pi^{2}V_{e}^{2}+\frac{\varepsilon_{2}}{2}\right]^{\frac{1}{2}}$$

$$V_{e} = V_{e}\left[\frac{3}{4}\pi^{2}V_{e}^{2}+\frac{\varepsilon_{2}}{2}\right]^{\frac{1}{2}}$$

$$V_{e} = V_{e}\left[\frac{3}\pi^{2}V_{e}^{2}+\frac{\varepsilon_{2}}{2}\right]$$

Dans le cas où l'une des conditions (5-36a) est satisfaite et aucune des conditions (5-36b) n'est vérifiée on a alors :

= Are cen $\left(\frac{-2\pi CV_0}{V_*}\right)$

$$V_{o} = 3\left[\frac{1}{3}\left(-\frac{\varepsilon_{1}-\varepsilon_{2}}{\gamma_{1}+\gamma_{2}}\right)\right]^{N_{2}}$$
(5-38a)

et les expressions de $\mathcal{K}_{\mathbf{r}}$, $\mathcal{H}_{\mathbf{r}0}$, $\mathcal{H}_{\mathbf{r}0}$ sont données par (5-37c - d - e - f).

De même si l'une ou l'autre des conditions (5-36h) est satisfaite et aucune des conditions (5-36a) ne l'est on a alors :

$$V_{o} = 2 \left[\frac{4}{3} \left(\frac{\mathcal{E}_{1} - \mathcal{E}_{2}}{\mathcal{Y}_{1} - \mathcal{Y}_{2}} \right) \right]^{\frac{1}{2}}$$
 (5-38b)

les expressions de K_0 , M_0 , M_0 étant toujours données par (5-37c- d - e - f).

4ème cas:
$$k=3$$

Si $k=3$ alors $\mathcal{U}_1 + \mathcal{U}_2 = \frac{3\pi}{2}$ et \mathcal{C} et \mathcal{C} $\mathcal{U}_1 = -\mathcal{C}$ \mathcal{U}_2

De (5-31a) - (5-31b) on tire: $-V_1 mi M_1 = V_2 mi M_2$; ce qui est impossible compte tenu de (5-30) sauf si $V_1 = V_2 = 0$.

6ème cas:
$$k=5$$

Si $k=5$ alors $\mathcal{U}_1 + \mathcal{U}_2 = \frac{5\pi}{2}$ et Cen $\mathcal{U}_1 = 2m\mathcal{U}_2$;

Sin $\mathcal{U}_1 = con\mathcal{U}_2$; c'est le cas $k=1$ déjà étudié.

7ème cas : \$ - 6

Si k=6 alors $M_1+M_2=3\pi$ et $M_1=mM_2$, $ConM_1=-CenM_2$, et $V_1=V_2$; c'est le cas où k=2 déjà étudié et qui conduit aux équations aux amplitudes (5-34a)-(5-34b) dont les solutions ont été étudiées ci-dessus :

8ème cas : & = 7

Si k=7 alors $\mathcal{M}_1+\mathcal{M}_2=\frac{777}{2}$; ce qui correspond au cas k=3 .

9ème cas : K = 8

Si k=8 alors $\mathcal{M}_1+\mathcal{M}_2=4\pi$. Ce cas équivaut aux cas k=6: 4.

ETUDE DE LA STABILITE

Nous étudions la stabilité de chaque oscillateur du système au voisinage des points de synchronisation car ce système peut être globalement stable ou non.

On dira que le système est globalement stable si les conditions de stabilité de l'un et l'autre des éléments du système sont simultanément vérifiées. Si l'un des éléments est stable et l'autre ne l'est pas; on dira que le système est non stable.

Les équations associées au système (5-25) sont :

$$\frac{dU_1}{dt} = \lambda F_1$$

$$\frac{dV_3}{dt} = \lambda F_2$$
(5-39)

$$\frac{dH_2}{dt} = \lambda F_3 \tag{5-40}$$

$$\frac{dV_2}{dt} = \lambda F_4$$

Cherchons les équations de stabilité des systèmes (5-39) et (5-40). Posons :

$$U_1 = U_0 + \S_1$$

$$V_1 = V_0 + \S_1$$

$$U_1 = (\overline{U} - U_0) + \S_1$$

$$V_2 = V_0 + \S_2$$

donc au second ordre près en S_1 et C_1 et S_2 et C_2 on a :

$$\frac{cl_{1}}{clt} = \lambda \left[\frac{\partial F_{1}}{\partial U_{1}} \left(U_{e}, V_{e} \right) + D_{1} \frac{\partial F_{1}}{\partial V_{1}} \left(U_{e}, V_{e} \right) \right]$$
(5-41)

$$\frac{\partial \xi_{2}}{\partial t} = \lambda \left[\xi_{2} \frac{\partial F}{\partial t_{2}} \left(iT - t_{0}, V_{0} \right) + \eta_{2} \frac{\partial F_{3}}{\partial V_{2}} \left(iT - t_{0}, V_{0} \right) \right]$$

$$(5-42)$$

 $\frac{el D_2}{elt} = \lambda \left[\frac{3}{2} \frac{\partial F_u}{\partial U_2} (\Pi - U_e, V_e) + \frac{2}{2} \frac{\partial F_u}{\partial V_2} (\Pi - U_e, V_e) \right]$

Etudions le système (5-41), l'étude de (5-42) se fait de la même manière. Nous poserons par la suite :

$$Q = \frac{\partial F_1}{\partial V_4}(V_0, V_0)$$
 ; $b = \frac{\partial F_1}{\partial V_4}(V_0, V_0)$

Nous cherchons une solution du système (5-41) sous la forme

Le système donnant A et B est :

$$(z-a)A - bB = 0$$

 $-a'A - (z-b')B = 0$ (5-43)

Pour avoir d'autres solutions que la solution triviale $\mathcal{H}=\mathcal{C}$, $\mathcal{G}=\mathcal{C}$; nous devons poser le déterminant du système (5-42) identiquement nul. D'où l'équation de stabilité :

$$12^{2}-(a+b')\cdot 2+ab'-a'b=e$$
 (5-44)

que l'on appelle aussi équation caractéristique.

Les conditions de stabilité sont :

Calculons S et P

$$\frac{\partial F_1}{\partial U_1} = -4 \frac{\cos U_1}{V_1} ; \frac{\partial F_1}{\partial V_1} = 4 \frac{2inU_1}{V_1^2} + 8x_1 V_1$$

$$\frac{\partial F_2}{\partial U_1} = -4 \frac{2inU_1}{V_1} ; \frac{\partial F_2}{\partial V_1} = -c$$

$$\frac{\partial F_2}{\partial U_1} = -4 \frac{2inU_1}{V_1^2} ; \frac{\partial F_2}{\partial V_1} = -c$$

$$\frac{\partial F_2}{\partial U_1} = -4 \frac{2inU_1}{V_1^2} + 8x_1 V_1$$

$$\frac{\partial F_2}{\partial V_1} = -6 \frac{2inU_1}{V_1^2} + 8x_1 V_1$$

$$\frac{\partial F_2}{\partial V_1} = -6 \frac{2inU_1}{V_1^2} + 8x_1 V_1$$

$$\frac{\partial F_2}{\partial V_1} = -6 \frac{2inU_1}{V_1^2} + 8x_1 V_1$$

$$\frac{\partial F_2}{\partial V_1} = -6 \frac{2inU_1}{V_1^2} + 8x_1 V_1$$

$$\frac{\partial F_2}{\partial V_1} = -6 \frac{2inU_1}{V_1^2} + 8x_1 V_1$$

$$\frac{\partial F_2}{\partial V_1} = -6 \frac{2inU_1}{V_1^2} + 8x_1 V_1$$

$$\frac{\partial F_2}{\partial V_1} = -6 \frac{2inU_1}{V_1^2} + 8x_1 V_1$$

$$\frac{\partial F_2}{\partial V_1} = -6 \frac{2inU_1}{V_1^2} + 8x_1 V_1$$

$$\frac{\partial F_2}{\partial V_1} = -6 \frac{2inU_1}{V_1^2} + 8x_1 V_1$$

$$\frac{\partial F_2}{\partial V_1} = -6 \frac{2inU_1}{V_1^2} + 8x_1 V_1$$

$$\frac{\partial F_2}{\partial V_1} = -6 \frac{2inU_1}{V_1^2} + 8x_1 V_1$$

$$\frac{\partial F_2}{\partial V_1} = -6 \frac{2inU_1}{V_1^2} + 8x_1 V_1$$

$$\frac{\partial F_2}{\partial V_1} = -6 \frac{2inU_1}{V_1^2} + 8x_1 V_1$$

$$\frac{\partial F_2}{\partial V_1} = -6 \frac{2inU_1}{V_1^2} + 8x_1 V_1$$

$$\frac{\partial F_2}{\partial V_1} = -6 \frac{2inU_1}{V_1^2} + 8x_1 V_1$$

$$\frac{\partial F_2}{\partial V_1} = -6 \frac{2inU_1}{V_1^2} + 8x_1 V_1$$

$$\frac{\partial F_2}{\partial V_1} = -6 \frac{2inU_1}{V_1^2} + 8x_1 V_1$$

$$\frac{\partial F_2}{\partial V_1} = -6 \frac{2inU_1}{V_1^2} + 8x_1 V_1$$

$$\frac{\partial F_2}{\partial V_1} = -6 \frac{2inU_1}{V_1^2} + 8x_1 V_1$$

$$\frac{\partial F_2}{\partial V_1} = -6 \frac{2inU_1}{V_1^2} + 8x_1 V_1$$

$$\frac{\partial F_2}{\partial V_1} = -6 \frac{2inU_1}{V_1^2} + 8x_1 V_1$$

Donc au point de synchronisation

$$S_1 = ci + b' = -h \frac{certh}{v_1} - c$$
où $h = \frac{Kc}{9\pi}$

d'où en tenant compte des équations de synchronisation :

la première condition de stabilité est donc toujours satisfaite.

Pour la deuxième condition de synchronisation et en posant :

$$F_{1} = \frac{\epsilon^{2}}{2} \quad \text{et} \quad 3 = V_{1}^{2} \quad \text{en a}:$$

$$T_{2} = \frac{\partial F_{1}}{\partial u_{1}} \cdot \frac{\partial F_{2}}{\partial V_{1}} - \frac{\partial F_{2}}{\partial u_{1}} \cdot \frac{\partial F_{1}}{\partial V_{1}}$$

$$= c \cdot 6 \cdot \frac{\cos v_{1}}{V_{1}} + 6 \cdot \sin v_{1} \left(6 \cdot \frac{\sin u_{1}}{V_{1}^{2}} + 2X_{1}V_{1} \right)$$

$$= 3X_{1}^{2} 3^{2} + 4X_{1}F_{1} 3 + F_{1}^{2} + C^{2}$$
(5-46a)

Considérant le système (5-42) et en posant :

$$x_2 = \frac{3x_2}{8}$$
 , $x_2 = \frac{\xi_2}{2}$ et $3 = V_2^2$

on obtient :

$$P_{2} = 3Q_{2}^{2}3^{2} + 4Q_{2}B_{2}3 + B_{2}^{2} + C^{2}$$
 (5-46b)

Etudions à présent les signes de \mathcal{P}_{1} et \mathcal{P}_{2} pour déterminer la seconde condition de stabilité de chaque élément composant l'oscillateur considéré.

Les discriminants de \mathcal{F}_{4} et \mathcal{F}_{2} sont :

$$A_1 = \chi_1^2 (R_1^2 - 3C^2)$$

$$A_2 = \chi_2^2 \left(\beta_2^2 - 3C^2 \right)$$

et nous avons les éventualités suivantes :

1°) Cas où
$$\frac{\beta^2}{3}$$
 (3°C et $\frac{\beta^2}{2}$ (3°C nous avons $\frac{\beta^2}{3}$) C et $\frac{\beta^2}{2}$ > Coints de synchronisation $\frac{\beta^2}{3}$ (3°C Nous avons $\frac{\beta^2}{3}$) C et $\frac{\beta^2}{2}$

et les points de synchronisation $\mathcal{N}_1(\mathcal{U}_c, \mathcal{V}_o, \mathcal{K}_o)$ et $\mathcal{N}_2(\mathcal{N}_c, \mathcal{K}_o)$ sont simultanément stables.

2°) Cas où
$$\vec{P_1} = 3\vec{C}^2$$
 et $\vec{P_2} = 3\vec{C}^2$
Si $\vec{P_1} = \vec{P_2}^2 = 3\vec{C}^2$ nous avons $\vec{P_1} > \vec{C}$ et $\vec{P_2} > \vec{C}$ et

les points de synchronisation correspondants sont simultanément stables. Il en est de même si $\beta^2 < 3\zeta^2$ et $\beta^2 - 3\zeta^2$ ou $\beta^2 - 3\zeta^2$ et $\beta^2 < 3\zeta^2$

3°) Cas où
$$R_1^2 > 3C^2$$
 et $R_2^2 > 3C^2$
Si $R_1^2 > 3C^2$ et $R_2^2 > 3C^2$ alors:

$$R_1 = 3\alpha_1^2 (3 - 3_1')(3 - 3_1'')$$
avec $3_1' = \frac{-2R_1 - (R_1^2 - 3C^2)^{-1/2}}{3\alpha_1}$

$$3_1'' = \frac{-2R_1 + (R_1^2 - 3C^2)^{-1/2}}{3\alpha_1}$$

et

$$P_2 = 3\alpha_2^2 (3 - 3_2^2)(3 - 3_2^2)$$

avec

$$3_{2}' = \frac{-2\beta_{2} - (\beta_{2}^{2} - 3c^{2})^{\frac{1}{2}}}{3x_{2}}$$
$$3_{2}'' = \frac{-2\beta_{2} + (\beta_{2}^{2} - 3c^{2})^{\frac{1}{2}}}{3x_{2}}$$

Les racines 3' et 3'' sont de même signe car :

$$3' \cdot 3'' = \frac{\beta_1^2 + C^2}{34^2}$$

Il en est de même pour $3_2'$ et $3_2''$.

Les solutions négatives ne conviennent pas car nous avons posé ; $3=1/2^2$ et $3=1/2^2$.

Puisque

$$3_1' + 3_1'' = \frac{-\mu \beta_1}{3\varkappa_1}$$
 et $3_2' + 3_2'' = \frac{-\mu \beta_2}{3\varkappa_2}$

les racines sont positives si :

$$\frac{\beta_1}{\chi_1}$$
 (0 et $\frac{\beta_2}{\chi_2}$ (0 (5-47)

et dans ces conditions \mathcal{T}_1 et \mathcal{T}_2 sont respectivement positifs sur les intervalles :

et

en supposant 3/31'' et 32/32''. Les points de synchronisation correspondants sont stables. P_1 et P_2 sont respectivement négatifs dans les intervalles

$$\begin{bmatrix} 3'_1, 3''_1 \end{bmatrix}$$
 et $\begin{bmatrix} 3'_2, 3''_2 \end{bmatrix}$.

Ces points de synchronisation correspondants sont instables. On rappelle que

$$\beta_{1}' = \frac{-2\beta_{1} - (\beta_{1}^{2} - 3c^{2})^{\frac{1}{2}}}{3x_{1}}$$

$$3''_{1} = \frac{-2\beta_{1} + (\beta_{1}^{2} - 3C^{2})^{\frac{1}{2}}}{3x_{1}}$$

$$S_2' = \frac{-2\beta_2 - (\beta_2^2 - 3c^2)^{\frac{3}{2}}}{3x_2}$$

$$3_2'' = \frac{-2\beta_2 + (\beta_2^2 - 3c^2)^{\frac{1}{2}}}{3\gamma_2^2}$$

ANNEXE

Prenons par exemple la famille (X_m) : soit $i \neq j$, calculons $\begin{cases} X_i : X_j \in A_i \\ -a_i \end{cases}$. En posant $\lambda_p = X_p \in A_i$, $\epsilon_m \in A_i$:

$$\int_{-a}^{c+a} X_i X_j e lx = \frac{1}{cerh \lambda_i cerh \lambda_j} \int_{-a}^{c+a} cerh X_i x cerh X_j x e lx$$
(I)

$$+\frac{1}{\text{cen}A_i \text{ cen}A_j} \int_{-a}^{cen} enx_i x \text{ cen} x_i x \text{ cen} x_j x \text{ cl} x$$

$$+\frac{1}{\cosh \lambda_{j} \cosh \lambda_{i}} \int_{-\alpha}^{+\alpha} \int_{-\alpha$$

soit:

(I) =
$$\frac{1}{\cosh \lambda_i \cosh \lambda_j} \left[\frac{1}{(x_i + x_j)} \left[\sinh \lambda_i \cosh \lambda_j + \cosh \lambda_i \sinh \lambda_j \right] + \frac{1}{(x_i - x_j)} \left[\sinh \lambda_i \cosh \lambda_j - \cosh \lambda_i \sinh \lambda_j \right] \right]$$

$$(III) = \frac{1}{\cos \lambda_{i} \cos \lambda_{j}} \left\{ \frac{1}{(x_{i} + x_{j})} \left[\sinh \lambda_{i} \cos \lambda_{j} + \cosh \lambda_{i} \sin \lambda_{j} \right] \right\}$$

$$+ \frac{1}{(x_{i} - x_{j})} \left[\sinh \lambda_{i} \cos \lambda_{j} - \cosh \lambda_{i} \sin \lambda_{j} \right] \right\}$$

$$(III) = \frac{-1}{\cosh \lambda_{j} \cos \lambda_{j}} \left\{ \frac{e x_{i}}{x_{i}^{2} + x_{j}^{2}} \sinh \lambda_{i} \cosh \lambda_{j} + \frac{e x_{j}}{x_{i}^{2} + x_{j}^{2}} \cosh \lambda_{i} \sinh \lambda_{j} \right\}$$

$$(IV) = \frac{-1}{\cosh \lambda_{i} \cos \lambda_{j}} \left\{ \frac{e x_{j}}{x_{i}^{2} + x_{j}^{2}} \sinh \lambda_{i} \cosh \lambda_{j} \cosh \lambda_{j} \sinh \lambda_{j} \right\}$$

$$(IV) = \frac{-1}{\cosh \lambda_{i} \cos \lambda_{j}} \left\{ \frac{e x_{j}}{x_{i}^{2} + x_{j}^{2}} \sinh \lambda_{j} \cosh \lambda_{j} \cosh \lambda_{j} \sinh \lambda_{j} \right\}$$

En considérant (I) et (II) :

$$(I) + (II) = \frac{1}{(\chi_i + \chi_j)} \left[(\lambda \epsilon_{ij} h_{i,j} + t_{ij} h_{i,j}) + (\lambda \epsilon_{ij} h_{i,j} + t_{ij}) \right]$$

$$+ \frac{1}{(\chi_i - \chi_j)} \left[(\lambda \epsilon_{ij} h_{i,j} + t_{ij} h_{i,j}) - (\lambda \epsilon_{ij} h_{i,j} + t_{ij}) \right]$$

En tenant compte de l'équation transcendante (2-8) (Chapitre II)

on a

$$(I) + (II) = 0$$

De même en considérant (III) et (IV) :

$$(III) + (IV) = \frac{-2\alpha_i}{\alpha_i^2 + \alpha_j^2} \left(tenh \lambda_i + tenh_i \right) - \frac{2\lambda_i}{\chi_j^2 + \chi_j^2} \left(tenh \lambda_j + tenh_j \right)$$

et compte tenu de (2-8) on a :

D'où

$$\int_{a}^{+\alpha} X_{i} X_{j} e lx = \emptyset$$

Des calculs analogues en considérant la famille ($\frac{1}{m}$) donnent :

$$\int_{-5}^{+5} \chi_i \chi_j \, dy = 0$$

$$\int_{-a}^{+a} \chi^{2}(x) dx = \frac{1}{\cosh^{2} \lambda_{i}} \int_{-a}^{+a} e \cosh^{2} \chi_{i} \alpha dx \qquad (1)$$

$$+\frac{1}{cen^2\lambda_i}\int_{-a}^{+a} cen^2 x_i x_i dx \qquad (2)$$

+
$$\frac{-2}{\cosh \lambda_i \cosh i} \int_{a}^{+a} \cosh x \cosh x \cosh x$$
 (3)

(1) =
$$\frac{1}{\cos^2 A_i} \left(\alpha + \frac{1}{\alpha_i} \sin^2 A_i \cosh A_i \right)$$

$$(2) = \frac{1}{\cos^2 \lambda_i} \left(\alpha + \frac{1}{x_i} \sin \lambda_i \cos \lambda_i \right)$$

$$(3) = \frac{-2}{x_i \cosh_i \cosh_i} \left(\sinh \lambda_i \cosh_i + \cosh \lambda_i \sinh \lambda_i \right)$$

$$=\frac{G}{\cosh^2 A_i} + \frac{G}{\cosh^2 A_i}$$

(3) =
$$-\frac{2}{\chi_i}$$
 ($A \in \mathcal{A}_i$ + $A \in \mathcal{A}_i$) = $e^{-\frac{2}{2}}$ ($e^{-\frac{2}{2}}$)

or
$$\frac{1}{\cosh^2 \lambda_i} = 1 - \tanh^2 \lambda_i$$
; $\frac{1}{\cosh^2 \lambda_i} = 1 + \sinh^2 \lambda_i$

donc
$$(1) + (2) = 2G + G (4em^2) - 4em G (1) = 8a$$

même calcul pour la famille $y_{\eta_1}(y)$. Le calcul pour $x_{\eta_1}(y)$ est élémentaire. Donc :

$$\int_{-a}^{+a} \frac{x^{2}}{x^{2}} dx = 2a \qquad ; \qquad \int_{b}^{+b} \frac{y^{2}}{x^{2}} dy = 2b$$

$$\int_{-a}^{+a} \frac{-2}{a} (x) dx = a \qquad ; \qquad \int_{-b}^{+b} \frac{y^{2}}{a} (y) dy = b$$

$$\int_{-a}^{+a} \frac{-2}{a} (x) dx = a \qquad ; \qquad \int_{-b}^{+b} \frac{y^{2}}{a} (y) dy = b$$

$$\int_{-a}^{+a} X_{i} X_{j} = \int_{-b}^{+b} Y_{i} X_{j} = \int_{-a}^{+b} \overline{Y}_{i} Y_{j} = 0$$

$$(A-I-2)$$

B) EXPRESSION DES Ki ET Li [8, 9, 10]

Dans ce paragraphe nous nous proposons de déterminer les coefficients \mathcal{K}_{ϵ} et \mathcal{L}_{ϵ} intervenant dans l'écriture des fonctions :

$$X''_{i}$$
, x_{i} ,

Ces coefficients sont déterminés en utilisant l'orthogonalité des fonctions $\chi_{\eta\eta}$, χ_{η} , \mathcal{J}_{η} , et \mathcal{J}_{η} .

done
$$X_{i}'' = \frac{\lambda_{i}^{2}}{G^{2}} = \frac{\lambda_{i}^{3}}{K_{i}^{3}} X_{j}^{3}$$

$$X_{i}'' X_{in} = \frac{\lambda_{i}^{2}}{G^{2}} = \frac{\lambda_{i}^{3}}{K_{i}^{3}} X_{j}^{3} X_{in}$$
et
$$\int_{G_{i}}^{G_{i}} X_{in}^{3} = \frac{\lambda_{i}^{2}}{G^{2}} = \frac{\lambda_{i}^{3}}{K_{i}^{3}} X_{j}^{3} X_{in} C_{i}^{3} X_{in}^{3} C_$$

$$K_1^{ont} = \frac{G}{2\lambda_1^2} \int_{-\alpha}^{+\alpha} X_1'' X_{2m} \ \epsilon lx$$

Des calculs analogues donnent :

$$K_{2}^{mpr} = \frac{2a}{pr\pi^{2}} \int_{-a}^{+a} \overline{f_{r}} X_{m} dx$$

$$K_3^{mpr} = \frac{9a}{p^2 \pi^2} \int_{-a}^{+a} \int_{-a}^{+a} \tilde{I}_p X_m dx$$

$$L_{3}^{nqs} = \frac{25}{5^{2} \pi^{2}} \begin{cases} Y_{ej} & Y_{n} & \text{dy} \\ -5 & \text{dy} \end{cases}$$

$$L_5^{vns} = \frac{b}{\lambda_n^2} \int_{-A}^{+b} Y_n'' \mathcal{G}_s \mathcal{Y}_s \mathcal{G}_s$$

$$\frac{1^{Vns}}{26} = \frac{2h}{s^2 \pi^2} \int_{-3}^{+5} \frac{1}{\sqrt{n}} \frac{1}{\sqrt{n}$$

BIBLIOGRAPHIE

- [1] DUVAUT G. et LIONS J.L., "Les inégalités en Mécanique et en Physique", Dunod, Paris 1972.
- DUVAUT G. et LIONS J.L., "Problèmes unilatéraux dans la théorie de la flexion forte des plaques" I): "Le cas stationnaire",

 J. de Mécanique, vol. 13, n° J, Mars 1974, pp. 51-74; II):

 II): "Le cas d'évolution", J. de Mécanique, vol. 13, n° J,

 Juin 1974, pp. 245-266.
- [3] HAAG J., "Les mouvements vibratoires", Tome I et II, Paris

 Press universitaires 1952-1955; Collection Euclide.
- [4] LANDAU L. et LIFSCHITZ E., "Théorie de l'élasticité", T. VII, Edition MIR Moscou 1967.
- [5] TIMOSHENKO S. et WOINOWSKY-KRIEGER S., "Theory of plates and shells", International Student Edition, Mc Graw-Hill, 1970.
- [6] TIMOSHENKO S. et GERE J., "Théorie de la stabilité élastique",
 Deuxième édition, Paris Dunod 1966.
- [7] LLOYDS HAMILTON D., "Beams, Plates and Shelles", Mac Graw-Hill 1976.
- [8] OSTIGUY G.L., "Effects of aspect ratio on parametric response of nonlinear rectangular plates analysis and experiment. Ph.
 D. Dissertation, Syracuse University, Syracuse, N.Y., Oct. 1976.

- [9] OSTIGUY G. et NGUYEN H., "Stabilité dynamique et résonance des plaques rectangulaires"; Mécanique Matériaux Electricité, n° 394-395 Oct/Nov. 1982.
- [10] ENNASSEF M., "Vibrations des plaques excitées par des percussions périodiques", Thèse 3ème cycle, Université des Sciences et Techniques de Lille I, Nov. 1984).
- [11] BASSILY S.F. and DICKINSON S.M., "Buckling and lateral vibration of rectangular plates subject to implane Loods A Ritz approach",

 Journal of Sound and Vibration (1972) 24 (2), p. 219-239.
- [12] BASSILY S.F., "The plane stress problem for rectangular regions treated using functions related to beam flexure"; Int. J. Mech. Sci. vol. 19, pp. 639-650, Pergamon Press 1977, Printed in Great Britain.
- [13] LEISSA A.W., "The force vibration of rectangular plates", Journal of Sound and vibration (1973) 31 (3) p. 257-293.
- [14] SUNDARA R.I. and RAMAN P.V., "Free vibration of rectangular plates of arbitrary thickness with one or more edges clamped"; Journal of Sound an vibration (1980) 71 (4), 463-472.
- [15] FAURE R., "Percussions en mécanique non linéaire sur certaines solutions périodiques de phénomènes non linéaires excités par des percussions"; Mécanique Matériaux Electricité n° 394-395, Oct./Nov. 1982 pp. 486-492.

- [16] FAURE R., "Etude de problèmes non linéaire avec application à la Mécanique : cas des vibrations des plaques excitées paramétriquement par des percussions périodiques dans le cas de grandes déformations";

 Mécanique Matériaux Electricité nº 404-Mars/Avril 1984, pp. 125-128.
- [17] FAURE R., "Application des percussions en mécanique non linéaire.

 Réalisation par percussions de liaisons spatiales instantanées avec synchronisation entre deux oscillateurs non linéaires"; Publication de l'U.E.R. Maths. Pures et Appliquées, Université des Sciences et Techniques de Lille I, mai 1982.
- [18] FAURE R., "Solutions périodiques de certains systèmes d'équations différentielles non linéaires dépendant d'un paramètre; Journ. de Math., tome XL.- Fasc. 3, 1961.
- [19] FAURE R., "Periodic and almost periodic percussions and nonlinear oscillations". The 9th International Conference on nonlinear oscillations KIEV 1981, édité en 1984.
- [20] R. FAURE, "Percussions et Distributions de Dirac en Mécanique non Linéaire. Interaction par choc entre systèmes et théories des percussions presque périodiques".
- [21] STOKER J.J., "Nonlinear Vibrations".
- [22] STOKER J.J., "Nonlinear elasticity".
- [23] SCHWARTZ L., "Méthodes Mathématiques pour les sciences physiques".

MOTS CLES

- 1) EQUATIONS DE VON KARMAN.
- 2) VIBRATIONS DES PLAQUES.
- 3) PERCUSSIONS.
- 4) EXCITATION CONTINUE.
- 5) STABILITE.
- 6) SYNCHRONISATION.
- 7) OSCILLATEURS EN LIAISON PAR CHOCS.
- 8) REGIMES PERMANENTS.

RESUME

"La thèse porte sur les vibrations faites des plaques et les équations différentilles qui en décrivent les mouvements.

On étudie les cas suivants de système non linéaire :

- 1°) Excitation paramétrique percussionnelle et une excitation non linéaire directe.
- 2°) Mouvement avec liaison spatiale instantanée avec synchronisation du mouvement par des percussions.

Cas général : étude d'un cas particulier et détermination dans ce cas des régimes permanents".

ABSTRACT

"In this work we study the mouvements of the plates excited by continuous excitations and percussions. The are two parts:

1°) Parametric excitation by percussion and non linear excitation direct.

 $2^{\circ})$ Problem of and instantaneous liaison between two non linear oscillators by δ periodic percussion.

General case: Study of a particular case and determination in this case of the periodical oscillation".

